### ГЛАВНОЕ УПРАВЛЕНИЕ ГИДРОМЕТЕОРОЛОГИЧЕСКОЙ СЛУЖБЫ ПРИ СОВЕТЕ МИНИСТРОВ СССР

ОРДЕНА ТРУДОВОГО КРАСНОГО ЗНАМЕНИ ГЛАВНАЯ ГЕОФИЗИЧЕСКАЯ ОБСЕРВАТОРИЯ им. А. И. ВОЕЙКОВА

> ТРУДЫ выпуск 333

## МЕТЕОРОЛОГИЧЕСКИЕ НАГРУЗКИ НА СООРУЖЕНИЯ

Под редакцией д-ра геогр. наук М. В. ЗАВАРИНОЙ и канд. геогр. наук И. Д. КОПАНЕВА

700007

Ленинградский гидрометеорологический ин-т БИЕЛИОТЕКА л-д 195196 Малоохтинский пр., 98



ГИДРОМЕТЕОИЗДАТ ЛЕНИНГРАД • 1974 Приводятся результаты исследований, направленных на уточнение расчетов климатических параметров, используемых при определении метеорологических нагрузок на сооружения (гололедных, ветровых, систовых, температурных)

ветровых, снеговых, температурных). Предназначен для климатологов, метеорологов и инженеров проектных и строительных организаций.

#### ОЦЕНКА МЕТОДОВ РАСЧЕТА ГОЛОЛЕДНЫХ И ГОЛОЛЕДНО-ВЕТРОВЫХ НАГРУЗОК И ПЕРСПЕКТИВЫ ИХ СОВЕРШЕНСТВОВАНИЯ

 ${f 3}$ а последние годы в Советском Союзе получили значительное развитие работы по проблеме гололедных и гололедно-ветровых нагрузок на провода воздушных линий ( ${f B}{m \Pi}$ ) и различные сооружения.

В результате проведенных разработок уточнена карта гололедного районирования территории СССР, составленная впервые в 1965 г., и внесен ряд коррективов в указания по определению гололедных нагрузок [31], подготовленные для нового издания СНиП, глава «Нагрузки и воздействия».

Успехи в решении этой проблемы достигнуты благодаря тому, что на сети метеорологических станций Гидрометслужбы СССР накопился значительный материал наблюдений над гололедом, над которым визуальные наблюдения велись с первых лет организации метеорологической сети станций России.

В 20-х годах текущего столетия в связи с авариями, вызванными гололедом на железнодорожном транспорте и на линиях связи (ЛС), появилась необходимость в организации более тщательных наблюдений за этим явлением, в частности инструментальных.

Первые специальные гололедные станции были созданы в Советском Союзе в 30-х годах. Позднее стали развиваться инструментальные наблюдения на постоянно действующей сети станций. Перед Великой Отечественной войной инструментальные наблюдения вели более 100 станций, в 50-х годах — более 1000, а в 60-х — около 3000 станций.

На основании этих наблюдений в каждом УГМС ежегодно составляются обзоры гололедно-изморозевых явлений и вызываемых ими аварий на ВЛ. Большая часть материалов наблюдений обобщается в виде климатических справочников [30]. Подготовлены 34 выпуска справочников.

Уточнению карты гололедного районирования территории СССР в значительной степени способствовали региональные исследования, выполненные ГГО, ВНИИЭ [4], САРНИГМИ [20], КазНИГМИ

[2, 3] и проектными институтами.

Однако имеющиеся достижения не исключают необходимости совершенствования существующих методов расчета гололедных нагрузок и климатических параметров, требуемых для этой цели.

Именно теперь, когда накоплен значительный материал наблюдений, остро встает вопрос о правильном, наиболее эффективном его использовании.

С развитием строительства в СССР, с увеличением густоты сети железных дорог, ЛС и ЛЭП, со строительством высоких мачт и башен требования к правильному использованию климатических данных повышаются. В связи с этим необходим значительно более точный расчет гололедных и гололедно-ветровых нагрузок с учетом особенностей конструкции объектов, подвергающихся обледе-

Несмотря на то что при последнем издании СНиП [31] нормативные гололедные нагрузки в ряде районов СССР увеличены по сравнению с прежними, все же ежегодно на ЛС и ЛЭП возникают аварии, вызываемые или гололедом, или в результате совместного

действия гололеда и ветра.

За сезон 1971-72 г. убытки от аварий, вызванных гололедом, составили более 2 млн. руб. Избежать их в будущем было бы довольно просто. Для этого достаточно повысить соответствующие климатические нормативы, используемые для расчета гололедных и гололедно-ветровых нагрузок. Однако любое увеличение нормативных гололедных нагрузок вызывает сопротивление проектных организаций, так как это связано с повышением стоимости сооружений.

Оптимальное решение этого вопроса возможно лишь на основе тщательных исследований климатических условий и их воздействия на различные объекты. Поэтому-то становятся актуальными и получают развитие работы по данной проблеме.

При эффективном использовании результатов этих работ предподготовить для следующего ставляется возможным СНиП климатические параметры, позволяющие точнее рассчитать гололедные и гололедно-ветровые нагрузки на различные сооружения.

Основными вопросами данной проблемы являются следующие.

- 1. Повышение качества метеорологических и климатологических данных, используемых при расчете гололедных нагрузок.
- 2. Совершенствование методов пересчета гололедных нагрузок с провода гололедного станка на провода рабочих уровней ВЛ; учет конструктивных особенностей ВЛ и других объектов, подверженных обледенению, а также физико-географических условий местности.
- 3. Разработка методов учета комплексных метеорологических воздействий (гололед, ветер, температура) на различные объекты.
- 4. Расчет гололедных и гололедно-ветровых нагрузок на высотные сооружения.

Повысить качество климатологических данных можно путем тщательного анализа и контроля результатов многолетних наблюдений, проводимых метеорологическими станциями, а также путем совершенствования методов инструментальных наблюдений и методов их обработки.

Контроль материалов наблюдений осуществляется ГГО и всеми ГМО УГМС, некоторыми региональными НИГМИ и частично Одесским гидрометеорологическим институтом. Эта работа была начата при составлении первых выпусков справочника «Гололедно-изморозевые явления и обледенение проводов» и продолжается до настоящего времени.

Вспомогательным средством для анализа и контроля резуль-

татов наблюдений служат две номограммы.

Первая номограмма используется для определения плотности гололедно-изморозевых отложений по весу и размерам [15], вторая— для расчета вероятностных значений веса отложения на проволе гололелного станка.

С помощью первой номограммы устанавливается правильность соотношений между весом и размерами отложений различного вида. Кроме того, эта номограмма используется для расчета средних и наиболее вероятных значений плотности гололедно-изморозевых отложений в зависимости от физико-географических условий.

В работе [14] было показано, что при расчете толщины нормативной стенки гололеда (и гололедной нагрузки) по размерам отложений и по средней плотности, принятой для каждого вида отложений одинаковой на всей территории СССР, получаются ошибки, достигающие 50—100%. Величину ошибки можно значительно уменьшить, если воспользоваться дифференцированными значениями плотности отложений.

Следовательно, проводящиеся в настоящее время в ГМО УГМС разработки по определению удельного веса (плотности) отложений в зависимости от местоположения станции могут быть использованы для уточнения расчетов гололедных нагрузок, а также для объяснения физических процессов гололедообразования.

На второй номограмме (рис. 1) строятся кривые распределения повторяемости годовых максимумов веса отложений и определяются их значения заданной обеспеченности (весовые нагрузки, возможные раз в 2, 5, 10, 15 и 20 лет). Они легко могут быть пересчитаны на толщину стенки гололеда.

Качество климатологических данных в значительной степени зависит от качества наблюдений. До сих пор наблюдения за гололедом производятся с помощью гололедных станков и мало уделяется внимания внедрению автоматических и дистанционных приборов.

При полной автоматизации наблюдений, проводимой Белорусским территориальным гидрометцентром, сведения о гололеде ограничиваются только его весом [5], что далеко не достаточно для расчета гололедно-ветровых нагрузок. Отсутствие соответствующих достаточно надежных приборов для наблюдений за гололедно-изморозевыми отложениями приводит к тому, что данные, получаемые при автоматизации наблюдений, хуже данных, получаемых с помощью гололедных станков.

Для совершенствования методов обработки материалов наблюдений необходимо использовать современную вычислительную технику. Пока что расчеты на ЭВМ проводят лишь отдельные научно-исследовательские институты Минэнерго СССР [6, 27] и могут рассматриваться как опытные.

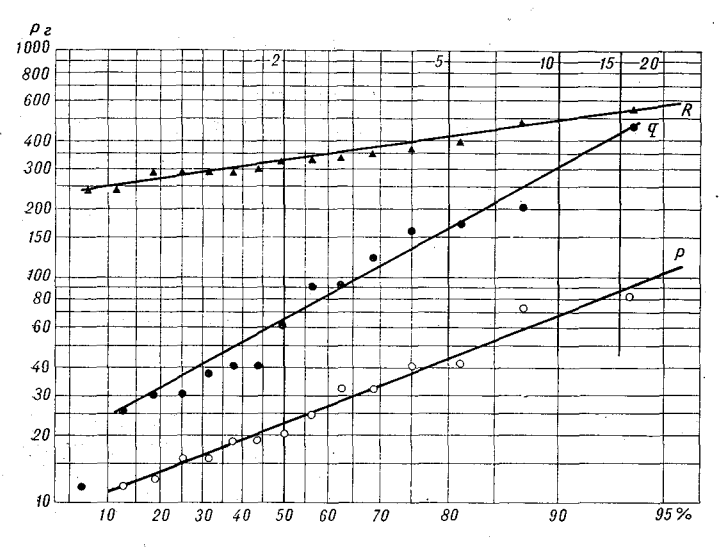


Рис. 1. Номограмма для расчета вероятностных значений веса отложений на проводе гололедного станка: P — интегральная кривая распределения годовых максимумов ветовой нагрузки, R — интегральная кривая распределения годовых максимумов ветровой нагрузки, R — интегральная кривая распределения максимумов результирующей нагрузки.

Автоматизация обработки материалов наблюдений всей сети метеорологических станций возможна при наличии массива перфокарт, созданного по единому макету.

Поскольку данные наблюдений по 1970 г. обобщены в виде таблиц справочника, по-видимому, целесообразно перфорацию наблюдений за гололедно-изморозевыми отложениями начать с 1971 г.

Для уточнения методов пересчета гололедных нагрузок с провода гололедного станка на провода рабочих уровней ВЛ нужны теоретические и экспериментальные исследования. Последние легче организовать проектным институтам при участии сотрудников Гидрометслужбы. Попытка организации таких исследований, к сожалению, пока не дала плодотворных результатов. Главной геофизической обсерваторией (ГУГМС при СМ СССР) и Всесоюзным научно-исследовательским институтом электроэнергетики (Минэнерго СССР) в 1970 г. разработаны методические указания по наблюдениям над обледенением проводов на рабочих уровнях ВЛ [20]. Однако опытные пролеты энергосистемами до сих пор не созданы. Наблюдения над гололедом на опытных пролетах могли бы

дать очень ценные материалы для пересчета гололедных нагрузок с провода гололедного станка на провода рабочих уровней ВЛ.

Хорошо известно, что коэффициент  $K_{bah}=1,5$ , принятый для пересчета толщины стенки гололеда b (приведенной к плотности 0,9 г/см³) с провода гололедного станка на провод диаметром d=10 мм, подвешенный на высоте h=10 м, получен по ограниченному числу наблюдений в нескольких пунктах ETC как произведение двух коэффициентов  $K_d$  и  $K_h$ .

В свое время введение этого коэффициента было большой заслугой ВНИИЭ. Однако теперь уже накоплен значительный материал наблюдений, позволяющий заключить, что этот коэффициент находится в зависимости от физико-географических условий, от вида гололедообразования и т. д. Наблюдения за гололедом на опытных пролетах и преследуют цель — установить закономерность изменения  $K_{bdh}$  в различных районах СССР.

В результате разработок, выполненных в ГГО [8], установлено, что коэффициент пересчета гололедной нагрузки с одного диаметра провода на другой зависит от размеров отложений, от температуры воздуха (следовательно, от вида отложения) и от скорости ветра. Естественно, что от этих факторов зависит и ве-

личина  $K_h$ , а следовательно, и  $K_{b dh}$ .

Пока для определения этого коэффициента имеются материалы наблюдений, проведенных Украинским отделением Сельэнергопроекта, Киргизским и Таджикским научно-исследовательскими отделами энергетики (КиргНИОЭ и ТаджНИОЭ), а также на опытных гололедных станциях в Новопятигорске [16, 28]. Эти материалы использованы Завариной и Глуховым (см. наст. сборник), которые получили коэффициенты пересчета для высоты h=10 м и диаметра d=10 м.

Наряду с уточнением коэффициента  $K_{bdh}$  возникает вопрос о необходимости учета влияния на величину гололедной нагрузки закручивания провода ВЛ и электрического поля. Работы, выполняемые во ВНИИЭ и КиргНИОЭ в этом направлении [23—26], позволят внести соответствующие коррективы в расчеты гололедных

нагрузок.

В ГГО выполнялись также работы, связанные с определением коэффициента пересчета гололедной нагрузки с одного периода

повторения на другой (с одной обеспеченности на другую).

В работе [12] показано, что при умножении нормативной гололедной нагрузки на величину 1,3 (называемую в [31] коэффициентом перегрузки) толщина нормативной стенки гололеда увеличивается только в 1,2 раза. Следовательно, умножением на этот коэффициент осуществляется переход от 5-летнего периода к периоду менее 10 лет. Для того чтобы перейти от 5-летнего периода к 10-летнему или от 10-летнего к 20-летнему, следует увеличить исходные значения толщины стенки гололеда в 1,3—1,5 раза в зависимости от района гололедности, а гололедную нагрузку соответственно с этими данными следует увеличивать в районах І—ПІ в 1,6 раза, в районах ІV—V в 1,5 раза.

Для перехода от гололедной нагрузки, возможной один раз в 5 лет, к гололедной нагрузке, возможной один раз в 20 лет, следует пользоваться коэффициентами 2,5 в районах гололедности I—III и 2,3 — в районах гололедности IV—V.

В настоящее время, по существу, не применяется метод учета одновременного комплексного воздействия на провода ВЛ и другие объекты, определяемого весовой частью нагрузки (вертикальной) и ветровой (действующей в горизонтальном направлении). Независимо от двух указанных воздействий учитываются также температурные воздействия.

С особенно большими погрешностями определяется ветровая нагрузка на обледеневшие предметы. Расчет ветровой нагрузки на

обледеневший провод производится по формуле

$$q = c_x \alpha q_0 S, \tag{1}$$

где  $c_x$  — аэродинамический коэффициент сопротивления обледеневшего провода. Согласно [31] он принимается равным 1,2;  $q_0$  — нормативный скоростной напор ветра, определяемый по расчетной скорости ветра  $v_p$ ;  $\alpha = 0,25$  — коэффициент снижения скоростного напора при гололеде, т. е. расчетная скорость ветра при гололеде принимается равной  $0,5v_p$ ; S — площадь осевого сечения провода, определяемая по толщине нормативной стенки гололеда b. Принимается  $S = (2b+d) \cdot 100$  см², где b и d в см (d — диаметр провода).

Очевидно, погрешности при расчете ветровой нагрузки определяются:

1) погрешностью  $c_x$ ,

2) погрешностью расчетной скорости ветра при гололеде,

3) ошибкой определения площади осевого сечения провода по толщине нормативной стенки гололеда, т. е. приведенной к плотности 0.9 г/см<sup>3</sup>.

Поэтому прежде всего следовало бы уточнить значение коэффициента  $c_x$  путем продувок в аэродинамической трубе моделей разнообразных гололедно-изморозевых отложений на различных предметах.

Использование расчетной скорости ветра для определения ветровой нагрузки при гололеде значительно упрощает расчеты, однако такие расчеты являются весьма приближенными. Получаемые при этом погрешности способствуют или завышению ветровой нагрузки, или ее занижению в районах, отличающихся сильным ветром при гололеде [32].

Погрешность при расчете ветровой нагрузки из-за ошибки при определении площади осевого сечения обледеневшего провода не превосходит 10% при гололеде, но достигает 200% при смешанных отложениях [14].

Расчет ветровых нагрузок может быть выполнен по действительным размерам отложений и по действительно наблюдаемой в этих случаях скорости ветра. Этот метод расчета был кратко изложен в [15].

Для того чтобы действие гололедной и ветровой нагрузок привести к одной и той же высоте, необходимо пересчитать размеры отложений, наблюдавшихся на проводе гололедного станка (на высоте 2 м) на высоту 10—12 м над поверхностью земли, на которой производились наблюдения над скоростью ветра, или же пересчитать скорость ветра с высоты 10—12 м на уровень 2 м.

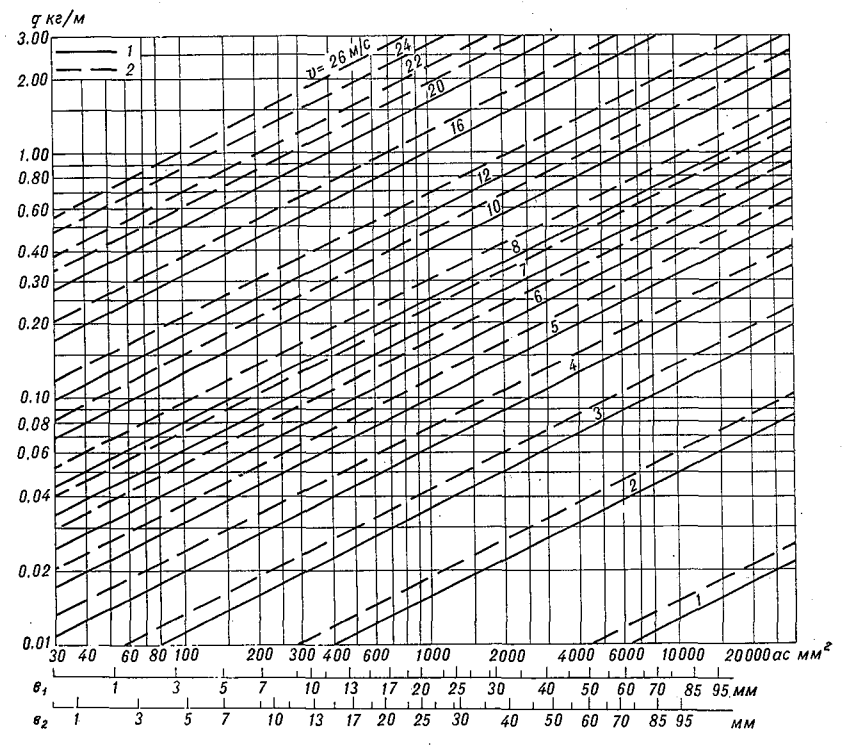


Рис. 2. Номограмма для определения ветровых нагрузок q:  $1-q_1, \, 2-q_2$ 

При опытных расчетах, выполненных в ГГО и ГМО УГМС, ветровая нагрузка определена на один метр провода, имеющего диаметр 10 мм и высоту подвеса 10-12 м. Площадь осевого сечения провода определена по среднему геометрическому значению диаметра, измеренного на гололедном станке  $(D_2=\sqrt{ac})$  и пересчитанного на высоту, на которой измеряется скорость ветра. При этом были использованы два коэффициента пересчета: 1,6 и 2. Первый из них соответствует  $K_{bdh}=1,5$ , второй получен из условия, что  $K_{bdh}=2$ .

Ёсли принять, согласно [31],  $c_x = 1,2$ , то формулы для расчета ветровых нагрузок принимают следующий вид:

$$q_1 = 0.12v^2 \sqrt{ac} \cdot 10^{-3} \text{ KG/M}, \tag{2}$$

$$q_2 = 0.15v^2 \sqrt{ac} \cdot 10^{-3} \text{ Kr/M}. \tag{3}$$

Для облегчения расчетов по этим формулам построена номо-

трамма (рис. 2).

Определив максимальное значение  $q_1$  или  $q_2$  для каждого года и рассчитав интегральные повторяемости максимумов, можно построить интегральную кривую распределения годовых максимумов. Спрямив ее на соответствующей вероятностной сетчатке, представляется возможным определить вероятностные значения  $q_1$  и  $q_2$ . Эти расчеты целесообразно выполнить, если требуются вероятностные значения P и q, независимые друг от друга. Расчеты ветровых нагрузок при гололеде можно произвести точнее, если раз-

Таблица 1 Гололедные и ветровые нагрузки на провода ЛЭП и скорость ветра при гололеде, возможные один раз в 10 лет

	b	h Нагрузка, кг/м					Скорость ветра, м/с				<sub> </sub>
n	1 -	$P_{\rm c}$	$P_{_{\overline{A}}}$	P+p	R	q	$v_{\rm p}$	$v_{pm}$	$v_{\mathrm{y}}$	$v_{ m p}/2$	$K_{p_{dh}}$
19	15	0,50	1,25	1,45	2,20	1,60	18	19	23	14	2,5
17	5	0,15	0,56	0,76	0,95	0,39	11	15	16	11	3,7
19	5	0,10	0,40	0,60	0,63	0,11	6	10	9	10	4,0
17	10	0,23	0,70	0,90	1,15	0,27	10	10	11	12	3,0
16	5	0,12	0,48	0,68	0,75	0,32	14	15	15	10	4,0
15	5	0,07	0,28	0,48	0,49	0,31	9	10	14	12	4,0
	19 17 19 17 16	19 15 17 5 19 5 17 10 16 5	"         MM         Pc           19         15         0,50           17         5         0,15           19         5         0,10           17         10         0,23           16         5         0,12	$ \begin{array}{c c c c c c c c c c c c c c c c c c c $	$ \begin{array}{c c c c c c c c c c c c c c c c c c c $	$ \begin{array}{c c c c c c c c c c c c c c c c c c c $	$ \begin{array}{ c c c c c c c c c c c c c c c c c c c$	$ \begin{array}{ c c c c c c c c c c c c c c c c c c c$	$ \begin{array}{ c c c c c c c c c c c c c c c c c c c$	$ \begin{array}{ c c c c c c c c c c c c c c c c c c c$	$ \begin{array}{ c c c c c c c c c c c c c c c c c c c$

Примечание.  $P_{\rm c}$ — вес отложения на проводе гололедного станка,  $P_{\rm n}$ — гололедная нагрузка на провод диаметром 10 мм, подвешенный на высоту 12 м, p— вес провода, равный 200 г/м, R— результирующая гололедно-ветровая нагрузка, q— ветровая нагрузка,  $v_{\rm p}$ ,  $v_q$  и  $v_{\rm y}$ —расчетные скорости ветра,  $K_{p_{dh}}$ — коэффициент пересчета веса отложения с провода гололедного станка на провод диаметром 10 мм с высотой подвеса 10 м.

меры отложений на проводах определять не с помощью постоянного коэффициента, как указано выше, а варьируя его с учетом зависимости от размеров отложения на гололедном станке и от скорости ветра [17].

Результирующая (суммарная) гололедно-ветровая нагрузка, складывающаяся при одновременном действии веса гололеда и давления ветра, может быть для каждого случая определена по формуле

$$R = \sqrt{(\lambda P + p)^2 + (\eta q)^2},\tag{4}$$

где  $\lambda = K_{\rho_{dh}}$ —коэффициент пересчета гололедной нагрузки P с провода гололедного станка на провод, подвешенный на высоту h диаметром d, p— вес провода;  $\eta = K_{D_{dh}}$ — коэффициент для пересчета размеров отложения с провода гололедного станка на провода ЛЭП.

Для определения вероятностных значений суммарной гололедно-ветровой нагрузки на провод необходимо рассчитать вероятности различных сочетаний гололедных и ветровых нагрузок, определяющих значения R. По аналогии с расчетом вероятностных значений веса (или толщины стенки гололеда) можно для этой цели воспользоваться климатологическим рядом, состоящим из годовых максимумов R.

Каждый годовой максимум определяется соответствующим сочетанием гололедной и ветровой нагрузок. Очевидно, что максимальное за год значение R может быть как при максимуме гололедной нагрузки, так и при максимуме ветровой нагрузки (т. е. когда наблюдалась наибольшая скорость ветра и размеры отложения значительны, хотя вес был меньше максимального значения за год).

Определив годовые максимумы R и рассчитав интегральные повторяемости различных значений максимумов, легко найти зна-

чения этой величины заданной обеспеченности.

В качестве примера на рис. 1 нанесены интегральные кривые распределения повторяемостей веса отложений на гололедном станке, величины ветровой нагрузки q и результирующей гололедно-ветровой нагрузки R.

Интегральные кривые построены по данным за 20-летний пери-

•од наблюдений.

В табл. 1 приводятся значения нагрузок и скоростей ветра, возможные один раз в 10 лет на проводе диаметром 10 мм на высоте 10 м. Они рассчитаны по данным наблюдений нескольких метеорологических станций Уральского УГМС, для которых были построены интегральные кривые распределения годовых максимумов, аналогичные приведенным на рис. 2.

В этой таблице расчетные скорости ветра  $v_p$  и  $v_{pm}$  получены: первая — по распределению скоростей ветра при максимальных отложениях, вторая — по максимальным скоростям за гололедный период (за каждый случай гололеда, вошедший в таблицу годовых максимумов). В графе  $v_y$  приведена условная скорость ветра, которую нужно ввести в расчеты q, если ветровую нагрузку рассчитывать по толщине нормативной стенки гололеда b. Эта условная скорость рекомендована для расчетов ветровых нагрузок Украинским отделением института «Сельэнергопроект». В данной таблице она определена из формулы.

$$q = c_x \frac{v_y^2}{16} (2b + d) = 0.075 v_y^2 (2b + 10).$$
 (5)

Условную скорость ветра  $v_y$  можно определить по номограмме (рис. 2). Для этой цели под осью x номограммы указаны значения b, рассчитанные по формулам (2) и (3), в которых  $\sqrt{ac}$  было заменено на 2b+d. Так, для ст. Чёрмоз ветровая нагрузка, возможная один раз в 10 лет, рассчитанная по распределению q при действительно наблюденных скоростях в размерах отложения, ока-

залась равной 0,32 кг/м, толщина нормативной стенки b=2 мм.

По номограмме находим  $v_y = 15$  м/с.

В предпоследней графе приводятся для сравнения расчетные скорости ветра, используемые согласно [31] для расчета ветровых нагрузок при гололеде (как половина расчетной скорости без гололеда).

При расчете годовых максимумов ветровых нагрузок приняты осредненные значения  $\eta$ . Для ст. Аксаково  $\eta=1,6$ , т. е. q определено по формуле (2). Для остальных станций  $\eta=2$ , что соответ-

ствует формуле (3).

Значения другого коэффициента  $\lambda = K_{P_{dh}}$  указаны в последней графе таблицы. Оба коэффициента ( $\eta$  и  $\lambda$ ) зависят от размеров отложений и от скорости ветра при гололеде. На основании теоретических исследований и экспериментальных данных они уточнены [17].

Приведенные примеры расчета показывают, что весовая часть результирующей нагрузки (ее вертикальная составляющая) несколько больше ветровой части (направленной горизонтально), однако в отдельных пунктах, где гололед сопровождается сильным ветром, ветровая часть нагрузки превосходит нагрузку от гололеда. Так, например, на ст. Аксаково это превышение достигает 11%. Если для этого пункта рассчитать ветровую часть нагрузки по условной скорости ветра (23 м/с), учитывающей истинные размеры отложений, и по расчетной скорости (14 м/с), то их отношение, равное отношению квадратов скоростей, будет равно 2,6.

В районе ст. Чёрмоз ветровая часть нагрузки меньше ее весовой части, однако при определении ее по половине расчетной скорости и толщине нормативной стенки гололеда она занижается в 2,25 раза.

Точно так же, если считать ветровую часть нагрузки по половине расчетной скорости на ст. Верещагино, она будет значительно занижена.

Особо сложным и вместе с тем чрезвычайно важным является вопрос, связанный с методом расчета гололедных и гололедно-ветровых нагрузок на высотные сооружения. Практическое значение этих расчетов очевидно, так как за последние годы в нашей стране строится много высоких сооружений, а стоимость их, в основном, определяется величиной гололедной и ветровой нагрузок.

Сложность и трудность решения этого вопроса связаны с отсутствием необходимых данных наблюдений. Они проводились в течение шести лет на нескольких уровнях (до высоты 300 м) метеорологической мачты Института экспериментальной метеорологии в Обнинске и в настоящее время проводятся только в одном пункте СССР — Центральной высотной гидрометеорологической обсерваторией (ЦВГМО) на Останкинской телевизионной башне (Москва).

Совершенно очевидно, что гололедные нагрузки на высотные сооружения нельзя рассчитывать по данным наблюдений у поверх-

ности земли (на высоте 2 м). Поскольку наблюдения на высотах слишком ограничены, приходится прибегать к косвенному приближенному методу расчета путем использования аэроклиматических данных об облачности, температуре, скорости ветра в облачных слоях. Результаты методических разработок, связанных с этими расчетами, выполненных за последние годы в ГГО, изложены в монографии и статье В. Г. Глухова [9, 10].

Лаже лля контроля и оценки результатов косвенных расчетов максимальных гололедно-изморозевых отложений на высотах.

к сожалению, имеется слишком мало фактических данных.

Вот почему очень ценными были бы наблюдения над гололедом на метеорологической мачте в Обнинске и на телевизионных мачтах в других районах СССР.

#### ЛИТЕРАТУРА

1. Бошнякович А. Д. Механический расчет проводов и тросов линий электропередачи. Изд. 2-е. Л., «Энергия», 1971. 294 с.

2. Белоус И. М. О расчете максимальных стенок гололеда на проводах линий электропередач в горных районах Тянь-Шаня.— «Труды ГГО», 1969, вып.

246, c. 31—39.

3. Белоус И. М. Влияние физико-географических и метеорологических условий на плотность гололедно-изморозевых отложений. — «Труды ГГО», 1970,

вып. 265, с. 45—50. 4. Бургсдорф В. В., Муретов Н. С. (ред.). Расчетные климатические условия для высоковольтных линий электропередачи. Т. 1. Гололедные нагрузки воздушных линий электропередачи в СССР. М., Госэнергоиздат, 1960. 206 с. (Труды ВНИИЭ. Вып. 10.) 5. Волобуева Г. В. Копределению размеров гололедно-изморозевых отло-

жений по их весу.—«Труды ГГО», 1972, вып. 303, с. 34—40.

6. Гарцман Л. Б. Методы математического моделирования и расчетов распределения вероятностей гололедно-ветровых нагрузок на провода воздушных линий электропередачи. — Информ. письмо ТУГМС № 19. М., Гидрометеоиздат, 1972, с. 114—119. 7. Глухов В. Г. К определению количества влаги, оседающей на элементы

высотных сооружений в процессе гололедообразования. — «Труды ГГО»,

1970, вып. 265, с. 3—8. 8. Глухов В. Г. Об интенсивности обледенения проводов различного диаметра.—«Труды ГГО», 1972, вып. 303, с. 11—23.

9. Глухов В. Г. Метеорологические условия образования гололеда на высотных сооружениях. Л., 1972. 98 с. (Труды ГГО. Вып. 311.)

10. Глухов В. Г. К расчету гололедных нагрузок на высотные сооружения по

- аэрологическим данным.— См. наст. сборник. 11. Драневич Е. П. Гололед и изморозь. Л., Гидрометеоиздат, 1971. 226 с. 12. Заварина М. В. К расчету гололедных нагрузок.—«Труды ГГО», 1970, вып. 265, с. 21—29.
- 13. Заварина М. В. Удельный вес гололедно-изморозевых отложений.—«Труды ГГО», 1970, вып. 265, с. 30—44.
- 14. Заварина М. В., Сорокина Н. С. К определению ветровых нагрузок на обледеневшие провода.—«Труды ГГО», 1971, вып. 283, с. 74—78.
- 15. Заварина М. В. О расчете гололедных, гололедно-ветровых и ветровых нагрузок при гололеде.—«Труды ГГО», 1972, вып. 303, с. 3—10.
- 16. Заварина М. В., Арнаутов П. К. Коэффициенты пересчета гололедных нагрузок.—«Труды ГГО», 1972, вып. 303, с. 154—159.
- 17. Заварина М. В., Глухов В. Г. О приведении данных гололедного станка к рабочим уровням линий электропередачи.

18. Клинов Ф. Я. Изморозь и гололед в нижнем 300-метровом слое атмо-

сферы. Л., Гидрометеоиздат, 1970. 112 с. 19. Клинов Ф. Я., Бойков В. П. О гололедно-изморозевых отложениях в нижнем 500-метровом слое атмосферы по наблюдениям на телевизионной башне в Останкино.— См. наст. сборник.

20. Леухина Г. Н. Гололедно-изморозевые явления и обледенение проводовв Средней Азии. Л., Гидрометеоиздат, 1972. 115 с. (Труды САРНИГМИ.

Вып. 2.)

21. Меламед М. Н., Гарцман Л. Б. Принципы комплексного учета метеорологических факторов при расчетах механических нагрузок на линии электропередачи.— Науч. труды Ташкентского ун-та, 1966, вып. 270.

22. Методические указания по наблюдениям над обледенением проводов на рабочих уровнях воздушных линий электропередачи. Л., Гидрометеоиздат.

1970. 15 c.

23. Никифоров Е. П. Влияние переменного электрического поля на вес отложения гололеда на проводе линии электропередачи. — «Электричество», 1962, № 6, с. 52—57. 24. Никифоров Е. П. Влияние закручивания провода на вес отложения го-

лоледа. М.—Л., 1963. (Труды ВНИЙЭ. Вып. 15.) 25. Никифоров Е. П. Влияние конструкций воздушных линий электропередачи на гололедные нагрузки. — См. наст. сборник.

26. Подрезов О. А. Некоторые задачи экспериментального изучения обледенения проводов в горных условиях. — «Труды ГГО», 1972, вып. 303, с. 131—

27. Подрезов О. А., Федорова С. А. Опыт использования системы кривых Пирсона для оценки вероятных величин гололедных отложений. — См. наст. сборник.

28. Савченко Л. А. Некоторые закономерности формирования гололедных нагрузок на провода ЛЭП и ЛС в горных районах.— См. наст. сборник.

29. Современное состояние и перспективы развития инструментальных наблюдений за гололедно-изморозевыми явлениями. Труды Междуведомственного совещания. Под ред. М. В. Завариной и Ф. Я. Клинова. Л., Гидрометеоиздат, 1970. 92 с.

30. Справочник по климату СССР. Гололедно-изморозевые явления и обледене-

ние проводов. 1970—1972.

31. Указания по определению гололедных нагрузок. СН 318-65. М., Госстройиздат, 1966. 19 с.

32. Швер Ц. А. Повторяемость скоростей ветра при обледенении проводов.— «Труды ГГО», 1969, вып. 246, с. 114—121.

33. Электротехнический справочник. Т. 2. М.—Л., «Энергия», 1964, 758 с.

#### ВЛИЯНИЕ КОНСТРУКЦИИ ВОЗДУШНЫХ ЛИНИЙ ЭЛЕКТРОПЕРЕДАЧИ НА ИНТЕНСИВНОСТЬ ГОЛОЛЕДНЫХ ОТЛОЖЕНИЙ

Гололедные нагрузки на проводах воздушных линий (ВЛ), влияя на конструкцию ВЛ, сами зависят от ее конструктивного выполнения. Поэтому при определении нормативных гололедных нагрузок на провода ВЛ по данным гидрометеорологических станций (ГМС), которые гололед измеряют на проводе диаметром 5 мм на высоте 2 м от поверхности земли, приходится учитывать

влияние конструкции ВЛ на величину этих нагрузок.

Исследования влияния конструкции ВЛ на гололедные нагрузки проводились различными авторами и были обобщены Всесоюзным научно-исследовательским институтом электроэнергетики (ВНИИЭ) [1]. Наряду с этим проводилось дальнейшее исследование этого вопроса во ВНИИЭ [2—5] и в Украинском отделении института Сельэнергопроект (СЭП) [6]. Обобщение этих исследований позволило дать уточненные рекомендации по учету влияния конструкции ВЛ на гололедные нагрузки.

С теоретической точки зрения влияние конструкции ВЛ на гололедные нагрузки становится ясным из рассмотрения механизма

образования гололеда на проводе.

Движение в потоке воздуха капель тумана, мороси и дождя, изкоторых образуются гололед и изморозь, определяется третьим законом механики

$$\overline{f}_{9} + \overline{f}_{r} + \overline{f}_{H} + \overline{f}_{rp} = 0, \qquad (1)$$

где  $\overline{f}_9=\frac{1}{3}\,r_{\rm k}^3$  grad  $\overline{E}^2$  — сила воздействия электрического поля провода на поляризованную каплю,  $\overline{f}_{\rm r}=mg$  —сила тяжести,  $\overline{f}_{\rm n}=ma$  — сила инерции,  $\overline{f}_{\rm rp}=6\,\pi\,\mu\,r_{\rm k}(\overline{w}-\overline{v})\mp$  сила трения,  $r_{\rm k}$  — радиус капли,  $\overline{E}$  — напряженность электрического поля провода, m — масса капли,  $\overline{g}$  — ускорение силы тяжести, a — ускорение капли,  $\mu$  — динамический коэффициент вязкости воздуха,  $\overline{w}$  — скорость потока воздуха в данной точке,  $\overline{v}$  — скорость капли.

Траектория движения капли определяется соотношением сил, действующих по уравнению (1). При малом размере капель и  $\overline{f_0}=0$  сила тяжести  $\overline{f_1}$  мала по сравнению с силами инерции  $\overline{f_n}$  и трения  $\overline{f_{1p}}$ , вследствие чего капли в основном движутся горизонтально совместно с потоком, имея незначительную вертикальную состав-

ляющую. В дальнейшем анализируется случай малого размера капель.

Наличие провода раздваивает воздушный поток и искажает его линии тока (рис. 1). В области искажения потока меняется соотношение сил в уравнении (1). Существенно увеличивается

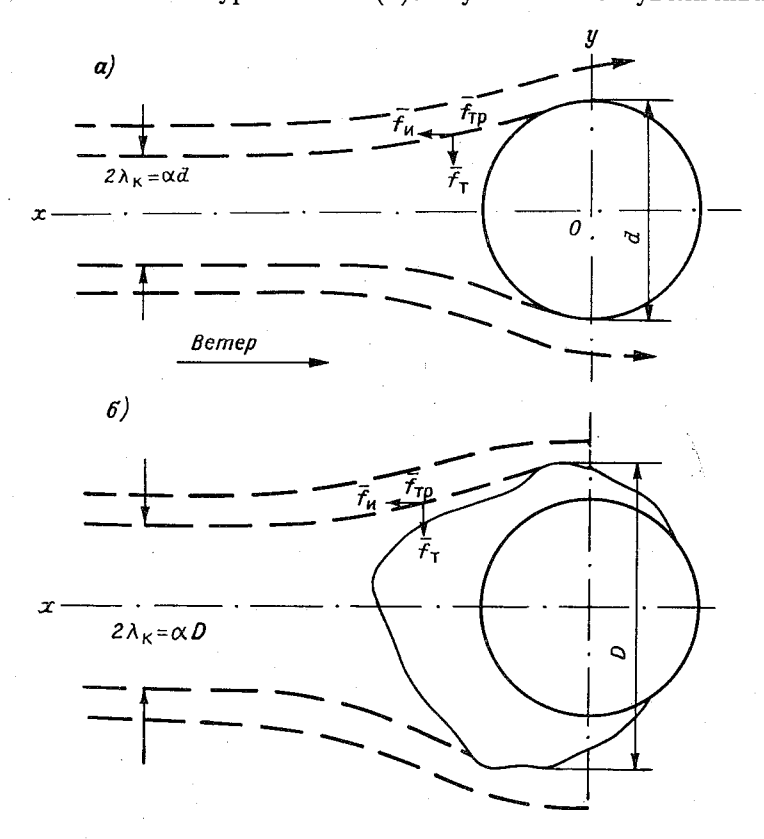


Рис. 1. Движение капель тумана в потоке воздуха: a — возле провода без гололеда, б — в зле провода с гололедом

сила трения  $\overline{f}_{\text{тр}}$ , что приводит к захвату капель потоком воздуха, вследствие чего капли данного размера оседают на проводе из полосы  $2\lambda_{\text{к}}$  ширина которой меньше диаметра провода (рис.  $1\ a$ ).

В любой интервал времени приращение веса гололеда определится количеством влаги, оседающей на проводе. Если капли данного размера  $r_{\kappa}$  оседают из полосы шириной  $2 \lambda_{\kappa}$ , то за время dt на единице длины количество осевшей влаги равно

$$dP = 200 \, \lambda_{\rm K} H_{\rm K} v_{\rm K} dt, \tag{2}$$

где  $H_{\rm H}$  — содержание влаги в единице объема воздуха, обуслов-

ленное каплями данного размера,  $v_{\rm k}$  — установившаяся скорость движения этих капель в потоке воздуха.

Ширина полосы  $\lambda_{\kappa}$  определяется следующим уравнением, полу-

ченным в [2]

$$\lambda_{K} = \frac{d}{2} \left\{ 1 - \frac{1}{\left[ \frac{2m}{Kd} \left( v_{KX} - v_{K0} \right) \right] + 1} \right\}, \tag{3}$$

где d — диаметр провода,  $K=6\pi\mu$ ,  $v_{\rm Kx}$  — скорость капли, наиболее удаленной от оси потока в момент ее касания провода в точке с координатами  $x=0,\ y=\frac{d}{2}$ ,  $v_{\rm K0}$  — горизонтальная составляющая скорости капли в неискаженном потоке, практически равная его скорости.

Таким образом, в начале процесса, когда провод не покрыт гололедом, приращение веса в единицу времени зависит от диаметра провода, содержания влаги, размера капель, скорости неискаженного потока воздуха. При обледенении проводов ВЛ диаметр провода, содержание влаги, скорость ветра будут отличаться от тех же величин, имеющих место при обледенении провода на ГМС. Помимо этого, электрическое поле ВЛ поляризует капли, а появляющаяся сила взаимодействия  $\widehat{f}_{\theta}$  притягивает дополнительные капли, увеличивая ширину полосы  $\lambda_{\kappa}$  до  $\lambda_{\theta \kappa}$ , что в конечном итоге увеличивает интенсивность приращения веса гололеда.

Следовательно, при определении нормативных гололедных нагрузок на провода ВЛ по данным наблюдений ГМС необходимо учитывать влияние конструкции ВЛ — диаметра проводов, высоты их подвеса (так как с увеличением высоты над поверхностью земли увеличивается скорость ветра и содержание влаги), воздействие электрического поля.

Величина  $\lambda_{\kappa}$  в начале процесса гололедообразования определяется диаметром провода. В последующем провод покрывается гололедной муфтой D, форма которой близка  $\kappa$  цилиндру (рис. 1  $\delta$ ), что дает основание допустить для качественного анализа подобие влияния на  $\lambda_{\kappa}$  диаметра провода и размера гололедной муфты.

Зависимость  $2\lambda_{\rm K}$  от диаметра провода при фиксированном размере капель имеет максимум. Увеличение диаметра провода до определенных значений способствует увеличению веса гололеда на провода, после чего на проводах большего диаметра образуется меньший вес гололеда.

Если влияние размера гололедной муфты D подобно влиянию диаметра провода, то изменение D в процессе гололедообразования должно влиять на интенсивность приращения веса гололеда. Ускоренное увеличение D до определенных значений должно способствовать более интенсивному образованию гололеда.

В частности, провода ВЛ под действием момента от одностороннего отножения ренонградская ручиваются на большей части

Гидрометеорологический ин-т БИБЛИОТЕКА пролета, что существенно увеличивает размер муфты D и до определенных значений способствует более интенсивному образованию гололеда на проводе ВЛ по сравнению с жестко закрепленным отрезком провода на ГМС. Следовательно, при определении нормативных гололедных нагрузок на провода ВЛ по данным наблюдений ГМС необходимо учитывать влияние кручения провода на гололедную нагрузку.

Влияние каждого из перечисленных конструктивных факторов на гололедную нагрузку на провода ВЛ было исследовано ВНИИЭ в полевых условиях на гололедном стенде в районе под-

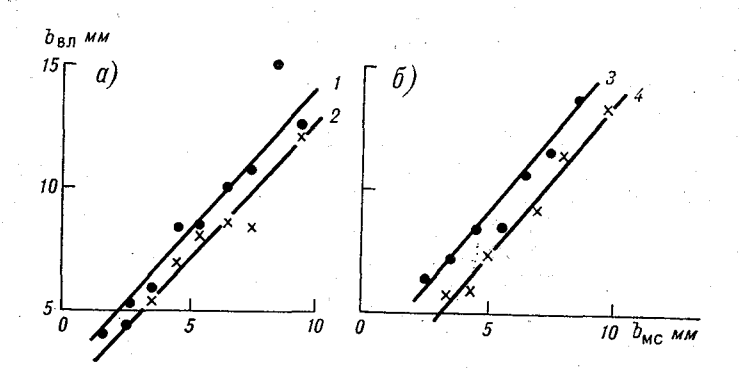


Рис. 2. Зависимость  $b_{\rm B,I}=f$  ( $b_{\rm MC}$ ): a — для ВЛ 400 кВ с напряжением (I) и без напряжения (2),  $\delta$  — для троса d =11,5 мм (3) и провода AC-120 (4)

станции Машук и даны рекомендации по учету каждого из этих факторов [2—5]. Эти результаты нашли также отражение в [7].

Для практических целей на опытных пролетах гололедного стенда ВНИИЭ в результате измерений, проведенных Г. М. Сарухановым и Е. А. Дроздовым, получены зависимости толщины стенки *в* цилиндрического гололеда на проводах ВЛ и ГМС

$$b_{\scriptscriptstyle \mathrm{BJI}} = f(b_{\scriptscriptstyle \mathrm{MC}})$$

для ВЛ 400, 110, 35 и 10 кВ — провода АСУ-400 (d=29,3 мм), АС-120 (d=15,3 мм), АС-35 (d=8,4 мм) и стального троса d=11,5 мм, а на опытных пролетах института СЭП — для ВЛ 6—10 кВ — провода АС-25 (d=6,6 мм), АС-70 (d=11,4 мм). Гололедная нагрузка b<sub>вл</sub> измерена на уровне средней высоты подвеса провода.

Наблюдения ВНИИЭ охватывают период с 1953 по 1972 г., а результаты института СЭП получены за период с 1963 по 1966 г. по данным 30 опытных пролетов в различных областях Украины. Всего выполнено более 200 измерений гололедных нагрузок проводах ВЛ различных конструкций и одновременно на проводегололедного станка, расположенного рядом с ВЛ.

При обработке результатов вычислялось среднее значение  $b_{\mathtt{в}\mathtt{x}}$ 

в интервале  $\Delta b_{\rm MC} = 1,0$  мм. Среднеквадратическое отклонение о составляло 1,9—2,6 мм.

На рис. 2 a представлены зависимости  $b_{\rm вл}$   $f(b_{\rm мс})$  для двух ВЛ с проводами АСУ-400 (длина пролета 320 м), одна из которых находилась под напряжением 400 кВ, а другая была обесточена. Как видно, воздействие электрического поля увеличивает гололедную нагрузку.

Детальные исследования этого вопроса показали, что действие сил электрического поля становится особенно существенным при

малом размере капель и большой напряженности электрического поля. Поэтому, чем меньше объемный вес гололедного осадка и больше напряженность поля, тем больше увеличение гололедной нагрузки под воздействием электрического поля.

В лабораторных исследованиях при диаметре катумана  $r_{\rm k} \approx 5$ (объемный вес  $v = 0.09 \, \text{г/см}^3$ ) измерено 10—20-кратное увеличение веса гололедного осадка с напряжением по сравнению с проводом без напряжения. Это приводит к выводу, что в полевых условиях увеличение гололедной нагрузки воздействием электрического поля должно происходить в основном за счет захвата полем мелких капель тумана. И действительно. в полевых измерениях на

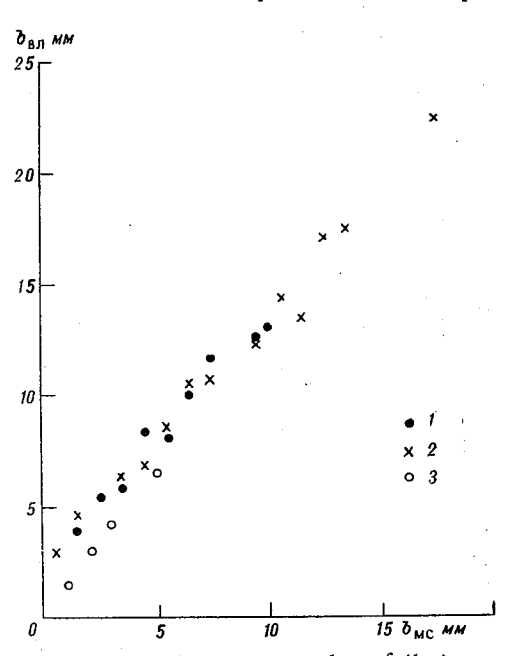


Рис. 3. Зависимость  $b_{\rm BA} = f \left( b_{\rm MC} \right)$  t — данные ВНИИЭ при мороси, 2 — данные института СЭП при мороси, 3 — данные института СЭП при дожде.

стенде при  $\gamma = 0.2$  г/см³ получено более чем двукратное увеличение нагрузки, тогда как при  $\gamma = 0.5$  г/см³ вес увеличивался только в 1,3 раза.

На рис. 2 б представлены зависимости  $b_{\rm вл}=f(b_{\rm mc})$  при образовании гололеда на тросе d=11,5 мм (длина пролета 320 м) и на проводе AC-120 при напряжении 110 кВ (длина пролета 160 м). Как видно, гололедная нагрузка на тросе ВЛ больше, чем на проводе, что объясняется влиянием большей высоты подвеса и более интенсивным закручиванием троса по сравнению с проводом AC-120.

Таким образом, гололедные нагрузки на проводах ВЛ намного

больше, чем на проводе гололедного станка. Наряду с этим гололедные нагрузки на проводах ВЛ различной конструкции, расположенных в одном районе, могут несколько различаться между собой.

Отклонение нормативных гололедных нагрузок в пределах  $\Delta b_{\rm B,I} = \pm 2,5$  мм допускается нормами на проектирование ВЛ. Поэтому для практического применения имеет смысл получить общую для всех ВЛ зависимость  $b_{\rm B,I} = f(b_{\rm MC})$ .

На рис. З представлены зависимости  $b_{\rm вл}=f(b_{\rm мc})$  для ВЛ 110—400 кВ (по данным ВНИИЭ) и для ВЛ 6—10 кВ (по данным ин-

ститута СЭП).

Данные ВНИИЭ и института СЭП хорошо согласуются друг с другом, что дает основание рекомендовать одну зависимость для ВЛ напряжением от 6 до 500 кВ. Этот вывод подтверждает правильность принятого в СССР метода расчета всех ВЛ на одну и ту же нормативную толщину стенки гололеда. При этом в реальных условиях возможны отклонения гололедных нагрузок в пределах ±2,5 мм для ВЛ различных конструкций.

Следует отметить, что зависимость на рис. 3 при  $b_{\rm mc} > 1$  см подтверждена незначительным количеством измерений и в после-

дующем необходимо ее уточнение в этой зоне.

Удовлетворительная согласованность данных ВНИИЭ, полученных на Северном Кавказе, и данных института СЭП, полученных во многих областях Украины, дает основание сделать вывод, что влияние конструкции ВЛ на гололедные нагрузки существенно не зависит от географического района. Это было подтверждено также сопоставлением результатов ВНИИЭ и Рира [8] в ФРГ. Существенное значение имеет размер капель, из которых образуется осадок. В частности, данные на рис. З получены для гололедного осадка, образовавшегося из капель тумана и мороси. При образовании гололеда из капель переохлажденного дождя зависимость  $b_{\rm вл} = f(b_{\rm MC})$  будет иной.

При крупных каплях дождя силы инерции  $\overline{f_u}$  и тяжести  $\overline{f_\tau}$  будут существенно больше силы трения  $\overline{f_{\tau p}}$  и силы притяжения капель электрическим полем  $f_{\vartheta}$ . Вследствие этого ширина полосы  $2\lambda_{\kappa}$  в начале процесса будет практически равна диаметру провода, а в последующем — размеру гололедной муфты D. Содержание влаги при дожде практически не зависит от высоты над уровнем земли, поэтому увеличение гололедной нагрузки с высотой будет

в основном определяться увеличением скорости ветра.

Проведенные исследования использованы в «Методике составления региональных карт гололедных нагрузок», разработанной ВНИИЭ. В качестве кривой, характеризующей влияние конструкции ВЛ, принята зависимость  $K_{\rm BЛ} = b_{\rm BЛ}/b_{\rm MC} = f(b_{\rm MC})$ , полученная пересчетом на рис. 3 (в отличие от ранее принятого постоянного K=1,5 [1]). Введенные изменения позволили увеличить нормативные нагрузки в слабогололедных районах, что важно для повышения надежности сельских ВЛ, перегрузочная способность которых меньше, чем ВЛ 110 кВ и выше.

#### Выводы

- 1. Проведены комплексные исследования влияния конструкции ВЛ на гололедные нагрузки и даны рекомендации по определению гололедных нагрузок на проводах ВЛ по данным наблюдений ΓMC.
- 2. Показано, что влияние конструкции ВЛ на гололедные нагрузки практически идентично для обширных районов Северного Кавказа и Украины и данные рекомендации применимы для всех районов СССР, исключая горные.

3. В последующих работах необходимо организовать исследования в сильногололедных районах с тем, чтобы уточнить зависимость  $b_{\rm вл} = f(b_{\rm MC})$  при  $b_{\rm MC} > 1$  см.

#### ЛИТЕРАТУРА

- 1. Бургсдорф В. В., Муретов Н. С. (ред.). Расчетные климатические условия для высоковольтных линий электропередачи. Т. 1. Гололедные нагрузки воздушных линий электропередачи в СССР. М., Госэнергоиздат, 1960. 206 с. (Труды ВНИИЭ. Вып. 10.) 2. Никифоров Е. П. Распределение веса гололедообразования на проводах
- различного диаметра.—«Труды ВНИИЭ», 1961, вып. 11, с. 274—288. 3. Никифоров Е. П. Влияние высоты подвеса провода на вес отложения
- гололеда.—«Электрические станции», 1962, № 6, с. 62—66.
- 4. Никифоров Е. П. Влияние переменного электрического поля на вес отложения гололеда на проводе линии электропередачи. — «Электричество»,
- 1962, № 6, с. 52—58. 5. Никифоров Е. П. Влияние закручивания провода на вес отложения гололеда.—«Труды ВНИИЭ», 1963, вып. 15, с. 220—227.
- 6. Холмский Д. В. и др. К выбору оптимальной надежности воздушных линий электропередачи в гололедно-ветровых режимах. — «Электричество», 1968, № 6, c. 7—12.
- 7. Указания по определению гололедных нагрузок. СН 318-65. М., Госстрой-
- издат, 1966. 19 с. 8 Rier W. Nebelfrostablagerungen als Zusatzlast für Freileitungen ETZ-A, 1955, Nr. 8, S. 128—135.

# О ГОЛОЛЕДНО-ИЗМОРОЗЕВЫХ ОТЛОЖЕНИЯХ В НИЖНЕМ 500-МЕТРОВОМ СЛОЕ АТМОСФЕРЫ ПО НАБЛЮДЕНИЯМ С ТЕЛЕВИЗИОННОЙ БАШНИ В ОСТАНКИНО

Ранее выполненные исследования гололедно-изморозевых отложений в нижнем слое атмосферы освещены в работах [1—5].

В данной статье рассматриваются некоторые характеристики гололедно-изморозевых отложений в нижнем 500-метровом слое атмосферы, полученные по наблюдениям с телевизионной башни в Останкино (Москва) в гололедно-изморозевые сезоны 1969—1971 гг. (ноябрь — март). В этих наблюдениях использовалась в основном методика, разработанная на высотной метеорологической мачте в Обнинске [5].

В рассматриваемые сезоны суммарная длительность периодов гололедно-изморозевых отложений в нижнем 500-метровом слое

атмосферы  $\sum_{i=1}^{n} t_i$  ( $t_i$  — период отложения) относительно продолжи-

тельности всего сезона T составляла  $\sum_{i=1}^{n} t_i / T \cdot 100 = 50 \%$ .

Эта характеристика может рассматриваться как занятость (обозначим ее через и) периодами голеледно-изморозевых отложений всего промежутка времени рассматриваемых сезонов.

Ежемесячная занятость периодами отложений в сезоны 1969—1971 гг. составляла 20% в ноябре, 73% в декабре, 75% в янва-

ре, 33% в феврале и менее 5% в марте.

Длительность отдельных периодов гололедно-изморозевых отложений составляла от 20—25 ч (февраль, ноябрь 1970 г.) до 500—600 ч (январь 1969 г., декабрь 1971 г.).

Число случаев n с различными видами отложений и их повторяемость (в %) на разных уровнях 500-метрового слоя даны в табл. 1.

Длительность и число случаев с отложениями различались по уровням слоя; наибольшие значения этих характеристик наблюдались на верхних уровнях нижнего 500-метрового слоя атмосферы, что связано с увеличением длительности существования и частоты низких облаков на этих высотах. С периодами низкой облачности связано и явное преобладание случаев зернистой изморози, характерными условиями образования которой являются низкие облака. Кристаллическая изморозь и гололед наблюдались значительно реже — в 5—10% случаев.

Повторяемость случаев с различными видами отложений по слоям

Вид отложения									
V	<b>S</b>	·	, √, ∞						
<b>3</b> 2		9	2						
17	7	13	14						
17	31	21	23						
17	31	28	30						
17	31	29	31						
30	-58	325	125						
	17 17 17 17	V     ∞       32     -       17     7       17     31       17     31       17     31	$ \begin{array}{c c c c c c c c c c c c c c c c c c c $						

Наблюдавшееся распределение гололедно-изморозевых отложений в нижнем 500-метровом слое атмосферы представлено на рис. 1 — сгруппированными (a) и «индивидуальными» характерными (б) профилями. Характерные профили вида I—IV типичны для отложений зернистой изморози в низких облаках и обусловлены благоприятными температурными условиями ( $\theta < 0^{\circ}$ C) и длительным периодом низкой облачности (>70 ч) с нижней границей на уровне z > 100 м (профиль вида I), периодом низкой облачности малой продолжительности (10-40 ч) с нижней границей до уровня z < 80 - 100 м (профиль вида II), периодом низкой облачности средней продолжительности (50—70 ч) с нижней границей на уровне z > 100-200 м (профили вида III и IV). Профиль вида IV близок к средним из всех сгруппированных (рис. 1 a). Профиль вида V (отложения зернистой изморози) обусловлен низкой облачностью (или приподнятым туманом) с верхней и нижней границей соответственно между уровнями 400 и 150 м. Профиль вида VI показателен для наблюдавшегося распределения кристаллической изморози в нижнем 500-метровом слое атмосферы при радиационном выхолаживании. Профиль вида VII построен для случая наблюдавшегося отложения чистого гололеда в нижнем 500-метровом слое атмосферы. Отклонение (разброс) веса отложений от средних значений ( $\pm \sigma_p$  г/пог. м) составляло 1000 г на высоте 503 м, 800 г на высоте 385 м, 400 г на высоте 253 м и 100 г на высоте 138 м.

Профили вида I—IV и VII, характерные для отложений зернистой изморози и гололеда, могут быть аппроксимированы по методу наименьших квадратов заданной в узлах  $x_1, x_2, ..., x_n$  функцией:

$$Q(x) = A_0 + A_1 x + A_2 x^2 + \dots + A_n x^n.$$
 (1)

Жоэффициенты полинома по видам профилей рассчитаны на ЭВМ Мир-1 (расчет выполнен А. Г. Бондиной и Т. Э. Кренкелем) и приведены в табл. 2.

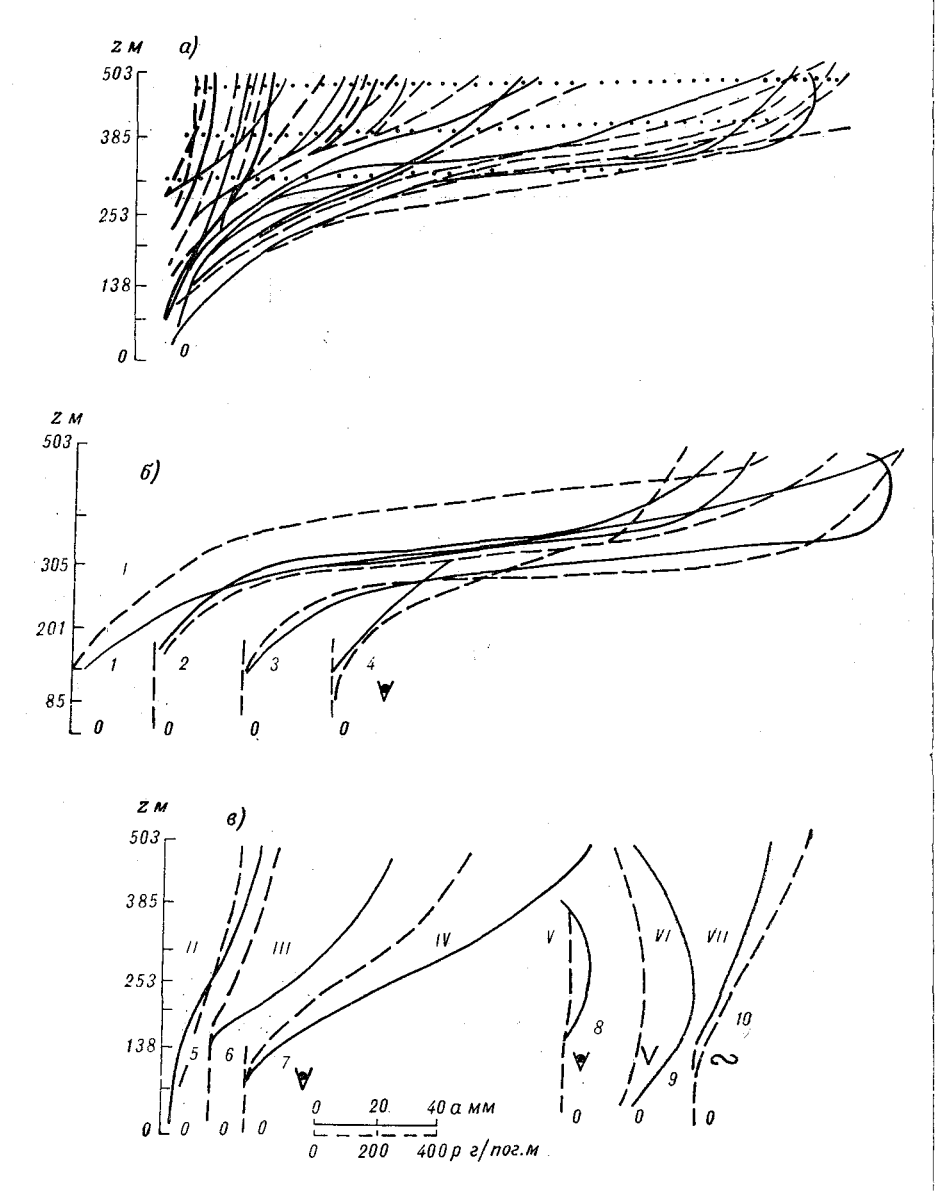


Рис. 1. Профили гололедно-изморозевых отложений в нижнем 500-метровом слое атмосферы:  $a- \text{сгруппированные}, \quad \delta \quad \text{и} \quad s- \text{«индивидуальные}.$ 

Соотношения между размерами отложений зернистой изморози и гололеда (a мм) на элементах сооружения и размерами самих элементов (D мм) даны в табл. 3. Как видно из табл. 3, соотношение a/D изменялось от 3 до 20.

Таблица 2
Коэффициенты полинома для различных видов профилей отложений

Профиль	A 0	$A_1$	A 2	$A_3$
I	-20,2	328	<b>—257,1</b>	41,2
II	0,32	3,3	8,0	-1,0
III	2,4	-17,4	9,7	-0,4
IV	6,8	-48,6	40,7	-1,9
VII	2,5	-47,6	39,6	-2,8

Размеры большого a и малого c диаметров и вес P гололедно-изморозевых отложений, измеренных на стандартных стержнях в сезоны 1969—1971 гг. в нижнем 500-метровом слое атмосферы, даны в табл. 4. Таблица показывает быстрое возрастание отложений по размерам и весу с высотой в 500-метровом слое атмосферы.

Процентное соотношение между размерами (a, c) и весом (P) отложений на горизонтальных и вертикальных стержнях диамет-

ром 15 и 35 мм дано в табл. 5.

Таблица 3 Соотношение между большим диаметром отложений а и размерами D элементов сооружения

Элемент сооружения	D мм	a/D <sub>B</sub>	a/D <sub>r</sub>
Tpoc	15	20	-
Стержень	15	17,3	16,6
	35	7,0	6,7
Вибратор	· 40	_	10,0
	100	4,5	-
Труба	120	3,3	-
Стрела крана	200		2,2
			l

С увеличением диаметра стержней как горизонтальных, так и вертикальных большой диаметр отложения уменьшается, а малый наоборот возрастает. Вес отложения с увеличением диаметра стержня увеличивается, несмотря на уменьшение большого диаметра отложения. Размеры и вес отложений на вертикальных основах на 15—25% больше, чем на горизонтальных. Это может

Размеры (а и с) и вес (P) отложений на стандартных стержнях телевизионной башни в Останкине

			D=1	5 мм			D=35 MM								
z м	a	MM	c	мм	Р г/п	юг. м	a N	а мм		а мм с мм		MM P		<i>Р</i> г/пог. м	
]	от	до	от	до	от	до	ОТ	до	от	до	от	до			
Горизонтальный стержень															
503	12	250	13	26	140	2430	12	235	25	48	180	3350			
385	сл1	200	12	28	135	1530	сл	190	25	46	160	2850			
305	сл	170	12	32	24	950	СЛ	120	24	45	_	1020			
253	сл	150	9	22	20	470	сл	75	26	40	_	735			
138	сл	42	9	14	— i	250	СЛ	65	_	-	_	_			
85	СЛ	сл	-		-	_	СЛ	сл	_	<u> </u>	<u> </u>	_			
2	сл	сл		_	_	-	СЛ	сл	_		_	_ ,			
			'	' 			4				'				
				Е	вертика	ільный	стерж	ень .	*						
·503	26	260	16	35	165	2550	18	242	30	51	275	3435			
385	-	_	_	—	<del>-</del>	_	20	218	32	53	195	3 <b>5</b> 50			
305	сл	<b>30</b> 0	10	65	-	4100	сл	260	20	72	_	3880			
253	_	.—		_	_	_ '	сл	205	17	40	-	920			

<sup>1</sup> Отложения, большой диаметр которых менее 10 мм.

быть объяснено тем, что интенсивность нарастания отложений на вертикальном стержне не зависит от направления влагонесущего потока. Максимальные значения размеров и веса отложений в сезоны 1969—1971 гг. на различных элементах сооружения (телевизионной башни) во всем 500-метровом слое даны в табл. 6.

Из табл. 6 видно, что наибольших размеров и веса отложения достигали на вертикальных элементах и поверхности антенны.

Таблица 5 Соотношение размеров и веса отложений на горизонтальных и вертикальных стержнях разного диаметра

		а		c		P	
Стержень	<i>D</i> мм	MM	%	ММ	%	г/пог. м	%
Горизонтальный	15	52	100	19	100	450	100
	35	47	90	37	190	590	131
Вертикальный	15	66	127	23	120	520	116
	35	60	115	39	205	670	150

Размеры (a) и вес (P) отложений на конструктивных элементах телевизионной башни

2 M	Дата	Вид отложения	Элемент сооружения	D см	а мм	<i>Р</i> г/пог. м
2	28 XII 1970 r.	Кристаллическая изморозь	Стержень горизон- тальный	1,5	10	_
:35	23 ХИ 1969 г.	То же	То же	1,5	25	38
l-38	24 XII 197 <b>0</b> г.	Гололед, зернистая изморозь	77	1,5	65	105
253		Кристаллическая изморозь	27	1,5	35	52
	21 XII 1970 г.	Гололед, зернистая изморозь		1,5	90	425
305	24 ХИ 1970 г.	То же	,	1,5	170	1 600
	18 I 1970 г.	,,	,,	3,5	120	1 020
	1 Ц 1970 г.	77	Стержень вертикаль-	1,5	360	4 400
85		"	То же	3,5	260	3 880
. 00		n	,,	3,5	218	3 550
			Стержень горизон- тальный	3,5	190	2 830
		n	То же	1,5	200	1 530
	14 II 1969 г.	,	Вибратор горизон- тальный	30×40× ×100	400	10 200
	ļ	, ,	Труба вертикальная	10,0	450	8 050
		,	Поверхность антенны	500	1501	27 500 <sup>2</sup>
5 <b>0</b> 3		"	Стержень горизон- тальный	1,5	250	2 430
.,00			Стержень вертикаль- ный	1,5	260	2 550
	1		То же	3,5	242	3 435
	} }	<b>"</b>	Стержень горизон- тальный	1,5	235	3 350
٠.	1		Труба вертикальная	12,0	400	12 500
		. ,,	Вибратор вертикаль- ный	80	1401	25 80 <b>0²</b>
	, ,	"	Трос вертикальный	1,5	300	5 700
		n	Стрела крана	20,0	450	12 150

<sup>&</sup>lt;sup>1</sup> Толщина отложения.
<sup>2</sup> Вес отложения в г/м².

Полная нагрузка от гололедно-изморозевых отложений на телевизионной башне в периоды интенсивного гололедообразования ориентировочно рассчитана по весу гололеда на основных элементах башни, подверженных обледенению: антенне  $(P_{\text{ант}})$ , диполях  $(P_{\text{дп}})$ , балконах  $(P_{6})$ , вспомогательном оборудовании — лебедках, метеорологических реях, подвесных люльках, тросах —  $(P_{\text{всп}})$  и др. В частности, нагрузка на балконах рассчитана по отложениям на перилах балкона и по насту на нем. Величина этой нагрузки (в кг) составила

$$P = \sum_{i=1}^{n} P_{i} = P_{\text{aht}} + P_{\text{AH}} + P_{6} + \dots \approx 30000.$$

В периоды гололедно-изморозевых отложений наблюдались стадии нарастания, устойчивого сохранения, испарения и отвалов

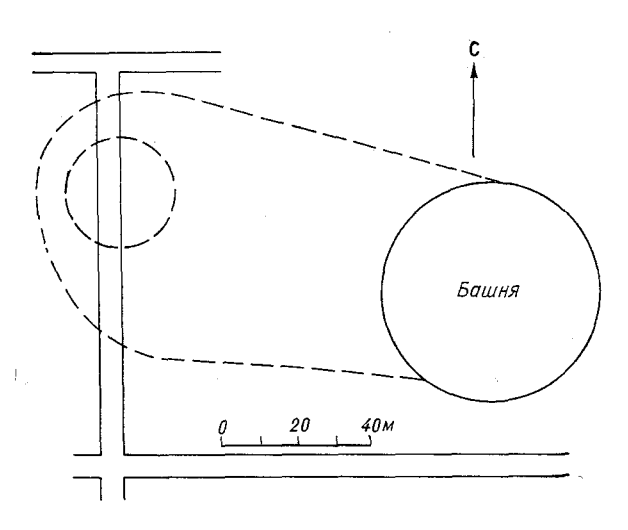


Рис. 2. Зона опадания отвалов отложений с телевизионной башни в Останкине (Москва). 24 XI

отложений. При этом имело место изменение во времени структуры, размеров и веса отложений. За время нарастания вес отложений изменялся в 5—7 раз, а размеры в 10 раз.

Отвалы отложений от элементов сооружения наблюдались в периоды устойчивого повышения температуры до значений, близких к 0°С. Чаще всего отвалы отложений с телевизионной башни в Останкине наблюдались при северо-восточных — юго-восточных ветрах и зона их опаданий по площади отмечалась с северо-западной — юго-западной сторон башни. В этой зоне в основном происходило опадание отвалов отложений в 6 случаях из 7 наблюдавшихся. В случае интенсивного опадания отвалов отложений 24/XI 1969 г. (рис. 2) площадь опадания составляла примерно

					-						
				Ко	эффицие	нт охват	a K				
Z M	0,1	0,2	0,3	0,4	0,5	0,6	0,7	0,8	0,9	1,0	n
Горизонтальный стержень											
503	l —	8	10	8	8	10	15	13	15	13	38
385		10	20	_	10	10	10	10	20	10	20
305	3	7	16	6	11	14	9	6	14	14	63
300— 500	1	8	15	4	10	11	11	10	18	12	121
253	<u> </u> 	7	19	7	19	22	8	8	3	17	30
201	7	20	20	14	14	_	7	-	6	12	15
138	3	14	40	33	_	_	3	-	3	—	30
85	15	10	35	30	10		_		_		20
2	_	—	_	-	_		_				
2-300	6	12	30	20	11	5	4	2	3	. 7	95
		l	]	İ						ŀ	
				Верти	кальны	й стер	жень				
503	-	-	-	2	10	13	13	19	24	19	38
305	- [	2	4	8	16	8	16	19	11	16	63
		•	-					-			

0,7 га, при этом зона опадания простиралась до 100-120 м от сооружения в направлении ветрового сноса. Наибольшая плотность опадания составляла 1 отвал/м². Отвалы достигали по размеру  $30\times40$  см, а по весу 3-4 кг. Отдельные отвалы меньших размеров и веса наблюдались на расстоянии до 300 м от основания мачты.

Охват отложениями предметов в нижнем 500-метровом слое атмосферы на элементах башни, оцениваемый коэффициентом охвата K [5], наблюдался в широком диапазоне значений от 0,1 до 1,0. Такой широкий диапазон значений коэффициента охвата определялся размерами и формой предмета, его ориентацией по отношению к направлению влагонесущего потока, продолжительностью и интенсивностью нарастания отложений, а также скоростью влагонесущего потока, спектром облачных капель и др.

Повторяемость значений коэффициентов охвата (в %), определенных в сезоны 1969—1971 гг. по высотам в нижнем 500-метровом слое на горизонтальных и вертикальных стержнях диаметром 15 и 35 мм, дана в табл. 7. Из табл. 7 видно, что отложения с K > 0.6 в слое z = 300—500 м отмечались в 52% случаев наблюдений, а в слое z < 300 м — лишь в 21% случаев. Чаще всего коэффициент охвата составлял 0.3—0.4 на высотах менее 300 м и 0.6—

0,7 в слое 300—500 м. Коэффициент охвата для вертикальных стер жней на высотах 305 и 503 м изменялся от 0,2 до 1,0. На высот 503 м отложения с  $K\approx$ 0,6 отмечались несколько чаще, чем на вы соте 305 м. Сравнение показывает, что K больше для вертикальных стержней (в среднем 0,74), чем для горизонтальных (в среднем 0,61). Коэффициент охвата K=0,6 отмечался на горизонтальных стержнях в 61% случаев, а на вертикальных в 79% случаев. На

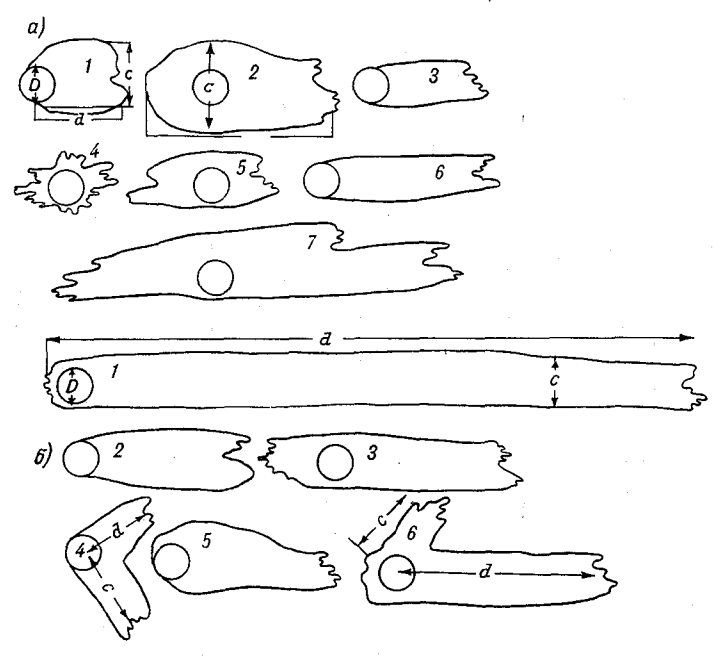


Рис. 3. Конфигурация гололедно-изморозевых отложений на стандартных горизонтальных (a) и вертикальных ( $\delta$ ) стержнях.

горизонтальных стержнях диаметром 15 и 35 мм величина  $K \geqslant 0,6$  наблюдалась соответственно в 59 и 45% случаев, а на вертикальных — в 79 и 50%. Коэффициент K с увеличением диаметра стержней уменьшается. На подвижных тросах K=1,0, на неподвижных K < 1. На диполях, стрелах кранов, трубах и близких им поформе и размерам элементах башни коэффициент охвата менялся в пределах 0,1—0,8. Для антенны  $K \approx 0,6$ . При этом с увеличением ее диаметра D коэффициент охвата уменьшался от 0,6 при D=0,9 м до 0,2—0,3 при D=5 м (рис. 3).

По измеренным значениям a и c составлен график c=f(a), изображенный на рис. 4, из которого очевидно, что соотношение c/a изменяется довольно существенно, особенно при  $a \geqslant 80 \div 100$  мм. Последнее объясняется очень малыми изменениями параметра c при указанных значениях параметра a. При начальном росте отложений ( $a \leqslant 30 \div 50$  мм) малый диаметр отложений c растет быст-

рее. На графике точки группируются около прямой с отношением  $c/a\approx 0,50$  — для горизонтальных стержней и c/a=0,60 — для вертикальных. При a>50 мм отношение c/a быстро уменьшается. В среднем c/a=0,27 для горизонтальных стержней и c/a=0,30 для вертикальных. Таким образом, величина c/a практически не зависит от ориентации стержня. Величина c/a на высотах в нижнем слое атмосферы меньше величины c/a на наземных уровнях болеечем в 2 раза — в среднем 0,75 [3]. По данным измерений 1969—1971 гг. получены следующие средние значения c/a:

Диаметр а, мм	<50	50—100	100—150	150—200	>200
Горизонтальный стержень			0,22	0,20	0,09
Вертикальный стержень	0,60	0,38	0.25	0,22	0,11

Как видно, при a < 50 мм соотношение c/a на вертикальной основе было больше, чем на горизонтальной. При  $a > 50 \div 100$  мм со-

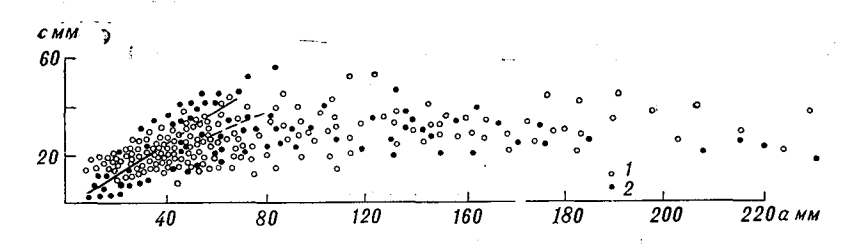


Рис. 4. Характерные размеры гололедно-изморозевых отложений большого (а) и малого (с) диаметров стандартных горизонтальных (1) и вертикальных (2) стержней.

отношение c/a выравнивается и в дальнейшем остается практически одинаковым. Отложения на горизонтальных вибраторах и вертикальных трубах вблизи вибраторов вокруг башни распределяются симметрично вдоль корпуса башни. Наибольшие отложения отмечаются на боковых сторонах башни, что, по-видимому, обусловлено увеличением скорости ветра соответственно увеличениючисла капель, оседающих на этих сторонах тела башни. Тело башни оказывает существенное влияние на особенности распределения отложений в связи с полем ветра вокруг башни. Обычно распределение отложений вокруг тела башни на высоте 503 м на расстоянии 1,5 м от нее по измерениям отложений на вертикальных стержнях имеет диаметр 0,8 м и незначительно возмущает влагонесущий поток. Размеры и направленность отложений на вертикальных стержнях вокруг башни на этом уровне одинаковы. На уровнях 305 и 385 м, где диаметр корпуса башни значительнобольше и искажения скорости направления ветра вблизи корпуса довольно велики, характер отложений (размеры и направленность) на вертикальных стержнях вокруг башни различен.

На уровне 305 м наибольшие нагрузки на вертикальных основах наблюдаются на северо-западной и юго-восточной стороне башни, что было обусловлено преобладанием ветров в гололед-

ные периоды с юго-западной составляющей.

В наблюдениях исследовалась зависимость изменения во времени гололедно-изморозевых отложений по записи гололедографа на уровне 503 м и по данным инструментальных измерений на стандартных стержнях на уровне 305 м. Была определена скорость нарастания и испарения отложений:  $v_f = (f_2 - f_1)/(t_2 - t_1)$ . Наибольшая скорость роста по данным иструментальных измерений составляла 2,2 мм/ч — по размеру и 12 г/пог.м ч — по весу. Малое число наблюдений с не менее чем двухразовыми измерениями в течение стадии нарастания не позволило выявить экстремум величины  $v_f$ . Наблюдения в Обнинске [5] показали, что в отдельных случаях могут наблюдаться значительно большие скорости роста отложений:  $v_a \approx 4.0 \div 12.8$  мм/ч,  $v_p = 120 - 222$  г/пог. м.ч.

Оценки роста отложений по данным инструментальных измерений следует рассматривать как приближенные, так как при этом методе измерений начало и конец процесса не всегда могут быть точно установлены, так же, как не во всех случаях в промежутке измерений можно различить смену процесса нарастания испаре-

нием или стабилизацию состояния.

#### ЛИТЕРАТУРА

1. Бойков В. П. О постановке наблюдений за гололедно-изморозевыми отложениями в нижнем 500-метровом слое атмосферы.—«Труды ЦВГМО». 1971, вып. 1, с. 131—138.

2. Глухов В. Г. К вопросу о распределении гололедно-изморозевых отложений в нижнем 300-метровом слое атмосферы.—«Труды ГГО», 1969, вып. 246, с. 63—71.

3. Заварина М. В., Борисенко М. М. О расчете гололедно-ветровых нагрузок на высотные сооружения.—«Труды ГГО», 1967, вып. 210, с. 39—47. 4. Клинов Ф. Я. Вода в атмосфере при низких отридательных температу-

рах. М., Изд-во АН СССР, 1960. 171 с.

5. Клинов Ф. Я. Изморозь и гололед в нижнем 300-метровом слое атмосферы. Л., Гидрометеоиздат, 1970, 66 с.

#### Қ РАСЧЕТУ ГОЛОЛЕДНЫХ НАГРУЗОҚ ІА ВЫСОТНЫЕ СООРУЖЕНИЯ ПО АЭРОКЛИМАТИЧЕСКИМ ХАРАКТЕРИСТИКАМ НИЗКОЙ ОБЛАЧНОСТИ

В нашей стране ежегодно проектируются и вводятся в эксплуаацию разного рода высотные сооружения, конструктивные параветры и стоимость которых во многом определяются нагрузками т гололеда и изморози.

Существующие нормативы по гололедным нагрузкам на выотные сооружения [11] для большей части территории СССР были приняты по данным наблюдений только в одном пункте — Обинске. [Результаты наблюдений на Обнинской высотной мачте бобщены в [1, 5] и на основании анализа повторяемости низких блаков с отрицательной температурой снижены в 2—2,2 раза для Азиатской территории СССР с нагрузками района гололедности I (по приземному районированию).]

Естественно, что такие нормативы не могут характеризовать всю герриторию СССР и с этой точки зрения не отвечают требованиям егодняшнего дня. В настоящее время необходимо знать распределение гололедных нагрузок до высот 800—1000 м в различных районах страны. Это может быть достигнуто только с помощью районирования территории СССР по гололедным нагрузкам на

зысотные сооружения.

Поскольку до сих пор соответствующие экспериментальные наблюдения проводятся только в двух близко расположенных пунктах (Обнинске и Москве), исходные данные для такого районирования можно получить только косвенным путем, т. е. с помощью аэроклиматических характеристик облаков с отрицательной температурой (продолжительность непрерывного существования и вергикальной мощности этих облаков, скорость их переноса, высота нижней границы, водность и микроструктура).

Рабочая формула для определения гололедной нагрузки (веса этложения) на круглоцилиндрические элементы высотных сооружений (тросы, стержни, трубы и т. п.) по аэроклиматическим характеристикам облачности, полученная в работе автора [1], имеет

вид

$$P = \tilde{E} \beta w u d\tau, \tag{1}$$

где P — гололедная нагрузка кг/пог.м; w — водность облаков, кг/м $^3$ ; u — скорость переноса облаков, м/с;  $\tau$  — продолжительность

их существования, с; d — диаметр троса или стержня, м; E — полный интегральный коэффициент захвата, показывающий, кака часть капельножидкой влаги, переносимой за время  $\tau$  через осе вое сечение цилиндра, оседает на его поверхности;  $\beta$  — коэффициент намерзания, показывающий, какая доля оседающей на поверх ности тела влаги превращается в лед.

Как показано в [6]

$$\tilde{E} = f[u, d, r_{cp}, n(r)],$$

$$\beta = f(u, d, t, w, \tilde{E}),$$
(2)

где n(r) — функция распределения облачных капель по размерам  $r_{
m cp}$  — средний радиус капель, t — температура воздуха.

 $\tilde{B}$  [1] были рассчитаны величины  $ilde{E}$  и eta при различных значе

ниях определяющих их параметров  $u, d, r_{ep}, t, w$ .

Так как значения водности облаков w и скорости ветра в процессе нарастания отложений не остаются постоянными, а из максимумы и минимумы кратковременны, для расчетов как сред них, так и экстремальных значений гололедных нагрузок следуе использовать средние величины w и u. Для расчета максимальных значений P, представляющих наибольший интерес для практики необходимо знать максимальную продолжительность существо вания облаков с отрицательной температурой  $(\tau_{max})$ .

И. П. Половиной были рассчитаны  $\tau_{\text{max}}$  за 6-летний период (1955—1960 гг.) для облаков St—Sc в холодное полугодие над некоторыми пунктами Украины (Киев, Львов, Харьков и Одесса) Эти данные приведены в [4, 9] и составляют 110 ч для Львова

153 ч для Киева, 186 ч для Одессы и 297 ч для Харькова.

По данным Г. Ф. Прихотько [10], обработавшего материаль по облачности для тех же пунктов за тот же период, низкая облачность с  $\tau > 30$  ч над Львовом и Киевом наблюдалась в слов 0—300 м, а над Одессой и Харьковом — в слое 0—600 м. Так как слоистые облака в холодное время года довольно редко опускают ся ниже 100 м, полученные Половиной значения  $\tau_{\rm max}$  для Львова и Киева можно, очевидно, отнести к слою 100—300 м, а для Харькова и Одессы — к слою 100—600 м.

Средние скорости переноса St—Sc над рассматриваемыми нунк тами в холодное полугодие, согласно данным Прихотько [10] близки друг к другу и составляют 6 м/с на уровне 100 м и 10 м/с на уровне 500 м. Для промежуточных высот значения u нетрудно получить путем линейной интерполяции.

Величины средней водности облаков St—Sc для рассматриваемых пунктов были взяты из работ [4, 8], в которых даны значения  $\overline{w}$  для St—Sc над различными районами по месяцам. Эти данные относятся к определенному уровню над нижней кромкой облаков. Для определения значений  $\overline{w}$  на разных высотах были ис-

пользованы средние величины вертикального градиента водности л. в St—Sc при отрицательной температуре [7, 12].

В целях удобства сравнения полученных значений гололедных загрузок с соответствующими нормативами, расчеты производичись для круглого цилиндра диаметром 10 мм и длиной 1 м.

При расчетах по формуле (1) можно принять, что  $\beta=1$ , так как используемые характеристики облачности относятся к широкому диапазону температуры (от 0 до  $-15^{\circ}$ C), а для d=10 мм, t=6-10 м/с и w=0.12-0.28 кг/м³  $\beta=1$  уже при t от -1 до  $-2^{\circ}$ C.

Тогда формула (1) примет вид

$$P_{\text{max}} = 0.01 \tilde{E} \, \overline{w} \tilde{u} \, \tau_{\text{max}}. \tag{3}$$

По этой формуле были рассчитаны максимумы гололедных нарузок для рассматриваемых пунктов на различных высотах. Результаты расчетов приведены в табл. 1, где  $b_{\rm max}$  — толщина стенки гололеда с плотностью 0,9 г/см³,  $b_{\rm H}$  — нормативная толщина стенки гололеда, возможная один раз в 5 лет, согласно СНиП.

Из таблицы видно, что расчетные величины гололедных нагрузок оказались наибольшими для Харькова и наименьшими для Львова. Это объясняется тем, что максимальная продолжительность непрерывного существования облаков в Харькове больше, чем во всех пругих рассматриваемых пунктах.

Величина нагрузки на уровне 100 м в 2,2—2,5 раза меньше, чем на высоте 300 м и в 5 раз меньше нагрузки, полученной для высоты 500 м. Такое вертикальное распределение  $P_{\max}$  объясняется увеличением водности облаков и скорости ветра с высотой.

Согласно [11], значения нормативной толщины стенки гололеда  $b_{\rm H}$ , возможные один раз в 5 лет на высотах 200, 300 и 400 м, должны быть одинаковыми во всех рассматриваемых пунктах. Между тем, как видно из табл. 1, расчетные максимумы толщины стенки за 6-летний период на высоте 200 м, например во Львове, в 1,4 раза меньше, чем в Одессе и в 1,7 раза меньше, чем в Харькове.

Из табл. 1 также видно, что полученные значения  $b_{\rm max}$  на высотах 200, 300 и 400 м во всех рассматриваемых пунктах ниже соответствующих нормативов: во Львове в среднем на 20%, в Одессе на 30%, в Киеве на 35% и в Харькове на 50%.

Это приводит к выводу, что районирование территории, например Европейской части СССР, по гололедным нагрузкам на высотные сооружения, произведенное с учетом аэроклиматических характеристик облачности, позволит, по-видимому, в какой-то мере снизить существующие нормативы для ряда пунктов, что приведет к удешевлению конструкций и экономии ценных материалов.

Результаты, полученные в настоящей работе, следует считать ориентировочными по ряду причин. Во-первых, взятые из [11] значения  $\overline{u}$  относятся не к конкретным периодам существования облаков с продолжительностью  $\tau_i$ , а ко всему 6-летнему периоду наблюдений над облачностью в холодное время года. Во-вторых.

Таблица 1
Максимальные (за период 1955—1960 гг.) значения гололедных нагрузок, рассчитанные по аэроклиматическим данным

	_										
Н м	и м/с	w·10 <sup>-3</sup> Kr/м³	Tmax 4	Р <sub>тах</sub>	b <sub>max</sub>	<i>b</i> <sub>н</sub> мм					
	Киев										
<b>10</b> 0	6	0,15	153	1,34	17	10					
200	7	0,18	153	2,08	23	35					
3 <b>0</b> 0	8	0,21	153	2,96	28	45					
			Львов	<b>;</b>							
100	6	0,15	110	0,95	14	. 20					
200	7	0,18	110	1,46	18	35					
300	8	0,21	110	2,09	23	45					
	Одесса										
100	6	0,15	186	1,60	] 19	20					
200	7	0,18	186	2,47	25	35					
300	8	0,21	186	3,53	31	45					
400	9	0,23	186	5,08	38	<b>6</b> 0					
500	10	0,25	186	6,49	43						
<b>60</b> 0	11	0,27	186	8,09	49	-					
			Харько	В							
100	6	0,12	297	2,07	23	10					
200	7	0,15	297	3,38	30	35					
300	8	0,18	297	4,93	37	45					
400	9	0,20	297	7,12	45	60					
<b>50</b> 0	10	0,22	297	9,17	52	_					
600	11	0,24	297	11,56	59	-					

высота нижней кромки облаков условно принималась равной 100 м, что является грубым приближением.

Более точные расчеты гололедных нагрузок могут быть выполнены по аэроклиматическим характеристикам всех отдельных периодов непрерывного существования облаков St, Sc, Ns, Frnb и их сочетаний в холодное время года. Располагая данными о продолжительности каждого из таких периодов, можно путем статистической экстраполяции рассчитать вероятностные значения т, что позволит определить величины гололедных нагрузок, возможные один раз в заданное число лет. Для каждого из периодов сущест-

вования облачности необходимо определить среднюю скорость переноса облаков на различных высотах, температуру в облачных слоях, а также средние значения высоты нижней границы и вертикальной мошности облаков. При этом желательно производить расчеты отдельно для St—Sc. Ns—Frnb и их сочетаний, как это следано, например, в [4].

Результаты, представленные в табл. 1. как уже указывалось выше, относятся к круглому цилиндру диаметром 10 мм. Для расчета нагрузок на круглоцилиндрические элементы других диаметров можно использовать соответствующие поправочные коэффи-

циенты, данные в [2].

#### ЛИТЕРАТУРА

1. Глухов В. Г. Метеорологические условия образования гололеда на высотных сооружениях. Л., Гидрометеоиздат, 1972. 98 с. (Труды Вып. 311.)

2. Глухов В. Г. Об интенсивности обледенения проводов разного диамет-

ра.—«Труды ГГО», 1972, вып. 303, с. 15—23. 3. Дубровина Л. С. Некоторые характеристики водности облаков над территорией СССР.—«Труды НИИАК», 1967, вып. 44, с. 39—54.

4. Заварина М. В., Михель В. М. Климатические характеристики облаков в зоне недостаточного увлажнения Европейской территории СССР. Л., Гидрометеоиздат, 1968. 117 с. (Труды ГГО. Вып. 219.)

5. Клинов Ф. Я. Изморозь и гололед в нижнем 300-метровом слое атмосферы. Л., Гидрометеоиздат, 1970. 66 с.

6. Мазин И. П. Физические основны обледенения самолетов. М., Гидрометеоиздат, 1957, 120 с.

7. Минервин В. Е., Мазин И. П., Бурковская С. Н. Некоторые новые данные о водности облаков.—«Труды ЦАО», 1958, вып. 19, с. 3—33. 8. Минервин В. Е. Сезонное и географическое распределение водности об-

лаков.—«Труды ЦАО», 1961, вып. 36, с. 27—33.

9. Половина И. П. Водозапасы слоистых и слоисто-кучевых облаков в холодное полугодие над Украиной.—«Труды УкрНИГМЙ», 1965, с. 69—79. 10. Прихотько Г. Ф. Некоторые характеристики низкой облачности на

Украине.—«Труды УкрНИГМИ», 1958, вып. 13, с. 87—97. 11. Указания по определению гололедных нагрузок. СН 318-65. М., Госстрой-

издат, 1966. 19 с.

12. Физика облаков. Под ред. А. Х. Хргиана. Л., Гидрометеоиздат, 1961. 458 с.

## К РАСЧЕТУ НОРМАТИВНОЙ СКОРОСТИ ВЕТРА ПРИ ГОЛОЛЕДЕ

В соответствии с «Правилами устройства электроустановок» (ПУЭ) скорость ветра при гололеде для воздушных линий (ВЛ) электропередачи должна приниматься равной половине максимальной расчетной скорости ветра, но не менее 15 м/с при толщине стенки гололеда 15 мм и более, т. е. выбор скорости ветра при гололеде производится по карте ветрового районирования с учетом гололедного районирования. При этом предлагается определить гололедные нагрузки на провода и тросы, используя толщину стенки гололеда, приведенную к объемному весу 0,9 г/см³.

Исследования, проведенные В. В. Бургсдорфом и Н. С. Муретовым [1] по данным о гололедных образованиях в СССР (830 случаев), а также по данным отдельных, характерных для каждого района гололедности, гидрометеорологических станций (ГМС), показали, что в районах гололедности І и ІІ скорость ветра при гололеде, равная 11—12 м/с, повторяется не чаще одного раза в 15 лет, 13—14 м/с— не чаще одного раза в 25 лет; для районов гололедности ІІІ и ІV скорость ветра при гололеде, равная 15 м/с,

бывает один раз в 12-15 лет.

Более высокие скорости ветра — около 16—20 м/с — могут наблюдаться при обледенении в районах гололедности III, IV и особом примерно один раз в 20 лет, а скорости 12—15 м/с — частично в районе гололедности II, а также в районах гололедности III и IV один раз в 12—15 лет.

Указанные исследования подтверждают рекомендации ПУЭ только в общих чертах, не определяя периода повторяемости нормативных сочетаний гололеда и ветра и не учитывая действитель-

ного объемного веса гололедно-изморозевых отложений.

В табл. 1 приведены значения нагрузок от ветра и гололеда на провода AC-35, AC-150 и ACO-240, рассчитанные по нормативам различных стран [2,3]. В таблице приняты следующие обозначения нормативных нагрузок на провода:  $P_2$  — от веса гололеда,  $P_3$  — от веса провода, покрытого гололедом,  $P_4$  — от давления ветра на провод, свободный от гололеда,  $P_5$  — от давления ветра на провод, покрытый гололедом;  $q_{\rm H}$  — нормативный скоростной напор ветра;  $q_{\rm r}$  — скоростной напор ветра, соответствующий нормативной горизонтальной нагрузке от давления ветра на провод, покрытый гололедом с нормативной толщиной стенки гололеда b;

Q — расчетный вес гололеда на 1 м провода;  $v_{ exttt{ iny m}}$  — нормативная

корость ветра; d — диаметр провода ВЛ.

Из сравнения отечественных норм с зарубежными следует, что Советском Союзе нормативные гололедные нагрузки, определяющие механический расчет проводов, незначительно отличаются от асчетных нагрузок других стран. Нормативные ветровые нагрузки, определяющие расчет промежуточных опор, в СССР ниже, чем США, Канаде, Японии, Австрии и примерно равны принятым Италии, Турции и ФРГ.

Очевидно, что на величину ветровых нагрузок при гололеде лияют размеры отложений. Во многих странах, например Велисобритании, США, Канаде и Италии, нормативная толщина стенки ололеда принята при объемном весе 0,92 г/см³, в СССР — при объемном весе 0,9 г/см³. Фактический объемный вес гололеднозморозевых отложений, как известно, может изменяться в широ-

ких пределах — от 0,05 до 0,92 г/см<sup>3</sup>.

Учитывая возможность значительных колебаний ветровых нарузок при гололеде, во многих странах, например Австрии, Турции, Франции, нагрузка от гололеда задается весом, а воздействие зетра учитывается на провода, не покрытые гололедом.

В Великобритании, Канаде и США значения скоростных напозов ветра при гололеде приняты значительно большими (39 кг/м²), нем в СССР, где, в частности, на территории Украины, норматив-

ные скоростные напоры ветра колеблются от 7 до  $14~{\rm kr/m^2}.$ 

Низкие температуры при гололеде, принимаемые в этих странах при расчете ВЛ, дают основание предполагать, что расчетные условия отнесены к изморози, и сравнительно большие значения скоростных напоров ветра приняты для компенсации уменьшения размеров отложения, приведенного к объемному весу 0,92 г/см<sup>3</sup>.

Таким образом, отечественные нормы давления ветра на провода, покрытые гололедом, как правило, являющиеся расчетными в районах с нормативной толщиной стенки гололеда 10 мм и более, ниже аналогичных нагрузок в ряде зарубежных стран.

Согласно [1], отложения изморози сопровождаются скоростями ветра меньшими, чем отложения гололеда и мокрого снега, и поэтому нормируемая скорость ветра при гололеде для изморози является завышенной, чем в основном компенсируется уменьшение от приведения к объемному весу 0,9 г/см<sup>3</sup>.

Однако многочисленные расчеты давления ветра на провода, покрытые изморозью, показывают, что нагрузка при этом часто превосходит нормативные значения, особенно для проводов малых диаметров. Очевидно, увеличение скорости ветра в этих случаях не компенсирует приведение размеров отложения изморози к объемному весу 0,9 г/см<sup>3</sup>.

Так, например, с 8 по 13 января 1964 г. гололедный пост на подстанции 35/10 кВ в Диканьке Полтавской области регистрировал на проводах отложения зернистой изморози. Ближайшая к Диканьке ГМС в г. Полтаве отметила отложение зернистой изморози при  $\alpha$ =75 мм, c=58 мм и P=208 г/м. При подсчетах по

Нагрузки на провода от гололеда и ветра по нормативам разных стран

		•			•	•		•			
	Ветров	Ветровые нагрузки, кг/м2	Kľ/M²	Гололед	Гололедные нагрузки, кг/м²	и, кг/м²	ЙоН	Нормативы, принятые в расчет	инятые в	з расчет	
Страна		$\frac{p_4}{P_5}$			$\frac{P_3}{P_2}$		q <sub>H</sub> KΓ/M²	q <sub>Γ</sub> κΓ,'Μ²	<i>b.</i> мм	Q r/M	v <sub>H</sub> M/c
	AC-35	AC-150	ACO-240	AC-35	AC-150	ACO-240					1
	0,272	0,551		0,399	0,927		27	6,75	ಬ	1	1.
	0,370	0,750	·	0,670	1,381	1	45	11,25	10		1
CCCP	0,415	0,842		1,140	1,967 2,120	ĺ	55	14,00	15		1.
	ĺ	0,695	0,807	l	0,927	1,372	40	10,00	വ	l	1
	I	0,800	0,930	]	1,381	1,891	20	12,50	0:1	1	<u>`</u> ,1
	l	0,960	$\frac{1,120}{1,200}$	1	2,707	3,347	65	10,25	50	1	1
Австрия	0,883	1,790	1,960	0,672	1,360	1,835	125	1		$p_{\lambda}$ C81	1
Великобритания	l		1	0,318	0,897	1,337	ł	39	0,6		ſ
Дания	0,705	1,410	2,920	1	J		100—120	1	1	l'.	. 1
<b>Уталия</b>	0,515	1,040	1,220	0,857	1,622	2,162	72		13		1

į ·						
-	1	1		. 1	29	. [
1	I	1			1	1.
6,3	12,7	<b>6</b> ,6	V 300 d		l	9
. 1		1				
39	l	78	44	49	· 	001
1,549	2,367 3,230	1,829	3,317	2,997 3,070	3,437	1,463 2,500
1,078	1,807	1,327	1,847	2,617	3,117	1,007
0,441	0,992	0,630	0,976	2,150 2,180	2,650	0,395
1,600	2,200	1,300	0,860	0,920 0,918	0,956	1,660 2,020
1,380	1,980	1,120	0,740	0,790	0,816	$\frac{1,430}{1,740}$
0,985	1,580	0,552	0,325	0,33 <b>0</b> 0,348	0,405	0,705
·	*					
Канада	США	Кипр	Турция	Франция	ФРГ	Япония

существующей методике эти данные соответствуют толщине при-

веденной стенки гололеда, равной 10 мм.

При этом фактическая максимальная нагрузка от давления ветра на провод марки АС-35 (принят условно), покрытый изморозью, в 2,2 раза превосходила расчетную, которая определялась без учета фактического объема веса отложения; фактическая максимальная нагрузка от веса и ветра при изморози была больше, чем рассчитанная, почти в 2 раза. Следует отметить, что рассчитанные по существующей методике нагрузки на ВЛ оказались невелики, однако в действительности в зоне подстанции 35/10 кВ, в Диканьке были зарегистрированы обрывы проводов на десяти линиях и разрушения железобетонных приставок на двух линиях.

Недостатки существующих норм вызвали ряд исследований, посвященных метолам определения голоделно-ветровых нагрузок. М. П. Меламед и Л. Б. Гарцманом [5] предложен комплексный учет нагрузок от гололеда и ветра, однако при этом расчет давления ветра производится на провод, покрытый гололедом, толщина стенки которого приведена к объемному весу 0.9 г/см3. Учитывая разницу между фактическими и приведенными размерами гололеда, можно утверждать, что, как правило, нагрузки, рассчитанные по [5], будут занижены, Г. П. Халитова [7] выполнила вероятностные расчеты гололедно-ветровых нагрузок по данным 14 ГМС Карагандинской области. Однако к недостаткам работы следует отнести, во-первых, необоснованное применение коэффициента пересчета толщины приведенной стенки гололеда, во-вторых, использование в качестве исходного материала таблиц ТМ-5 и, в-третьих, выбор в качестве расчетного малого диаметра отложения.

Последнее обстоятельство из-за неучета фактора кручения проводов приводит во всех случаях к заниженным значениям расчетных нагрузок. Представляется более оправданным рассчитывать давление ветра на диаметр отложения, приведенный к диаметру цилиндра с фактическим объемным весом. Естественно, что при этом возникает необходимость определения величины приведенного диаметра отложения на проводах ВЛ по данным ГМС.

Для этой цели по данным гололедных постов сельской сети на территории Украины был рассчитан коэффициент K для пересчета приведенных диаметров отложения с провода гололедного станка

на провода ВЛ.

Знание коэффициентов пересчета приведенных диаметров позволяет выбрать годовые максимумы горизонтальных гололедноветровых нагрузок, воздействие которых приводит к наиболее тяжелым и массовым авариям.

В соответствии с [6]

$$P_{\text{5 max}} = 1.2 Kq D_{\text{np}}, \tag{1}$$

где  $P_{5\max}$  — годовой максимум горизонтальной нагрузки от давления ветра на провод, покрытый гололедом, K — коэффициент пересчета, q — скоростной напор, соответствующий максимальной го-

ризонтальной нагрузке от давления ветра на провод, покрытый гололедом,  $D_{
m np}$  — приведенный диаметр отложения.

Для определения нагрузки Р с заданной повторяемостью было

выбрано первое предельное распределение

$$F(P) = e^{-e^{-\delta(P-q)}},\tag{2}$$

где F(P)— обеспеченность данной горизонтальной нагрузки от давления ветра на провод, покрытый гололедом;  $\delta$  и q — парамет-

ры распределения.

Обширная статистическая проверка и сравнительный анализ по данным 144 ГМС показали, что выбранное распределение наиболее удовлетворительно аппроксимирует материалы наблюдений для обеспеченности свыше 40%.

Более точно обеспеченность по заданной нагрузке, или нагрузка с заданной обеспеченностью, может быть определена по следующему выражению:

$$F(P_{\rm cp}) = \frac{1}{\sqrt{2}\sigma} \int_{-\infty}^{+\infty} F(P) e^{-\frac{(P - P_{\rm cp})^2}{2\sigma^2}} dP.$$
 (3)

Сопоставительные расчеты, произведенные по формулам (2) и (3), показали, что величина погрешности не превосходит 1%. Поэтому вполне допустимо пользоваться упрощенным методом.

Скорость ветра при гололеде с нормативной толщиной стенки

b может быть определена из выражения

$$v = \sqrt{\frac{P_{\rm H}}{0.075(d+2b)}},\tag{4}$$

где  $P_{\rm H}$  — нормативная горизонтальная нагрузка от давления ветра на провод, покрытый гололедом, с заданной повторяемостью, d — диаметр провода  ${\rm B}\Pi$ .

Получаемая из [5] скорость ветра является условной величиной, поскольку условна и нормативная толщина стенки гололеда, но их сочетание дает действительную величину давления ветра на

провод, покрытый гололедом.

Таким образом, нормативной скоростью ветра при гололеде называется условная скорость ветра, которая при воздействии на провод, покрытый гололедом с нормативной толщиной стенки, создает с принятой повторяемостью такое же давление, что и действительная скорость ветра при воздействии на провод, покрытый отложением с фактическими размерами.

При использовании нормативной скорости ветра при гололеде в расчетах давления ветра на опоры будет допускаться определенная погрешность. Однако в режиме гололедно-ветровых нагрузок момент от давления ветра на опоры, как правило, не превышает 5% суммарного момента, поэтому погрешность невелика. Так, например, если погрешность в скоростном напоре будет равна 20%, то при определении изгибающего момента на опору погрешность не превысит 1%.

Для выяснения эффективности использования описанной мето дики были рассчитаны фактические нагрузки от давления ветра на провод, покрытый гололедом, по данным 114 ГМС, расположенных на территории Украины.

Затем по данным этих же ГМС были рассчитаны нормативные значения толщины стенки гололеда, приведенные к объемному

весу 0,9 г/см<sup>3</sup>.

Для всех ГМС были получены нормативные скорости ветра при гололеде для проводов с осредненным для линии 6—10 кВ диа

метром, равным 8 мм.

Результаты расчетов показали, что скорость ветра при голо леде существенно отличается от половины максимальной скорости При этом значительное увеличение скорости ветра (иногда до 80% максимальной) наблюдается в восточной части Украинской ССР т. е. в зоне образования гололеда и сильных ветров в результате выхода так называемых южных циклонов, которые охватывают районы Крыма, Азовского моря, а также выходят на районы среднего течения Днепра и дальше на восток (Одесская, Николаевская, Херсонская, Запорожская, Донецкая, Ворошиловградская отчасти Харьковская, Днепропетровская, Кировоградская и Черкасская области).

В то же время в областях, расположенных на Волынской и Подольской возвышенностях (Винницкая, Хмельницкая, Тернопольская, Ровенская и Волынская), а также в северных районах республики (Черниговская и отчасти Киевская и Житомирская области), где синоптические процессы, обусловливающие образование больших гололедов и сильных ветров, не совпадают, скорости ветра при гололеде меньше половины максимальной, а иногда составляют только 40—45% максимальной.

Существенные отличия фактических гололедно-ветровых нагрузок от нормативных хорошо иллюстрирует наблюдавшееся различие в аварийности ВЛ в отдельных зонах.

Статистические данные свидетельствуют, что средняя годовая аварийность, связанная с разрушениями опор, для района гололедности I примерно равна 2%, в то время как для района гололедности II— только 0,5%.

Разработанная методика широко используется в практике проектирования институтом Сельэнергопроект (Украинское отделение).

### Выводы

1. Использование в расчетах скорости ветра при гололеде, равной в соответствии с ПУЭ половине максимальной скорости ветра,

в ряде случаев приводит к существенной погрешности.

2. Выбор скорости ветра при гололеде с учетом особенностей рельефа позволит рационально использовать капиталовложения при сооружении ВЛ распределительных сетей и повысит надежность эксплуатации.

#### ЛИТЕРАТУРА

l. Бургсдорф В. В., Муретов Н. С. (ред.). Расчетные климатические условия для высоковольтных линий электропередачи. Т. 1. Гололедные нагрузки воздушных линий электропередачи в СССР. М., Госэнергоиздат, · 1960. 206 c. (Труды ВНИИЭ. Вып. 10.)

2. Бухарин Е. И. и др. Обзор и сравнение зарубежных норм на проектирование конструктивной части линий электропередачи. М., Госэнерго-

издат, 1960, с. 113.

 Ланда М. Л. Особенности определения расчетных стенок гололеда при проектировании воздушных линий напряжением 6—10 кВ.— Доклады научно-технической конференции «Надежность снабжения электрической энергией потребителей, подключенных к распределительным сетям в сельской местности». Вын. 4. М., 1969, с. 49—57.

4. Левин М. С. Опыт применения различных норм для расчета электрических сетей с целью определения экономически наиболее выгодных и технически целесообразных решений. — Материалы 14 сессии рабочей группы по сельской элекрификации комитета по электроэнергии Европейской экономической комиссии ООН. Женева, 1966, с. 30—39.

Б. Меламед П. М., Гарцман Л. Б. Принципы комплексного учета метеорологических факторов при расчетах механических нагрузок на линии электропередачи. — «Науч. труды Ташкентского roc. ун-та», 1966; вып. 270, с. 24—29.

6. Руководящие указания по расчету проводов и тросов воздушных

электропередачи. М.—Л., «Энергия», 1965, 98 с.

7. Халитова Г. Н. Оценка совместного воздействия гололедной и гололедно-ветровой нагрузок на линии электропередачи. В кн.: Проблемы общей энергетики и единой энергетической системы. Вып. 3. Алма-Ата, «Наука», 1967, c. 19—25.

## ОПЫТ ИСПОЛЬЗОВАНИЯ СИСТЕМЫ КРИВЫХ ПИРСОНА ДЛЯ ОЦЕНКИ ВЕРОЯТНЫХ ВЕЛИЧИН ГОЛОЛЕДНЫХ ОТЛОЖЕНИЙ

В соответствии с теоретическими положениями и практическими данными метеорологии режим гололедных явлений (равно как и всех других) может иметь самый различный вероятностный характер в зависимости от комплекса определяющих условий. Допуская действительность этого положения, следует считать правомерным сопоставление реальных режимов с различными законами распределения, являющимися универсальной формой аппроксимации одномерных случайных величин.

Утверждение, что все многообразие режимов любого метеорологического элемента может быть выражено только вариацией параметров какого-либо одного закона, не имеет теоретического

обоснования и не может быть доказано практически.

В то же время вследствие недостаточности исходных выборок возникают большие трудности для обоснования наиболее близкой теоретической модели закона распределения. Чисто статистические методы подбора часто приводят к совпадающим результатам при использовании различных законов распределения для одних и тех же исходных выборок.

Все это означает, что нельзя отдать полного предпочтения ни одному из методов, основанных на применении того или иного закона распределения, и что должна существовать группа методов, соответствующая в теоретическом плане разным законам, а в практическом — различной степени вычислительной сложности (простейшие графические методы, графо-аналитические и аналитические с использованием ЭВМ).

Очень важной задачей является теоретическая оценка границ применимости каждого метода с обязательной объективной проверкой на фактическом материале. Практическое использование того или иного метода в этом случае будет вполне обоснованным с точки зрения существующих на данный момент научных проработок вопроса.

Исходя из таких общеметодических предпосылок, авторами была поставлена задача машинной реализации достаточно широкой системы вероятностных кривых, позволяющей использовать ее для статистической аппроксимации распределений самых различных метеорологических показателей с учетом всевозможных вариаций их режимов. В качестве такой системы использована гене-

тически единая система кривых распределений Пирсона [6], облалающая замечательным свойством, а именно: любое эмпирическое распределение может быть сопоставлено с одной из кривых этой системы.

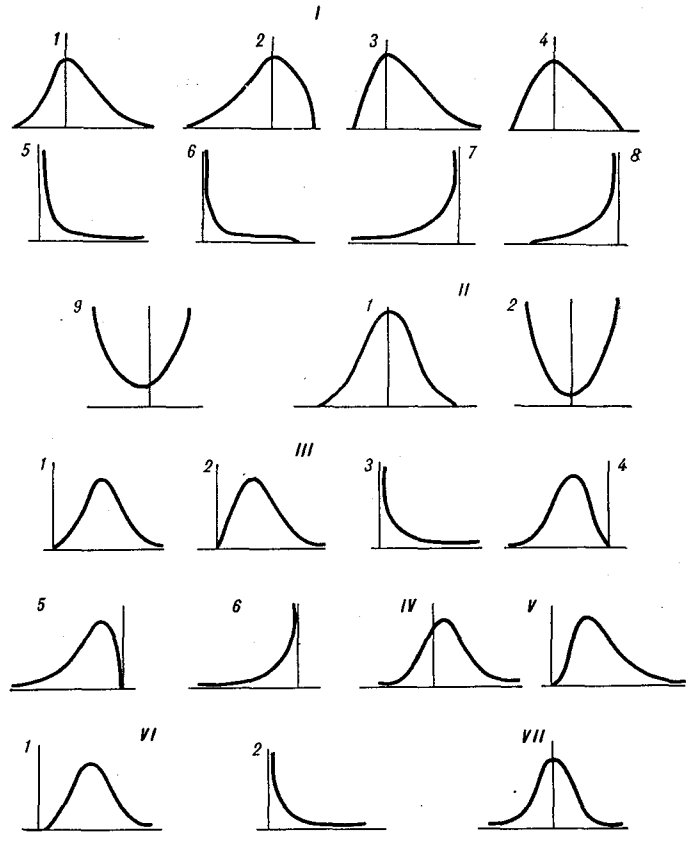


Рис. 1. Форма запрограммированных кривых Пирсона. Римские цифры - типы кривых, арабские - подтипы

Техника решения задачи подробно рассмотрена в работе [5]. Здесь остановимся только на общей схеме этого метода, которая основана на следующем:

а) система кривых Пирсона представлена семью основными типами кривых (рис. 1), включающими 23 подтипа;

б) входными данными служат сгруппированные эмпирические

распределения;

в) определение типа (подтипа) кривой, ее параметров и счет производятся ЭВМ по заданной программе с использованием метода моментов и численного интегрирования (программа составлена для двух ЭВМ — БЭСМ-2М и Минск-22);

г) после подсчета выбранного ЭВМ типа (подтипа) выдается аппроксимированное распределение в форме частот, вероятностей и обеспеченностей классов, а также все основные ста-

тистики и графики эмпирических и рассчитанных частот.

Авторами с помощью системы кривых Пирсона проанализированы результаты около 400 аппроксимаций распределений различных метеорологических элементов, в том числе: стенок гололеда (49 случаев), скорости ветра при гололеде (51 случай) и температуры воздуха при гололеде (46 случаев). В настоящей статье рассмотрены только результаты аппроксимации указанных характеристик гололедных явлений и прежде всего величин гололедных отложений.

Метеорологические станции Тянь-Шаня, данные которых были использованы в качестве исходных выборок, располагаются в самых различных физико-географических условиях горной страны (предгорная равнина, межгорные долины и котловины, узкие долины и ущелья, гребневая зона хребтов, склоны) в диапазоне высот от 0,3 до 3,6 км. Следовательно, исходные выборочные распределения соответствуют разнообразным режимам гололеда, несмотря на сравнительную территориальную ограниченность региона.

Просмотр эмпирических распределений гололедных стенок показал, что внешне они имеют экспоненциальный характер. Однако отсюда еще не следует, что ряд распределений не может иметь моды, так как о поведении кривой внутри первого — второго классов судить трудно. Учитывая естественную ограниченность нулем слева и внешний вид эмпирических распределений, можно только сказать, что характерными должны быть экспоненциальные кривые и реже модальные с резко выраженной правой метрией.

В результате счета в 47 случаях ЭВМ были реализованы экспоненциальные кривые подтипов 5 и 6 (тип. I) и  $\hat{3}$  (тип III) и в двух случаях — модальные кривые с правой асимметрией подтипа 2 (тип ПІ). Эти кривые, выбранные по значению критерия Пирсона ж, находятся в соответствии с рассмотренным общим характером эмпирических распределений. Следует также отметить, что тип III является переходным по отношению к основным типам I и VI, когда соответственно  $\varkappa \to \mp \infty$  (практически для типа III

должно быть |x| > 4).

Во всех случаях отмечалось качественно хорошее согласие эмпирических гистограмм и выравнивающих их теоретических кривых. На рис. 2 а показаны графики для реализованных кривых различных подтипов.

В качестве численного критерия согласия был использован критерий Колмогорова λ. Критерий Пирсона χ2 применить в данном случае не представлялось возможным из-за малого числа (3-5) значимых классов (по объему больших 5—10). Оказалось, что в 46 случаях с уровнем значимости не менее 0,50 расхождения можно считать случайными. Только в трех случаях уровень значимости был менее 0,30.

Все вышеизложенное наглядно подтверждает принципиальную озможность аппроксимации распределений гололедных стенок истемой кривых Пирсона. Как указывалось выше, это отнюдь не значает, что для этой цели нельзя применять другие типы кризых, а говорит лишь о том, что с точки зрения как теории статитики, так и практики эти кривые с успехом могут быть использо-

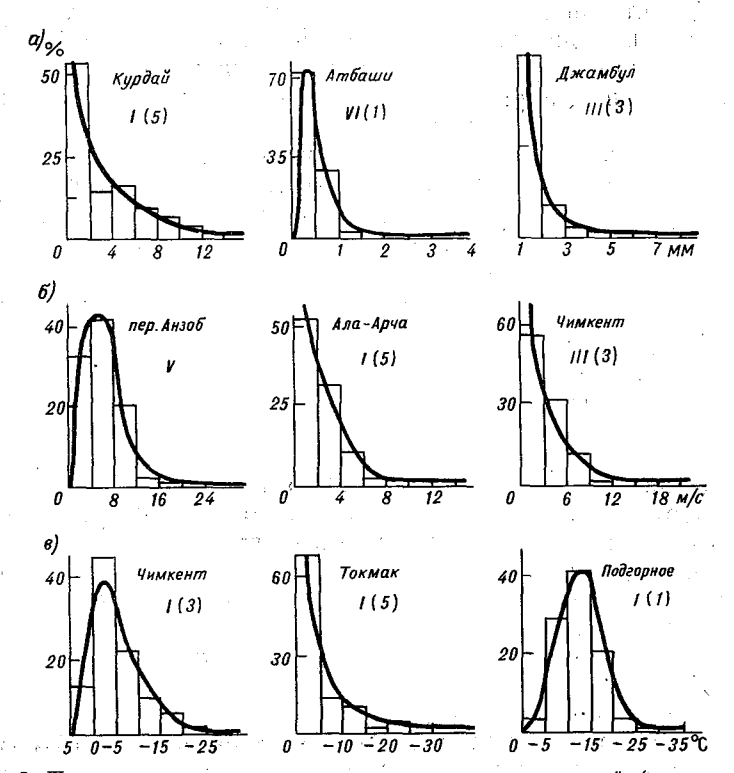


Рис. 2. Примеры выравнивания эмпирических распределений (гистограммы и теоретические кривые): a — эквивалентная стенка гололеда,  $\delta$  — скорость ветра при гололеде,  $\epsilon$  — температура воздуха при гололеде

ваны (наравне с другими) для решения данного вопроса. К преимуществам системы кривых Пирсона несомненно следует отнести ее универсальность и большую гибкость [6]. Сложность же аналитических решений полностью устраняется использованием ЭВМ.

Для расчета гололедных нагрузок на сооружения [7] необходимо иметь оценки вероятных максимальных величин гололедных отложений, соответствующих области малых вероятностей переменной (высоким обеспеченностям). С этой точки зрения очень важным является характер поведения кривой в концевой части распределения, так как именно эта часть распределения является

рабочей. Хорошее общее (совокупное для всей выборки) согла сование теоретических и эмпирических распределений еще не сви детельствует об обязательно таком же согласовании их в област

экстремалей.

К сожалению, статистическая теория не дает ответа на вопросо критериальной оценке согласования концевых частей распреде лений. Единственно, что можно сделать в данном случае, это определить приближенно, не носят ли здесь расхождения систе матического характера с учетом знака. Для этого надо сравнить теоретические и эмпирические объемы отсеченных правых частей распределений.

Были найдены величина и знаки расхождений отсеченных ча стей распределений в пределах от 5 до 30% общего объема Оказалось, что эти расхождения невелики по величине (табл. 1)

Таблица 1

## Сходимость объемов отсеченных правых частей распределений

Градации расхождений ( $u_{\rm T}$ — $n_{\rm 9}$ ):  $n_{\rm 9}$ , % . . 0—5 5—10 10—15 15—20 20—25 25—30 30—35 35—40 40—45 Число случаев, % 13 20 22 26 6 2 5 2 4

и в большинстве случаев (около 90%) не превышают 20-25% величины отсеченной части. В знаках  $\Delta n = (n_{\rm T} - n_{\rm 9})$  наблюдается близкая симметрия, что говорит о том, что кривые в концевой части распределения в среднем проходят интерполяционным образом и нет систематического завышения или занижения результатов. Это также должно следовать из случайного характера оценки параметров распределений по первым четырем эмпирическим моментам.

Следовательно, возможная практическая проверка на наблюдениях метеорологических станций Тянь-Шаня показывает, что нет каких-либо данных, характеризующих такое поведение кривых Пирсона в концевой части распределений, которое противоречило бы возможности их использования для вероятностных оценок экстремалей.

Будет весьма показательным сравнить рассчитанные значения гололедных стенок, полученные различными методами для одних и тех же исходных данных. Помимо чисто практического интереса такое сравнение может дать дополнительное, но веское обоснование возможности применения системы кривых Пирсона для вероятностных расчетов экстремалей.

На рис. 3 приведены графики, иллюстрирующие соотношения рассчитанных значений гололедных стенок q, вероятных один раз в 15 лет, полученные по системе кривых Пирсона (метод ниже обозначен  $\varkappa$ ), по графическому методу ВНИИЭ — ГГО (В — Г) [1—3], по кривой Пирсона  $\chi^2$  [4], являющейся предельным случаем кривых Пирсона типа III, у которой параметром является

стандарт переменной, и по закону Пуассона (П), где параметром служит среднее значение переменной. Уравнения перехода для периодов 10 и 15 дет можно записать в виде:

а) для 10-летней повторяемости

$$\begin{aligned} q_{x} &= 0.87 q_{B-\Gamma} - 0.1 \pm 1.0, \\ q_{z} &= 0.98 q_{x^{2}} + 0.7 \pm 1.3, \\ q_{z} &= 1.44 q_{\Pi} + 0.3 \pm 1.6, \end{aligned} \tag{1}$$

б) для 15-летней повторяемости

$$q_{x} = 0.89q_{B-\Gamma} - 0.68 \pm 1.3,$$

$$q_{x} = 0.98q_{\chi^{2}} + 0.7 \pm 1.5,$$

$$q_{z} = 1.44q_{\Pi} + 0.3 \pm 1.8.$$
(2)

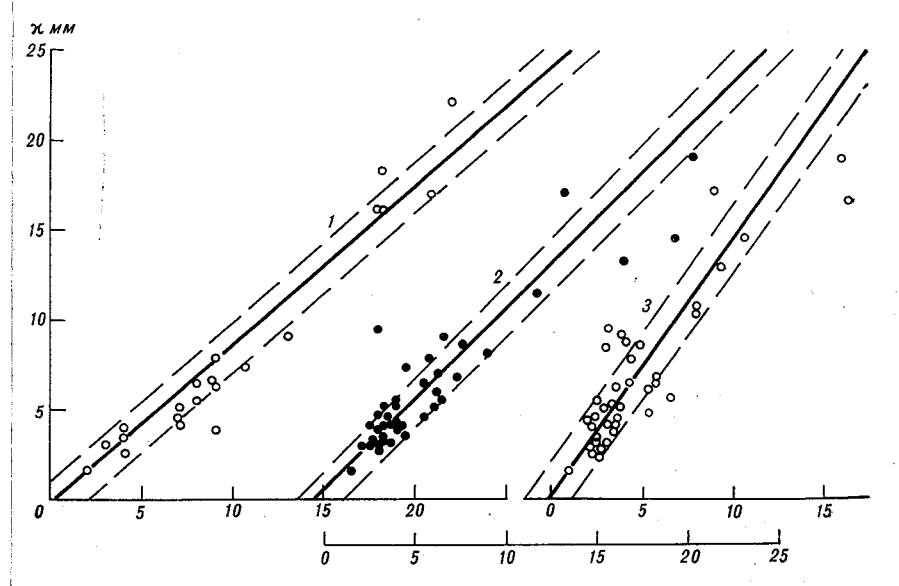


Рис. 3. Соотношения максимальных величин гололедных стенок, вероятных один раз в 15 лет, рассчитанных различными методами [пунктиром выделены диапазоны стандартов случайных уклонений от уравнений (2)]: 1- по методу внии 3- гго, 2- по методу  $2^2$ , 3- по закону Пуассона

Как и следовало ожидать, соответственные уравнения (1) и (2) в пределах изменения переменной дают численно совпадающие результаты. Во всех случаях стандартная ошибка перехода по уравнениям не превышает  $\pm 1-2$  мм, т. е находится в пределах точности исходных данных и, следовательно, их практическое использование вполне допустимо.

Из (1) и (2) следует, что если исходить из величин стенок, получаемых по методу  $\kappa$ , то по методу ВНИИЭ — ГГО эти величины выше примерно на 10-15%, по методу  $\chi^2$  — практически одина-

ковы, а по закону Пуассона— ниже на 30%. Эти цифры относятся к оценке расхождений методов, полученной для данной группы ГМС. Если соотношения (1) и (2) сохранятся для величин стенок больших 30—40 мм, то методы к, ВНИИЭ— ГГО и Пуассона при ведут к значительной разнице вероятностных оценок величин го лоледов при использовании одного и того же исходного мате риала.

Tаблица 2 Величины стенок (мм), рассчитанные по уравнениям (2)

Метод (закон)		Величин	на стенк	и по мет	оду х, м	1M
Melod (Sakon)	5 .	10	15	20	25	30
внииэ—гго	6	12	18	23	29	34
χ²	4	10	15	20	25	30
Пуассон	4	7	10	14	17	21

Однако выход за рамки диапазона исходных данных в рассматриваемом случае ничем не оправдан. К тому же величина стенок по методу ВНИИЭ — ГГО определялась графически и ошибки могут иметь субъективный характер. В диапазоне же величин гололедных отложений до  $20-25\,$  мм и даже до  $30\,$  мм систематическое (для данной группы ГМС) расхождение методов  $\varkappa(\chi^2)$  и ВНИИЭ — ГГО является практически незначимым, так как по абсолютной величине не превышает возможной точности определения вероятностных оценок величин гололедов (табл. 2).

Сравнение рассчитанных величин стенок, вероятных один раз в 15 лет, с фактическими максимумами  $q_{\rm max}$  показывает, что величины стенок, определенных по методу ВНИИЭ — ГГО, в среднем на 10% выше максимальных зарегистрированных величин:

$$\frac{\overline{q}_{B-\Gamma}}{\overline{q}_{\max}} = 1,10, \quad \frac{\overline{q}_{\chi}}{\overline{q}_{\max}} = 0,83 \tag{3}$$

(черта означает осреднение по станциям), а величины стенок, определенные по методу ж, в среднем ниже на 17%. Все это относится к периоду наблюдений, колеблющемуся для отдельных ГМС от 10 до 20 лет (т. е. в среднем 15 лет), и к величине стенок в основном не более 15 мм.

Приведенные сравнения позволяют считать рассмотренные методы критериальными [6]. В табл. 3 даны результаты сравнений для различных гипотез, полученные с использованием критерия Вилькоксона, позволяющего оценить, существенны или не существенны в целом расхождения данных различных методов между собой и относительно фактических максимумов. Последнее воз-

иожно потому, что период выборок в среднем составил 10—15 лет. Вероятнее всего предположить, что зарегистрированные максииумы не очень далеки от их характерных средних (т. е. вероятных) для этого периода.

Как видно из табл. 3, данные методов и, х2 и ВНИИЭ — ГГО незначимо различаются между собой и с фактическими максимумами. Причем, с учетом всего вышеизложенного, можно предположить, что метод ВНИИЭ — ГГО, по крайней мере в нашем случае, дал некоторое завышение результатов.

Таблица 3 Оценка (по критерию Вилькоксона) значимости расхождений (на уровне значимости 0.05) рассчитанных величин стенок  $q_p$ и фактических максимумов стенок  $q_{\max}$ 

	$q_{\mathrm{p}}$	в 10 ле	r	(	р в 15	лет (. ММК)
Гипотеза (метод)	доверительный интервал	крите- рий	расхождение	доверительный интервал	крите- рий	расхождение
и —ВНИИЭ	955—1530	1451	Незначимо	527—1013	745	Незначимо
<b>ν</b> —χ²	1185—1840	1201	19	1185—1840	1258	#
<i>х</i> —Пуассон	1185—1840	800	Значимо	1185—1840	731	Значимо
$x-q_{\max}$	1185—1840	1803	Незначимо	1185—1840	1654	Незначимо
ВНИИЭ— $q_{ m max}$	955—1520	1427	,,	527—1013	759	,,
Пуассон $-q_{ exttt{max}}$	1185—1840	2158	Значимо	1185—1840	2316	Значимо
	I	Į.	I	1	l	U

Что же касается закона Пуассона, то он привел к значимому занижению оценок экстремалей гололедов, что видно как по отношению к фактическим максимумам, так и к данным других методов. Причиной является то, что единственным параметром распределения служит среднее значение переменной, а дисперсия уже не учитывается.

Из сравнительного анализа можно также сделать вывод, что использование 3-4 параметрических кривых и не дало в данном случае ощутимых результатов по сравнению с однопараметрической кривой  $\chi^2$ , параметр которой учитывает размах распределения. Следовательно, для ограниченных выборок, особенно в слабогололедных районах, использование этой простой экспоненциальной кривой будет в большинстве случаев вполне достаточным. Этот вывод был получен также ранее [4] при разработке карты гололедного районирования Тянь-Шаня.

Является весьма желательным надежно оценить характерные значения асимметрии и эксцесса распределений величин гололедов в зависимости от физико-географических условий и каких-либо режимных показателей по данным наблюдений длиннорядных ГМС в районах различной степени гололедности. На этой основе можно, используя 3—4 параметрические кривые Пирсона, разра ботать объективные рекомендации по выбору типовых видов рас пределений для выравнивания гололедных стенок. Причем, види мо, будет целесообразным для коротких рядов (до 10—15 лет) за давать не только вид этих типовых кривых, но и характерные значения асимметрии и эксцесса, определяя по выборкам лишь первые два момента. В этом случае, на наш взгляд, использование системы кривых Пирсона для коротких рядов может быть наиболее эффективным.

Так же как и для гололедных стенок, было произведено выравнивание и сделан соответствующий анализ распределений скорости ветра и температуры воздуха при гололеде.

Оказалось, что для скорости ветра примерно в 70% случаев ЭВМ были реализованы экспоненциальные кривые подтипов 5 и 6 (тип I) и 3 (тип III) и в 30% случаев — модальные кривые с правой асимметрией подтипов 1 и 3 (тип I) и 2 (тип III), что находится в хорошем соответствии с внешним видом эмпирических гистограмм. Оценка по критерию  $\lambda$  показала, что кроме двух выборок гипотеза случайности расхождений полученных теоретических и эмпирических распределений может быть принята на уровне значимости более 0,30. Графические примеры выравнивания показаны на рис. 2  $\delta$ .

Для температуры воздуха при гололеде примерно в 70% случаев ЭВМ были реализованы модальные кривые (с правой и левой асимметрией) в основном подтипов I-4 (тип I) и в 20% случаев — экспоненциальные кривые подтипов 5 и 6 (тип I). Четыре распределения определялись по антимодальному подтипу 9 (тип. I), который вряд ли может соответствовать общему характеру исходных распределений. Специальная проверка показала, что в данном случае имеет место смешение нескольких распределений температур, соответствующих различным физическим условиям образования разных видов гололедных отложений.

Для обеих групп модальных и экспоненциальных распределений можно считать (на уровне значимости критерия  $\lambda$  более 0,30) случайными расхождения теоретических и эмпирических распределений. Графические примеры показаны на рис. 2  $\theta$ .

Таким образом, проведенные исследования позволяют сделать следующие выводы.

- 1. Ограниченность исходных данных по гололеду, как правило, не позволяет на сегодняшний день достаточно надежно оценить генеральные законы распределений, которые во многих своих чертах остаются неизвестными. Поэтому использование для аппроксимации различных теоретических законов не является противоречивым, если только методы подбора кривых отвечают теории распределений и находятся в соответствии с особенностями режима элемента.
- 2. Система кривых Пирсона, обладающая свойством универсальности, может с успехом применяться для аппроксимации рас-

самых различных метеорологических показателей пределений в том числе, как показала проверка на данных метеорологитеской сети Тянь-Шаня, для вероятностной оценки экстремалей ололедов. Использование этой системы является особенно целесообразным для длиннорядных ГМС.

Выполненная авторами машинная реализация системы кривых Пирсона (для БЭСМ-2М и Минск-22) снимает все трудности вынислительного характера, связанные со сложностью решения исходных уравнений. Для приближенных вычислений возможно при-

менение номографических методов.

3. Представляется целесообразным определение по данным длиннорядных ГМС (25 лет и более) характерных величин асимметрии и эксцесса и на основе этого ряда — типовых распределений Пирсона для аппроксимации гололедных стенок. При этом для малых периодов наблюдений следует рассмотреть вопрос о целесообразности задания не только определенных типовых распределений, но и их параметров, связанных с моментами высоких (3 и 4) степеней.

4. При подборе законов распределений только по выборочным данным в случае коротких (не более 10—15 лет) рядов наблюдений и особенно в малогололедных районах обычно имеет полный смысл использование простейших законов экспоненциального характера (например, кривой  $\chi^2$ , параметры которых выражаются

через дисперсию выборки.

5. Сравнение рассчитанных различными методами экстремальных значений величины стенок гололеда для метеорологической сети Тянь-Шаня (в диапазоне эквивалентных стенок до 20-25 мм) показало, что метод ВНИИЭ — ГГО дал значения в среднем на 10-15% выше, чем 3-4 параметрические кривые  $\varkappa$  и однопараметрическая кривая  $\chi^2$ . Однако в абсолютных значениях это не превышает 3-4 мм и является незначимым как со статистической, так и с практической точки зрения. Сравнение рассчитанных и фактических максимумов свидетельствует о том, что метод ВНИИЭ — ГГО, видимо, дает несколько завышенные резуль-

Метод Пуассона приводит к занижению вероятностных оценок стенок гололедов и его использование пока не целесообразно.

#### ЛИТЕРАТУРА

1. Бургсдорф В. В., Муретов Н. С. (ред.). Расчетные климатические условия для высоковольтных линий электропередачи. Т. 1. Гололедные нагрузки воздушных линий электропередачи в СССР. М., Госэнергоиздат, 1960. 206 с. (Труды ВНИИЭ. Вып. 10.) 2. Гумбель Э. Статистика экстремальных значений. М., «Мир», 1965.

3. Заварина М. В., Швер Ц. А. Результаты климатических разработок применительно к гололедному районированию территории СССР.—«Труды ГГО», 1966, вып. 200, с. 16—33.

4. Подрезов О. А., Першин И. И. Расчетные схемы для оценки ветро вых и гололедных нагрузок воздушных линий электропередачи Тяны Шаня. В кн.: Изучение и комплексное использование энергетических ре

сурсов Киргизии. Фрунзе, «Илим», 1971.

5. Подрезов О. А., Федорова С. А. Реализация системы кривых Пирсона на ЭВМ для решения прикладных задач при проектировании ЛЭП.— Материалы IV научно-технического и координационного совещания по высокогорным электропередачам. Фрунзе, 1968.

6. Романовский В. И. Математическая статистика. Кн. 1 и 2. Ташкент 1961, 63 c.

7. Указания по определению гололедных нагрузок, СН 318-65. М., Госстройиздат. 1966. 19 с.

# УЧЕТ ВЛИЯНИЯ РЕЛЬЕФА МЕСТНОСТИ ПРИ РАЙОНИРОВАНИИ ТЕРРИТОРИИ ПО ГОЛОЛЕДНЫМ НАГРУЗКАМ

Существующая карта гололедных районов, разработанная Всерюзным научно-исследовательским институтом электроэнергетии (ВНИИЭ) и Главной Геофизической обсерваторией (ГГО), поещенная в документах Госстроя СССР и Минэнерго СССР 3, 14], выполнена в масштабе 1:7500000. Такой масштаб требуг в определенной степени обобщения материала, что затрудняет спользование карты при конкретном проектировании. Поэтому еобходимо для отдельных районов страны создавать гололедные

арты более крупного масштаба.

Такие карты (масштаб 1:500000) начали разрабатываться о ВНИИЭ. При составлении подобных карт необходимо подробое изучение физико-географических условий района, синоптиеских и метеорологических условий гололедно-изморозевых обраований, изучение опыта эксплуатации высоковольтных линий лектропередачи и линий связи, использование методики обработи данных наблюдений гидрометеорологических станций (ГМС), читывающей закрытость гололедного станка, пересчет нагрузок гололедного станка на провода воздушных линий, использование вероятностно-статистического метода обработки данных наблюдений ГМС [2, 3, 6, 12]. При составлении крупномасштабных ололедных карт необходимо правильно учитывать влияние физико-географических особенностей местности и, прежде всего, рельфа на распределение гололедно-изморозевых образований по территории.

Рельеф оказывает существенное, а иногда и решающее влияние за процесс гололедообразования. Влияние рельефа на гололедноизморозевые отложения складывается из влияния его морфометринеских показателей: абсолютной и относительной высоты местности, формы рельефа и экспозиции склонов по отношению к го-

лоледонесущему потоку.

Изменение характера рельефа влияет на изменение комплекса метеорологических элементов, определяющих гололедообразование (температура воздуха, скорость ветра, осадки, туманы, водность облаков и туманов) и зависящих от высоты местности, формы рельефа и экспозиции склонов. Эта зависимость состоит в следующем.

1. С увеличением высоты местности наблюдается возрастани повторяемости отрицательных температур и количества пер охлажденных осадков, необходимых для образования гололед

и изморози.

2. Возрастание количества осадков с увеличением высоты мес ности связано с общим упорядочением подъема воздушных мас и увеличением шероховатости подстилающей поверхности. Бол шое влияние на изменение количества осадков оказывает экспоз ция склона по отношению к преобладающему направлению ветр за период выпадения осадков.

3. С увеличением высоты местности происходит возрастани

скорости ветра, особенно на наветренных склонах.

4. Увеличение высоты местности оказывает значительное влиние на возрастание повторяемости туманов, происходящее за сче вынужденного подъема воздушных масс вдоль поверхности возвышенности и их охлаждения, что способствует конденсации воду ного пара, а также за счет снижения уровня облаков нижнег яруса, которые часто покрывают возвышенности и принимаюто наблюдателями за туман. И облака, и туманы имеют значитель ную водность.

Влиянию рельефа на гололедно-изморозевые образования песвящены работы А. Г. Балабуева [1], В. В. Бургсдорф и Н. С. Муретова [3], В. Е. Бучинского [4], А. В. Руднево

[11, 13].

А. Н. Раевский [9, 10] показал зависимость числа дней с го лоледом и размеров гололеда от рельефа на материале наблюде ний по территории Украины. Им дана классификация типов рельефа (восемь типов рельефа), учитывающая относительную высот местности и степень ее защищенности окружающими возвышен ностями от гололедонесущего потока.

Однако, как показали некоторые исследования [5], влияни рельефа на интенсивность гололедообразования различно для раз

ных районов и разных атмосферных процессов.

Поэтому при построении крупномасштабных региональных кар гололедных нагрузок во ВНИИЭ учитывали зависимость повто ряемости и интенсивности гололедообразования от характера рель ефа местности; при этом использовали классификацию типов рель ефа, предложенную А. Н. Раевским, несколько видоизменив ее за счет расширения понятия «тип рельефа» и сделав, таким образом классификацию применимой для любой территории, за исключени ем горных районов.

Были предложены следующие шесть типов рельефа.

 Долины рек, закрытые от гололедонесущего потока возвы шенностями.

П. Долины рек, протекающих в районах возвышенностей, от крытые для гололедонесущего потока.

ПІ. Плоская или пересеченная небольшими оврагами и балками местность с относительными превышениями не более 100 м (равнинный тип рельефа).

IV. Подветренные для гололедонесущего потока склоны возвыенностей.

V. Наветренные для гололедонесущего потока склоны возвыенностей, наветренные крутые берега крупных рек.

VI. Центральные части возвышенностей.

Выделение указанных типов рельефа на рассматриваемой тертории производится путем построения вспомогательной схемы спределения склонов по экспозициям по способу, изложенному [7].

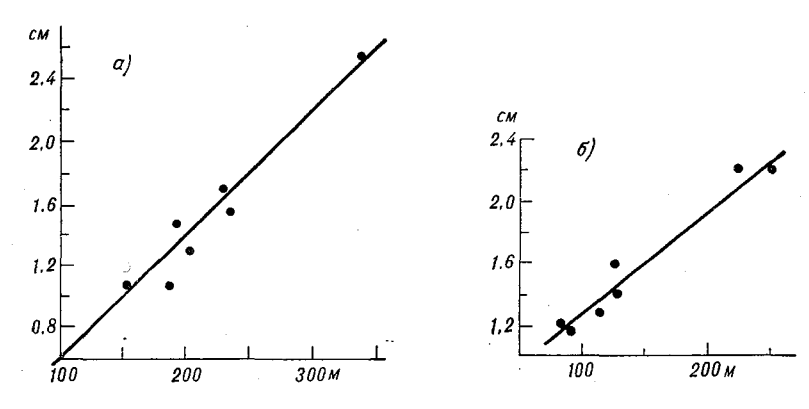


Рис. 1. Зависимость толщины стенки гололеда (см) от абсолютной высоты местности над уровнем моря (м): a- для типа рельефа IV (подветренные склоны Бугульминско-Белебеевской возвышенности), b- для типа рельефа V (наветренные склоны) Бугульминско-Белебеевской возвышенности)

После выделения на исследуемой территории типов рельефа ледует проанализировать влияние абсолютных отметок местности а гололедные нагрузки для каждого типа рельефа. Для этого руппируются ГМС, относящиеся к одному типу рельефа, и стротся графики зависимости толщины стенки гололеда с повторямостью один раз в десять лет от абсолютной высоты местности по анным ГМС. Когда имеется достаточный ряд наблюдений за голоедно-изморозевыми отложениями на линиях электропередачи, озволяющих применить обработку вероятностным способом, их ледует учитывать для характеристики влияния абсолютной отмети местности на гололедную нагрузку по типам рельефа (в том лучае, если на линиях электропередачи в течение ряда лет, не ненее 5, в одном и том же месте производятся замеры гололедно-зморозевых отложений).

В качестве примера приводятся графики зависимости толщины тенки гололеда от абсолютной высоты местности (рис. 1).

Полученные зависимости гололедной нагрузки от рельефа местости являются основой для построения карты гололедных нарузок.

Карта нормативных гололедных районов выполняется на ги сометрической основе масштаба 1:500 000 с использованием пол ченных зависимостей толщины стенки гололеда от абсолютной в соты местности для каждого типа рельефа. Границы районов пр водятся по изогипсам.

По этому методу в настоящее время региональные карты но мативных гололедных районов разработаны для многих областе и республик СССР.

#### ЛИТЕРАТУРА

1. Балабуев А. Г. Гололедно-изморозевые явления в Закавказье.—«Труд ГГО», 1947, вып. 3(65), с. 42—52.

2. Бассарская Т. А., Голикова Т. Е. Гололедные нагрузки воздушны линий электропередачи в Курской области. М., «Энергия», 1965. (Труд

ВНИИЭ. Вып. 21.) 3. Бургсдорф В. В., Муретов Н. С. (ред.). Расчетные климатически условия для высоковольтных линий электропередачи, Т. 1. Гололедни нагрузки воздупных линий электропередачи в СССР. М., Госэнергоизда 1960. 206 с. (Труды ВНИИЭ. Вып. 10.)

4. Бучинский В. Е. Гололед и борьба с ним. Л., Гидрометеоиздат, 196

192 c.

- 5. Волеваха Н. М. О влиянии орографии на гололедные отложения.—«Тр ды УкрНИГМИ», 1958, вып. 13, с. 82—87.
- 6. Заварина М. В., Швер Ц. А. Результаты климатических разработе применительно к гололедному районированию территории СССР.—«Тр ды ГГО», 1966, вып. 200, с. 16—33.
- 7. Методические указания по производству микроклиматических обследовани в период изысканий. Л., Гидрометеоиздат, 1969. 68 с.

8. Правила устройств электроустановок. М., «Энергия», 1965. 70 с.

- 9. Раевский А. Н. К вопросу о повторяемости гололеда.—«Метеорологи и гидрология», 1953, № 1, с. 28—32.
- ледных отложений.—«Труды ГГО», 1961, вып. 122, с. 45—52.
- 11. Руднева А. В. К вопросу о зависимости величины отложения льда н проводах от рельефа.—«Труды ГГО», 1960, вып. 88, с. 36—42.
- 12. Руднева А. В. Гололед и обледенение проводов на территории СССІ Л., Гидрометеоиздат, 1961. 176 с.
- 13. Руднева А. В., Бассарская Т. А. Учет рельефа местности при ра чете гололедных нагрузок.—«Труды ГГО», 1967, вып. 210, с. 47—57.
- 14. Указания по определению гололедных нагрузок. СН 318-65. М., Госстро издат, 1966. 19 с.

# ОБ УЧЕТЕ РЕЛЬЕФА ПРИ ОПРЕДЕЛЕНИИ ГОЛОЛЕДНО-ВЕТРОВЫХ НАГРУЗОК НА ВОЗДУШНЫЕ ЛИНИИ ЭЛЕКТРОПЕРЕДАЧИ

При определении гололедных и ветровых нагрузок при голоеде на воздушные линии (ВЛ) электропередачи приходится ретать задачу распространения данных гидрометеорологических танций (ГМС) на окружающую территорию.

Особенности рельефа вносят определенные различия в распрееление большинства метеорологических элементов, а также обусовливают неравномерное распределение гололеда по терри-

ории.

Известно, что гололедно ветровые нагрузки зависят не только т высоты местности над уровнем моря, но и от формы рельефа 1 3 81

Принцип учета влияния высоты на величину гололедного отлокения (высотный принцип) был предложен В. В. Бургсдорфом

1] и нашел широкое практическое применение.

Сущность высотного принципа заключается в определении верикальных градиентов толщины стенки гололеда по данным ГМС, асположенных на различных высотах, и использовании этих грациентов при экстраполяции данных ГМС на территории, неосветиентов при экстраполяции данных ГМС на территории,

ценной непосредственными наблюдениями.

А. Н. Раевский показал [8], что для территории Украинской ССР, большая часть которой характеризуется равнинным рельефом с абсолютными высотами до 300—470 м, корреляционная зависимость между величиной отложений льда на проводах и абсолютной высотой прослеживается слабо. Это можно объяснить тем, что влияние местных факторов, связанных с формой рельефа и циркуляцией атмосферы, в ряде случаев оказывается более существенным, чем влияние высоты.

В качестве характерного примера, показывающего зависимость величины гололедного отложения от формы рельефа, могут быть рассмотрены результаты наблюдений на ст. Комиссаровка Дне-

пропетровской области.

До 1966 г. ст. Комиссаровка находилась в районе средней части пологого (крутизна 1—3°) северо-западного склона небольшой возвышенности с абсолютной отметкой 106 м. За период наблюдений с 1951 по 1965 г. средняя из годовых максимумов толщина стенки гололеда составила 4,1 мм.

В 1966 г. ст. Комиссаровка была перенесена в район верхночасти юго-восточного склона (крутизна 3—10°) той же возвыше ности на расстояние 1 км от прежнего местоположения (абсолю ная высота 118 м). При этом за период наблюдений до 1972 включительно средняя из годовых максимумов толщина стенгололеда составила 7,1 мм.

Защищенность метеорологической площадки близлежащим объектами со стороны гололедонесущего потока в обоих случа незначительна. При этом в первом случае ГМС находилась в подветренном склоне по отношению к преимущественному напралению гололедонесущего потока, во втором случае— на наверенном.

Очевидно, что основной причиной, вызвавшей столь значительное различие в величине гололедно-изморозевых отложений, является не разница в абсолютных отметках метеорологических площадок, а различные формы рельефа, создавшие условия для образования микроклиматических особенностей.

Для выявления степени влияния рельефа на аварийность селеских ВЛ были рассмотрены случаи аварий от гололеда на сетя Днепросельэнерго за периоды с 1962 по 1965 г. и с 1967 по 1969 г.

Общая протяженность аварийных участков составила 344 км Из них 220 км ВЛ (64%) располагались в условиях, способствующих увеличению скорости ветра с учетом направления господст вующих ветров при гололеде (юго-восточные склоны холмов, плоские водораздельные поверхности и т. д.); 104 км ВЛ (30%) проходили в менее благоприятных для образования гололеда условия: (подветренные склоны, защищенные долины); 20 км ВЛ (6% проходили в условиях, характерных для обеих групп. Большинство аварийных участков было ориентировано нормально к направлению гололедонесущего потока.

Даже из приведенных цифр видно, как велико влияние рельефа на аварийность ВЛ от воздействия гололеда и давления ветра на провод при гололеде.

При этом необходимо иметь в виду, что часто очагом аварии являются сравнительно небольшие участки ВЛ, находящиеся в наиболее благоприятных для образования гололеда условиях Затем из-за непроскальзывания проводов в месте крепления к штыревым изоляторам происходит распространение аварии на смежные участки ВЛ.

Задача распространения данных ГМС на окружающую территорию может быть решена только в случае, если имеется четкое представление о местоположении ГМС и ВЛ и изучены закономерности воздействия различных форм рельефа на изменение гололедно-ветровых нагрузок.

Для анализа влияния рельефа на величину гололедно-изморозевого отложения важное значение приобретает выявление форм рельефа, способствующих образованию микроклиматических особенностей. Количественные характеристики рельефа могут быть получес с помощью морфометрических показателей. Методика вычислеля морфометрических характеристик и их картирование разратаны в [6, 9, 10] и нашли широкое применение в работах ГГО, священных микроклимату и, в частности, учету режима вет-

Учитывая решающее влияние скорости ветра на величину отжения, комплекс морфометрических показателей, необходимых им микроклиматической характеристики территории по гололеднотровым нагрузкам, можно принять таким же, как и для ветра. анный комплекс включает:

а) углы наклона местности;

б) циркуляционную экспозицию склонов;

в) глубину расчленения рельефа — относительные превышения. При этом составляются карты: углов наклона местности — поетодике [10], циркуляционной экспозиции склонов — по методие [6] и относительных превышений — по методике [9].

В условиях пересеченного рельефа всегда имеет место деформа-ия воздушного потока, которая наиболее резко выражена у по-

ерхности земли и затухает с высотой.

Динамическое воздействие рельефа на ветер, приводящее к изенениям скорости и направления ветра, проявляется в его усилени в местах сближения линий тока и в ослаблении в местах асхождения. Усиление ветра наблюдается на вершинах открытых озвышенностей, холмов, на наветренных склонах и т. д. Ослаблене ветра наблюдается в аэродинамической тени препятствий: на одветренных склонах и в отрицательных формах рельефа.

Обобщенные характеристики ветрового режима в различных ормах рельефа получены в Главной геофизической обсерватории

м. А. И. Воейкова под руководством И. А. Гольцберг [5].

При этом для характеристики изменения скорости воздушного отока в различных условиях рельефа использован коэффициент, оторый представляет собой отношение скорости ветра в данном тесте к скорости на открытом ровном месте. Открытым ровным метом в условиях холмистого рельефа считается наиболее выровненый участок в понижении рельефа: подножие склона, дно долины, низина.

Учитывая, что изменение скорости ветра в различных условиях лестности приводит к изменению как веса гололеда, так и его разлеров, формулы для расчета нормативной толщины стенки гологеда, приведенной к объемному весу 0,9 г/см<sup>3</sup>, и скорости ветра гри гололеде на основании зависимостей, приведенных в [1] и [4], гримут вид:

$$b_{\rm BJ} = -\frac{d}{2} + \sqrt{\frac{d^2}{4} + \frac{\delta_{\rm 1BJ}}{\delta_{\rm 1MC}}} (d + b_{\rm MC}),$$
 (1)

$$v_{\rm BR} = \sqrt{\frac{\delta_{2\,\rm BR}\,P_{\rm MC}\cdot 10^3}{0.075\,\delta_{2\rm MC}(d+2b_{\rm BR})}},\tag{2}$$

где d — диаметр провода  $B\Pi$ , км;  $b_{\rm BH}$  — толщина стенки гололед мм, приведенной к объемному весу 0.9 г/см<sup>3</sup> в условиях  $B\Pi$ ;  $P_{\rm MC}$  нагрузка от давления ветра на провод, покрытый гололедом, в уловиях  $\Gamma$ MC, кг/м;  $v_{\rm BH}$  — скорость ветра при гололеде в услови  $B\Pi$ , м/с;  $\delta_{\rm 1BH}$ ,  $\delta_{\rm 2BH}$ ,  $\delta_{\rm 1MC}$ ,  $\delta_{\rm 2MC}$  — коэффициенты, характеризующ зависимость веса и размеров гололедно-изморозевых отложено изменения скорости ветра в различных условиях рельефа по о ношению к открытому ровному месту.

Индексы «1» и «2» относятся соответственно к весу отложен (толщине стенки гололеда) и скорости ветра при гололеде, а и

дексы «вл» и «мс»— к местоположению ВЛ и ГМС.

Коэффициенты  $\delta_1$  и  $\delta_2$  в уравнениях (1) и (2) можно предст вить в виде

$$\delta_1 = k^{n_1},$$

$$\delta_2 = k^{2+n_2},$$
(

где k — отношение скорости ветра на рассматриваемой территори к скорости ветра на открытом ровном месте;  $n_1$  — степень завис мости изменения веса гололеда от изменения скорости ветра;  $n_2$ -степень зависимости изменения приведенного диаметра (с деготвительным удельным весом) от изменения скорости ветра.

Параметры  $n_1$  и  $n_2$  определяются эмпирически.

Для оценки величин  $n_1$  и  $n_2$  были рассмотрены данные о голо ледно-изморозевых отложениях и ветре 17 пар ГМС, расположеных на расстоянии не более 100 км друг от друга в однородно воздушной массе.

Отбор ГМС производился на основании анализа синоптического материала за 15-летний период. Результаты расчетов приведены в табл. 1.

Величины скоростей ветра на высоте 2 м, приведенные в табл. для равновесного состояния атмосферы (пасмурная ветренная по года) рассчитывались по логарифмической формуле

$$u_n = u_1 \frac{\lg z_n - \lg z_0}{\lg z_1 - \lg z_0}, \tag{5}$$

тде  $u_n$  — скорость ветра на высоте  $z_n$  (в нашем случае  $z_n = 2$  м)  $u_1$  — известная скорость ветра на высоте  $z_1$  (в нашем случае  $z_1$  — это высота флюгера);  $z_0$  — параметр шероховатости подстилающей поверхности.

Средние значения  $n_1$  и  $n_2$  равны соответственно 1,68 и 0,66 среднеквадратичные отклонения  $\sigma_1 = 1,18$  и  $\sigma_2 = 0,35$ . Сравнительно большие значения величин среднеквадратичных отклонений объяс няются тем, что в реальных условиях, особенно на ГМС, распо ложенных на достаточном удалении друг от друга, появляются не однородные факторы (разница во влагосодержании и температуре воздуха), также влияющие на размеры и вес гололедно-изморозе

Tаблица 1 Попарное сопоставление данных метеорологических станций

u Vē	Станция	Абсолют- ная отмет-	на высо		Вес гололе-		
11	O-tallign.	ка, м	флюге- ра	2 м	да на стан- ке, г	<i>n</i> <sub>1</sub>	n <sub>2</sub>
1	Киев	183	9,0	6,7	200	1,78	0,9
.	Немешаево	161	6,8	3,8	72	1,70	0,3
2	Яготин	125	3,8	2,0	72	2,0	   0,5
	Чернобыль	123	2,5	1,2	32	2,0	0,0
3:	Дебальцево	334	5,0	3,5	80	0,7	0,5
	Донецк	234	2,0	1,3	40	0,1	0,0
4	Чернобыль	123	2,8	1,8	32	1,71	0,5
	Старченко	151	2,2	1,2	16	1,/1	0,0
5	Липовец	298	7,6	4,8	56	4.49	1,3
	Гайсин	210	6.9	3,6	16	4,49	1,
6	Воронки	92	11,0	8,7	176	0,42	0,7
	Нижнегорск	20	7,0	5,8	144	0,42	,
7	Воронки	92	10,1	8,3	232	3,24	0,5
	Хлопковое	. 83	6,4	5,4	32	0,24	0,6
8.	Воронки	92	10,1	8,3	232	2,52	1 1
	Джанкой	6	4,5	3,8	40	2,02	[ 1,07 ]
9	Коростень	186	2,3	1,9	72	2,4	0,5
	Олевск	181	1,4	1,2	24	2,4	0,
0	Волноваха	266	8,0	5,1	128	2,36	0,5
	Донецк	234	6,8	4,5	80	2,00	0,0
1	Кировоград	171	9,2	6,8	40	0,31	0,0
	Помошная	211	6,3	4,4	32	0,51	0,0
2	Дарьевка	3 <b>0</b> 0	6,0	4,4	24	1,4	١,,
٠.	Дебальцево	334	3,7	2,8	16	1,4	0,5
3	Волноваха	266	11,5	9,4	88	2 10	\   1,2
	Амвросиевка	170	8,6	5,9	26	3,12	1,4
4	Щорс	127	9,3	7,8	48	0,76	0,3
	Чернигов	113	7,0	4,7	32	0,70	) U,C
5	Павлоград	83	11,0	8,8	56	0,41	0,2
	Кривой Рог	98	7,4	6,0	48	0,41	U,2
16	Сарата	12	11,0	7,6	32	0.79	0.4
	Затишье	193	7,9	5,1	24	0,72	0,6
7	Хмельницкий	297	7,5	6,1	16	V E 5	۸,
	Новая Ушица	276	5,7	3,1	13	0,53	0,9

### Поправочные коэффициенты на условия рельефа

Форма рельефа	<sup>õ</sup> 1 вл, <sup>õ</sup> 1 мс	δ <sub>2 ВЛ</sub> , δ <sub>2 МС</sub>
Открытое ровное место	1,00	1,00
Вершина открытых возвышенностей		
относительные превышения более 50 м	1,95—1,82	2,28—1,9
относительные превышения менее 50 м	1,82—1,69	1,69-1,9
Наветренные склоны крутизной 3—10°		
верхняя часть	1,45—1,69	1,43—1,6
средняя часть	1,00-1,10	1,20
нижняя часть	0,800,90	1,00
Параллельные ветру склоны крутизной 3—10°		
верхняя часть	1,45—1,33	1,00-1,2
средняя часть	1,10—1,00	1,00
нижняя часть	1,00 - 0,90	0,69-0,5
Подветренные склоны крутизной 3—10°		[
верхняя часть	0,90—1,00	0,861,0
средняя часть	1,00-1,10	0,861,0
нижняя часть	0,90—1,10	0,55-0,4
Дно долин, лощин, оврагов		
продуваемых ветром	1,57—1,33	1,69—1,9
непродуваемых ветром	0,61	0,43
замкнутых	0,61	0,43
Холмы с плоскими вершинами и пологими склонами крутизной 1—3°		
вершины, верхние части наветренных и подветренных склонов	1,33—1,57	· —
средние и нижние части таких склонов	1,00—1,33	

вых отложений, учесть которые в настояще время не представляет ся возможным.

Округлив полученные значения  $n_1$  и  $n_2$  соответственно до 1, и 0,75 и используя материалы [5, 11], можно составить таблиц коэффициентов  $\delta$  для характерных форм рельефа при высоте под веса провода 8—10 м (табл. 2).

Таким образом, использовав формулы (1) и (2), морфометри ческие характеристики рельефа и коэффициенты из табл. 2, можн определить гололедные и ветровые нагрузки при гололеде на тер ритории, окружающей ГМС или находящейся в однородных с не физико-географических условиях.

Использование описанной методики при составлении заключей о климатических нагрузках по 500 объектам на территории Укинской ССР и разработке региональных карт показало ее высою эффективность, так как наряду с усилением наиболее аварийопасных участков уменьшается средняя стоимость ВЛ.

#### ЛИТЕРАТУРА

- Бургсдорф В. В., Муретов Н. С. (ред.). Расчетные климатические условия для высоковольтных линий электропередачи. Т. 1. Гололедные нагрузки воздушных линий электропередачи в СССР. М., Госэнергоиздат, 1960, 206 с. (Трулы ВНИИЭ. Вып. 10.)
- 1960. 206 с. (Труды ВНИИЭ. Выш. 10.) Бучинский В. Е. Гололед и борьба с ним. Л., Гидрометеоиздат, 1960. 192 с.
- Волеваха Н. М. О влиянии орографии на гололедные отложения.—«Труды УкрНИГМИ», 1958, вып. 13, с. 27—31.
- Гончар Л. Г., Ланда М. Л., Холмский Д. В. К вопросу расчета нормативной скорости ветра при годоледе.— См. наст. сборник
- нормативной скорости ветра при гололеде.— См. наст. сборник. Микроклимат СССР. Под ред. И. А. Гольцберг. Л., Гидрометеоиздат, 1967.
- Миронова Е. А. Опыт морфометрической характеристики эрозионных процессов.—В кн.: Сельскохозяйственная эрозия и новые методы ее изучения. М., Изд-во АН СССР, 1958, с. 123—128.
- Раастад. Норвежские исследования условия обледенения.— В кн.: Линии электропередачи высокого напряжения. М., Госэнергоиздат, 1960, с. 23—28. Раевский А. Н. Влияние рельефа на распределение гололедно-изморо-
- Раевский А. Н. Влияние рельефа на распределение гололедно-изморозевых отложений.—«Труды ОГМИ», 1961, вып. 23, с. 3—10. Спиридонов И. А. Геоморфологическое картографирование. М., Географгиз, 1952. 185 с.
- . Ченцов В. Н. Морфометрические показатели на геоморфологической карте мелкого масштаба.— В кн.: Проблемы геоморфологии. М., Изд-во
- АН СССР, 1948, с. 83—89. . Шкодин А.И. Некоторые сведения об условиях работы линий электропередачи и связи в гололедных районах.—«Электричество», 1953, № 10, с. 14—19.

## О ПРИВЕДЕНИИ ДАННЫХ ГОЛОЛЕДНОГО СТАНКА К РАБОЧИМ УРОВНЯМ ЛИНИЙ ЭЛЕКТРОПЕРЕДАЧИ

Точность расчета гололедных нагрузок на провода воздушнь линий (ВЛ) в большой степени зависит от точности определени коэффициентов, с помощью которых производится пересчет весотложений с провода гололедного станка на провода рабочих уроней ВЛ.

Основными являются два коэффициента:  $K_h$ , учитывающий изм нение веса (или размеров) отложений с высотой h, и  $K_d$ , учитывающий изменение этих показателей с изменением диаметра пров да d.

В данной статье величина этих коэффициентов определена носновании выполненных ранее теоретических расчетов [1] и с и пользованием многочисленных экспериментальных данных, полченных на Новопятигорской геофизической дорожной станции [2] на Пятигорской станции ВНИИЭ [3, 4], на опытных пролетах, от ганизованных Украинским отделением института Сельэнергопроем Киргизским и Таджикским научно-исследовательским отделам энергетики.

Расчеты, основанные на использовании известных законов ме ханики аэрозолей показали, что поправка к весу отложения н диаметр провода K зависит помимо величины диаметра от скорости ветра u, температуры воздуха t, водности туманов или об

лаков w [1].

Condensations for

Учитывая, что при  $w \leqslant 0,05$  г/м³ (такая водность наиболее ха рактерна для приземных туманов) величина  $K_{p_d}$  при  $t \leqslant -1$ °С (го лоледно-изморозевые отложения чаще всего наблюдаются при та кой температуре) не зависит от температуры воздуха, нами был приняты осредненные значения  $K_{p_d}$  для 10-миллиметрового провода при t = -1°С, указанные в табл. 1.

Таблица 1

Поправочные коэффициенты для пересчета веса гололеда с провода гололедного станка на провод диаметром 10 мм

Скорость ветра,

$$M/C$$
 0,0—4,0 4,1—8,0 8,1—12,0 12,1—16,0 16,1—20,0 20,1—24,0 >2  $K_{p_d}$  1,35 1,55 1,65 1,75 1,90 2,20 2,5

В [2] даны значения коэффициентов  $K_{p_d}$  для высоты подвеса овода, равной 10-12 м, при различных значениях веса отложеня на гололедном станке.

Используя значения  $K_{p_d}$ , данные в табл. 1, и величины  $K_{p_h}$ , имствованные из работы [2], получаем поправочные коэффициты  $K_{p_{dh}} = K_{p_d} K_{p_h}$ , позволяющие по весу отложения на гололедми станке определить гололедную нагрузку на 10-миллиметровом оводе, подвешенном на высоте 10—12 м. Значения  $K_{p_{dh}}$  в завимости от скорости ветра и веса отложения на гололедном станке редставлены в табл. 2.

Таблица эправочные коэффициенты  $K_{p_{dh}}$  для пересчета гололедной нагрузки с провода гололедного станка на провода рабочих уровней ЛЭП

$P_0$	Район	Скорость ветра, м/с							
г/м	ледно- сти	0,0-4,0	4,1-8,0	8,1-12,0	12,1-16,0	16,1-20,0	20,1-24,0	>24	
<100	I	3,7	4,2	4,6	5,1	5,6	6,1	6,5	
00—150	1a	3,3	3,7	4,1	4,6	5,0	5,4	5,8	
50300	II	2,9	3,2	3,6	4,0	4,4	4,7	5,1	
00-450	III	2,5	2,8	3,2	3,5	3,7	4,0	4,3	
0-600	IIIa	2,1	2,3	2,5	2,7	2,9	3,2	3,4	
>600	IV_V	1,7	1,8	2,0	2,2	2,4	2,6	2,8	
	[		l		ł	100	1 : 1		

 $\Pi$  р им е ч а н и е: Высота подвеса провода  $h{=}10{-}12$  м, диаметр провода 10 мм;  $P_0{-}$ вес отложения на проводе гололедного станка.

Из таблицы видно, что величина  $K_{
ho_{dh}}$  увеличивается с возратанием скорости ветра и уменьшается с увеличением гололедной агрузки на проводе гололедного станка. Этот факт подтверждаетя и данными экспериментальных наблюдений на опытных пролеах Украинского отделения института Сельэнергопроект.

Следует отметить, что и средние значения коэффициентов  $K_{p_{dh}}$ , олученные в результате сравнения веса отложений на опытных ролетах и на проводе гололедного станка при различных значенях скорости ветра и веса гололеда, хорошо согласуются с даными табл. 2.

Для расчета ветровых нагрузок на обледеневшие провода ВЛ еобходимо по размерам отложения на проводе гололедного стана определить его размеры на проводе ЛЭП или ЛС, т. е. опреденть соответствующие коэффициенты пересчета  $K_{D_{dh}}$ , где $D=\sqrt{ac}$  (а c — соответственно большой и малый диаметры отложения с проодом). Значения  $K_{D_{dh}}$  нетрудно получить из соответствующих вегичин  $K_{P_{dh}}$  (табл. 2), используя известные соотношения между вег

сом и размерами гололедно-изморозевых отложений. При этих рачетах плотность отложений на проводе принималась равной 1,1 отношению к плотности отложения на гололедном станке [1].

Рассчитанные таким образом величины  $K_{D_{dh}}$  при различнь значениях скорости ветра и размеров отложения на 5-миллиметр вом проводе, установленном на уровне 2 м, даны в табл. 3.

В настоящее время критерием гололедного районирования те ритории СССР является толщина стенки гололеда b, имеющег форму круглого цилиндра и плотность 0,9 г/см<sup>3</sup> [5]. Для пересчет величины b с провода гололедного станка на провод, подвешенны

Таблица 3 Поправочные коэффициенты  $K_D$  для пересчета размеров отложения с провода гололедного станка на провода воздушных линий

0,0-8,0 2,50	8,1-16,0	>16
2,50	2.65	0.00
	1 2,00	∠,o∪
2,15	2,45	2,65
2,00	2,30	2,50
1,85	2,15	2,35
1,70	2,05	2,25
	2,00 1,85	2,00 2,30 1,85 2,15

Примечание. Высота подвеса провода  $h{=}10{-}12$  м, диаметр провода  $d{=}10$  мм;  $D_0{-}$ размер отложения на проводе гололедного станка.

на высоте 10 м и имеющий диаметр 10 мм, используют соответствующий поправочный коэффициент  $K_{b_{dh}}$ , принятый равным 1,5.

Для оценки этого коэффициента в табл. 4 приведены значени

Tаб $_{L}$ ица Поправочные коэффициенты  $K_{b}$  для пересчета толщины стенки гололеда  $b_{0}$  с провода гололедного станка на провода воздушных лини

	Район Голо-	-		Скор	ость ветра,	м/с		
<i>b</i> <sub>0</sub> мм	ледно- сти	0,0-4,0	4,1-8,0	8,1-12,0	12,1-16,0	16,1-20,0	20,1-24,0	>24
5	1	1,85	2,00	2,14	2,32	2,48	2,56	2,73
10	II	1,65	1,77	1,90	2,07	2,18	2,28	2,40
15	III	1,57	1,68	1,80	1,90	2,00	2,08	2,18
20	IV-V	1,25	1,30	1,37	1,45	1,50	1,55	1,60
					ĺ			l '

Примечание. Высота подвеса провода  $h{=}10{-}12$  м, диаметр провод  $d{=}12$  мм.

при различных градациях скорости ветра и толщины стенки лоледа на проводе гололедного станка  $b_0$ , определенные нами ) значениям  $K_{p_{dh}}$  в табл. 2 с помощью известных формул, устаавливающих соотношение между весом отложения и толщиной ѓенки гололеда.

 $\it M_{
m 3}$  таблицы видно, что при небольших отложениях, соответстующих району гололедности І, величина  $K_b$  >1,5, причем при 8 м/с  $K_{b_{dh}} > 2$ . Коэффициент пересчета корости ветра более лизок к 1,5 только в районе гололедности III при слабом ветре не более 4 м/c). В районах гололедности IV и V при скорости вета более 16 м/с величина  $K_{b_{dh}}$  составляет 1,5—1,6, а при скорости енее 16 м/с коэффициент пересчета меньше 1,5.

Следовательно, при расчете гололедных нагрузок на провода ІЭП интегральная кривая годовых максимумов веса (или привеенной толщины стенки гололеда) должна быть рассчитана по начениям P (или b), полученным в результате умножения этих араметров, определенных по гололедному станку, на коэффииент  $K_{p_{dh}}$ (или  $K_{b_{ab}}$ ), т. е. по членам ряда  $P \cdot K_{p_{ab}}$  $K_{b_{dh}}$ .

#### ЛИТЕРАТУРА

. Глухов В. Г. Об интенсивности обледенения проводов разного диаметра.— «Труды ГГО», 1972, вып. 303, с. 11—23.

2. Заварина М. В., Арнаутов П. К. Коэффициенты пересчета голо-ледных нагрузок.—«Труды ГГО», 1972, вып. 303, с. 154—159. 3. Никифоров Е. П. Распределение веса гололедообразования на проводах

различного диаметра.—«Труды ВНИИЭ», 1961, вып. 11, с. 274—288.

4. Никифоров Е. П. Влияние высоты подвеса провода на вес отложения гололеда.—«Электрические станции», 1962, № 6, с. 62—66.

 Савченко Л. А. Некоторые закономерности формирования гололедных нагрузок на провода ЛЭП и ЛС в горных районах. - См. наст. сборник. 6. Указания по определению гололедных нагрузок. СН 318-65. М., Госстройиздат, 1966. 19 с.

## ПЕРВЫЙ ГОД РАБОТЫ ВЫСОКОГОРНОЙ ИСПЫТАТЕЛЬНОЙ СТАНЦИИ ЛЭП НА ПЕРЕВАЛЕ ОРТО-АШУ

Отсутствие экспериментальных исследований фактических на грузок на провода воздушных линий (ВЛ) от совместного воздей ствия гололеда и ветра и слабая изученность процесов формиро вания этих нагрузок в горных районах побудила авторов сделат попытку в данной статье частично восполнить имеющийся пробел

Новая испытательная станция линий электропередачи (ЛЭП сооружена КирНИОЭ в Тянь-Шане на перевале Орто-Ашу Кир гизского хребта на высоте 3600 м. Для выбранного района харак терны высокая скорость ветра (до 40 м/с) и интенсивное гололедо образование. За время предварительных экспедиций, проводимых с 1968 г., в преобладающем числе случаев были зафиксировань отложения плотной изморози диаметром до 240 мм и лишь в единичных случаях — отложения чистого гололеда и смеси диаметром до 80 мм. Минимальная температура —35°С, средняя годо вая —5°С, абсолютный максимум +20°С. Климатические условия станции являются типичными для таких районов, как гребневые и перевальные зоны, внешние склоны и открытые плато горных хребтов Средней Азии. Для всех аналогичных районов отмечены [5] сочетания высоких скоростей ветра с большими размерами гололедно-изморозевых отложений.

Систематические наблюдения на испытательной станции были

начаты с зимнего сезона 1971-72 г.

Основной целью исследований являлось комплексное изучение ветровых нагрузок на обледенелые провода и опоры ЛЭП при различных сочетаниях гололеда и ветра в горных условиях. Это изучение предусматривало:

1) оценку корреляционной зависимости между величиной гололедных отложений на стержнях стандартных гололедных станков и величиной отложений на реальных проводах ЛЭП в горных условиях;

2) описание распределения размеров, формы и веса гололедных отложений вдоль провода по пролету и определение влияния этого распределения на аэродинамические свойства провода и на величину ветровых нагрузок, передаваемых проводом на опору;

3) исследование всех аспектов парусности обледенелых проводов, в том числе нормальной составляющей, а также вертикальных и продольных сил ветрового давления, вызванных векторной из-

енчивостью ветра. Эти силы могут достигать существенной велины и сильно влиять на суммарную ветровую нагрузку, так как ровод в пролете имеет значительный провес, а его диаметрои изморозевых отложениях может увеличиваться более чем 10 раз.

Проводимые параллельно исследования условий гололедообравания и зависимостей размеров гололеда от высоты подвеса, заметра и кручения проводов служат необходимым исходным ма

риалом для решения вышеизложенных основных задач.

Все измерительные устройства установлены на двух опытных сендах, один из которых представляет собой четырехопорный насток ЛЭП в габаритах 110 кВ с характерными для горных расс пролетами 110, 150 и 200 м и проводами АС-150. В качестве ромежуточных опор использованы типовые узкобазные металлиские опоры типа П-1 высотой 20 м.

Второй стенд состоит из трех решетчатых колонн, установленых на расстоянии 60 м друг от друга, между которыми на высоах 2, 4, 6 и 8 м подвешены провода разных диаметров. В первый зон измерений на каждой из высот были подвешены провода арок ПС-35 и АС-150, в дальнейшем намечен дополнительный одвес проводов АС-70 и АС-240. На средней колонне на тех же ысотах установлены гололедомерные рамки со стержнями диаетром 5 мм и проводами ПС-35, АС-150, АС-240.

Оба опытных участка ЛЭП ориентированы перпендикулярно направлению господствующих южных ветров. Предполагается монтировать третий опытный пролет, ориентированный вдоль вет-

ового потока.

Под проводами большого участка и в непосредственной блиости от малого участка установлены стандартные гололедные танки со стержнями диаметром 5 мм.

Скорость ветра, его направление, температура и влажность оздуха измерялись с помощью автоматизированной, дистанционой метеорологической станции типа M-49. Кроме того, скорость етра фиксировалась пятью анемографами типа M-27, установлеными вдоль пролета, и контрольным анемографом типа M-12. Гледует отметить, что полусферы приемных устройств анемограров M-12 и M-27 при измерениях быстро заносятся снегом и облеченевают, что сильно искажает их показания. Метеорологическая танция M-49 отличалась устойчивой работой. Регулярно провочимые сверки скорости ветра по M-49 с показаниями ручных анелометров давали расхождение не более 0,5 м/с.

Все прямые измерения гололедно-ветровых нагрузок на провода и опоры основаны на методах проволочной тензометрии, которые были опробированы и хорошо себя зарекомендовали при измерениях ветровых нагрузок на опытном полигоне в Ховасте [6]. На описываемых установках эти методы подверглись дальнейшему совершенствованию. В частности, была достигнута возможность лектрической нейтрализации разбаланса тензометрического моста для контрольной записи нулевой линии в любой нужный момент,

что крайне важно при измерениях нагрузок, вызываемых природ

ными процессами большой длительности.

Специально разработанные тензометрические приспособлени позволяют фиксировать нормальную и продольную составляющи ветровой нагрузки, а также суммарную нагрузку от веса провод и гололеда и ветрового воздействия на провод. В безветренную погоду те же устройства позволяют оценить суммарный вес провода с гололедными отложениями в пролете.

Хронограммы всех измеряемых процессов фиксировались об циллографами на рулоны фотобумаги шириной 100 мм при скорс

ети движения 1—1,5 мм/с.

Измерения гололедных отложений производились обычными ме

тодами, принятыми в системе Гидрометслужбы.

Вся регистрирующая аппаратура, тарировочные стенды, мастерская, фотолаборатория и жилые помещения дежурных зимогщиков размещались в построенном брусчатом доме. Для надежного электроснабжения и зарядки аккумуляторов была подведен питающая ЛЭП (6 кВ) и установлена КТП с трансформаторог 100 кВА.

В первый год работы испытательной станции успешным измерениям сопутствовал и ряд неудач, которые несколько сузили на меченную программу наблюдений. Так, первая модель измери тельных устройств на проводах из-за механических дефекто изготовления не позволила получить надежных регистраций со ставляющих ветровой нагрузки на провода — продольной и сум марной. Поэтому в первые месяцы, до замены устройств на боле совершенные, анализу подвергалась только нормальная состав ряющая ветровой нагрузки.

Систематическое измерение гололедных отложений в нескольких точках пролета на проводах большего участка и на верхни проводах малого участка встретило значительные трудности. При меняемые подъемники и другие вспомогательные средства себ

не оправдали.

В конце первого сезона выявилась недостаточная прочност некоторых элементов опытных установок и сооружений. Так, в ап реле 1972 г. трехдневным ураганом была сорвана крыша дома порваны оттяжки и обрушены одна из башен малого опытног участка и две мачты с анемографами М-27.

В летний период 1972 г. после открытия автомобильного подтезда на перевал Орто-Ашу на станции были проведены больши работы по восстановлению, модернизации и усилению опытны установок и сооружений. Промежуточные опоры участка ЛЭГ (110 кВ) были оборудованы двумя лебедками, позволившими плавно опускать один из проводов вместе с гирляндами изоляторов длизмерения гололеда вдоль пролета. На проводах были установлены новые измерительные устройства заводского изготовления.

За первый год наблюдений образование отложений плотно изморози измерялось при температурах от —3 до —18°С. Макси мальный фактический диаметр не превышал 147 мм. Плотност

олебалась в пределах 0,3—0,35 г/см<sup>3</sup>. Зафиксирован один случай ложных образований диаметром 80 мм и плотностью 0,6 г/см<sup>3</sup>. Зес не превышал 3 кг/пог. м.

Отмечена локальность гребневой зоны гололедообразований резким уменьшением размеров отложений по склону хребта.

Одна из основных задач прикладного исследования гололедных тложений — оценка зависимостей между отложениями на стержіях гололедных станков и на реальных проводах — в горных усовиях встречает дополнительные трудности, вызванные особеностями изморозевых образований на стержнях гололедных станов. По нашим наблюдениям, на стержнях гололедных станков, расположенных нормально к ветровому потоку (для Орто-Ашу это направление с запада на восток), как правило, образуются односторонние отложения изморози, опадающие в процессе обравования по достижении величины 25-50 мм. По такому характеру ртложений трудно судить о величине фактически наблюдаемых устойчивых отложений изморози на параллельно расположенных реальных проводах ЛЭП. На стержнях станков, расположенных ветрового потока  $(C - \hat{I}O)$ , наблюдаются отложения, близкие к эллиптической или цилиндрической форме, зачастую состоящие из отдельных усеченных конусов длиной по 200— 250 мм. Однако в отдельных случаях, когда средняя скорость ветра превышает 20 м/с, а температура не поднимается выше  $-16^{\circ}\mathrm{C}$ , отложений на стержнях станка С $-\mathrm{I\!O}$  не образуется. На стержнях станка 3-В при этом имеют место обычные односторонние отложения, а на реальных проводах ЛЭП, ориентированных нормально к ветровому потоку (3 — В), были зафиксированы устойчивые отложения диаметром до 100 мм.

За сезон 1971-72 г. такие случаи отмечены дважды. Очевидно, для решения задачи объективного перехода от данных гололедных станков к данным реальных проводов ЛЭП в горных районах тре-

буются дальнейшие тщательные наблюдения.

В последнее время неоднократно поднимался вопрос об использовании в расчетах фактических диаметров гололедных отложений вместо приведенных к плотности чистого гололеда 0,9 г/см<sup>3</sup>. Несмотря на кажущуюся логичность такого предложения, решению этого вопроса должно предшествовать рассмотрение всех аспектов формирования ветровой нагрузки на обледенелые провода. Нельзя забывать, что, во-первых, принятые методы расчета базируются на многолетних данных о гололеде и ветре, методика получения которых разрабатывалась без учета многих особенностей ЛЭП, и, во-вторых, существующая расчетная практика основывалась не только на данных, имевшихся в то время единичных исследований, но и на богатом опыте предшествующей эксплуатации ВЛ. В результате, несмотря на недостаточную обоснованность оценки отдельных расчетных параметров, общие результаты оказались удовлетворительными. Поэтому попытка исправления какого-либо одного параметра без одновременного уточнения остальных, фигурирующих в расчете факторов, может привести к непредвиденному

увеличению ошибки по сравнению со сложившейся методико расчета. В подтверждение высказанных положений рассмотрим не

сколько конкретных вопросов.

Ранее уже отмечалось [2, 4], что диаметр отложений на про воде ВЛ не является постоянным. По наблюдениям авторов, от ложения вдоль провода реального пролета резко изменяются кай по размерам, так и по форме. В непосредственной близости о концов пролета, на расстоянии 5—10 м от точек закрепления про водов в зажимах, устойчивые изморозевые образования практи чески отсутствуют. Появляющиеся односторонние отложения достигают величины 40—60 мм и опадают под действием собствен ного веса и сопутствующих сильных ветров. Этот процесс много кратно повторяется, причем опадание и нарастание происходят на небольших независимых друг от друга участках. При дальнейшем удалении от концов пролета односторонние отложения переходят в эллиптическую форму. Наибольшей величины изморозевые муфты достигают в средней части пролета, приближаясь к цилиндрической форме.

Основной причиной неодинаковых по форме отложений вдоль пролета, по-видимому, является изменение угла закручивания провода, под влиянием односторонних отложений в зависимости от расстояния до точек жесткого крепления проводов в зажимах [4].

Отмеченная закономерность может нарушаться случайным сбросом гололеда в отдельных местах. Образовавшиеся пустоты вновы заполняются изморозевыми отложениями, которые могут нарастать в течение нескольких суток, при скорости ветра до 26 м/с и при температуре до —18°С. В результате распределение форм и размеров изморозевых отложений вдоль пролета может носить беспорядочный характер при сохранении общей тенденции увеличения размеров и округления формы к середине пролета.

Такое распределение оказывает существенное влияние на формирование суммарной ветровой нагрузки, передаваемой проводом на опору. Совершенно очевидно, что ветровая нагрузка определяется не максимальным диаметром отложений в середине пролета, который оценивается введением поправочных коэффициентов к данным гололедных станков, а каким-то значительно меньшим, осредненным диаметром, который ниже назван эквивалентным. Для рекомендаций по оценке эквивалентного диаметра по размерам максимальных отложений необходим статистический анализ распределений формы и размеров гололеда по пролету. Достаточно большие ряды таких данных пока отсутствуют.

По предварительным данным, эквивалентный диаметр оказывается несколько большим половины максимального диаметра.

На графике рис. 1 показаны действительные ветровые нагрузки, отнесенные к 1 пог. м. длины и  $1 \text{ мм}^2$  сечения чистого провода, зафиксированные при размерах отложений плотной изморози в середине пролета  $70 \times 80 \text{ мм}$  и плотности отложений  $0.33 \text{ г/см}^3$ . Каждая точка соответствует максимальному значению ветровой нагрузки за 2-минутный интервал времени, в течение которого

тределялась средняя скорость ветра. На поле опытных точек нанены расчетные значения ветровых нагрузок при следующих исходых диаметрах: кривая 1— при использовании в расчете эквиваентного диаметра,  $d_9$ =45 мм, кривая 2— при использовании экивалентного диаметра, приведенного к плотности  $0.9 \text{ г/см}^3$ ,  $d_9^\text{m} = 30 \text{ мм}$ , кривая 3— при использовании фактического диаметра середине пролета,  $d_{\Phi}$ =70 мм.

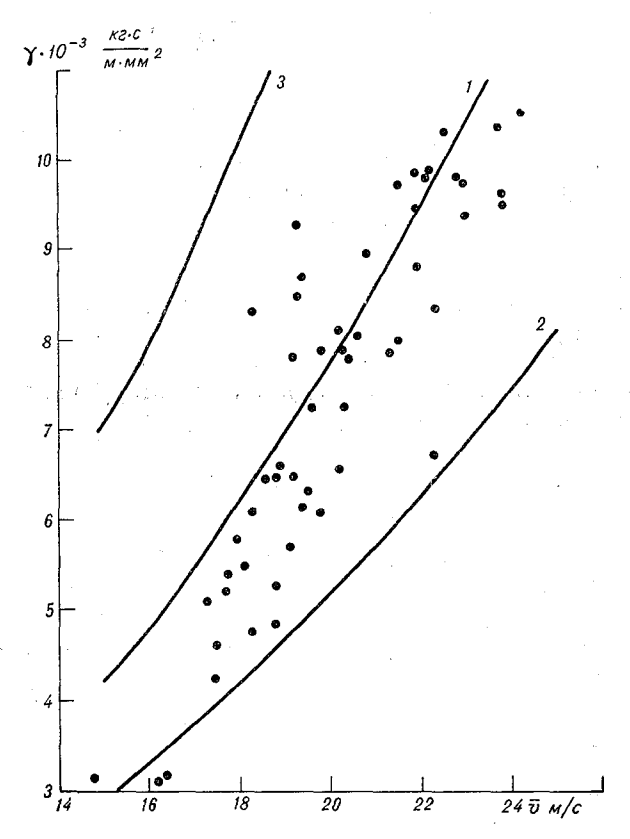


Рис. 1. Экспериментальные и расчетные значения приведенных единичных ветровых нагрузок на провода

Как видно, для рассматриваемых отложений плотной изморози, использование в расчетах фактического диаметра отложений приведет к необоснованному завышению расчетных нагрузок.

Дальнейший анализ примера (рис. 1) показывает, что приведение фактических максимальных размеров отложений в середине пролета к плотности 0,9 г/см<sup>3</sup> может давать весьма близкое приближение к эквивалентным диаметрам. Для нашего примера использование эквивалентного и приведенного диаметров оказыва-

ется равноценным и дает уровень нагрузок по кривой 1. Однак это совпадение не является закономерным и при других удельных весах, формах и распределениях по пролету могут быть суще ственные отличия между эквивалентным и приведенным диамет рами отложений, что наглядно видно из выражений:

$$d_9 \approx \frac{\sum_{i=1}^n d_i}{n}; \quad d_n = \sqrt{\frac{\mu_{\Phi}}{0.9} ac},$$

где  $d_{\vartheta}$  — эквивалентный диаметр;  $d_{\iota}$  — диаметры обледенелого про вода в разных точках пролета в плоскости, нормальной к ветро вому потоку:  $d_{\pi}$  — приведенный диаметр;  $\mu_{\Phi}$  — фактическая плот ность отложений; 0.9 — максимальная плотность чистого гололеда a и c — большой и малый диаметры максимальных гололедных отложений в середине пролета.

По-видимому, применение в расчетах эквивалентного диаметра вместо приведенного позволит более надежно оценить величинь

ветровых нагрузок.

Однако введение более точного диаметра еще не гарантируе правильность оценки ветровой нагрузки, на которую влияют также и другие величины, входящие в расчетную формулу

$$\gamma = \alpha c_x \frac{\overline{v^2} \rho d}{2F} \cdot 10^{-3},$$

где  $\gamma$  — единичная нагрузка, приведенная к 1 мм² сечения провода, кг·с/м·мм²;  $\alpha$  — поправочный коэффициент на неравномерность ветра вдоль пролета;  $c_x$  — аэродинамический коэффициент;  $\overline{v}$  — средняя скорость ветра, м/с;  $\rho$  — плотность воздуха; d — наружный диаметр провода вместе с гололедными отложениями в плоскости, нормальной к ветровому потоку, мм, F — теоретическая площадь сечения провода, мм².

Особого внимания заслуживает величина аэродинамического коэффициента  $c_{x_{\sim}}$  К сожалению, насколько нам известно, продувка моделей обледенелых проводов ЛЭП в аэродинамической трубе не проводилась. Также не оценено влияние на аэродинамические свойства проводов отмеченной выше беспорядочности в распределении размеров и форм отложений плотной изморози вдоль пролета. Величина  $c_x$  для всех случаев обледенения, по аналогии с проводами без гололеда, принимается в расчетах постоянной и равной 1,2.

Полученные экспериментальные величины нормальной составляющей ветровых нагрузок позволяют приближенно провести косвенную проверку стабильности величины  $c_x$  в обследованном диапазоне. Действительно, если значение  $c_x$  при увеличении диаметра гололеда существенно не изменяется, то, относя экспериментальную ветровую нагрузку к  $1 \text{ м}^2$  площади проекции провода на пло-

сость, перпендикулярную направлению ветра, получаем одну об-

$$q = f(v^2, \alpha) \text{ Kr} \cdot \text{C/M}^2$$

ля любых диаметров гололедных отложений. Такая зависимость редставлена на графике рис. 2 как для опытных данных по рто-Ашу, так и для нагрузок на провода без гололеда, полученых ранее в Ховасте [3]. При этом удельные нагрузки на обледеные провода оценивались, исходя из эквивалентного диаметратложений.

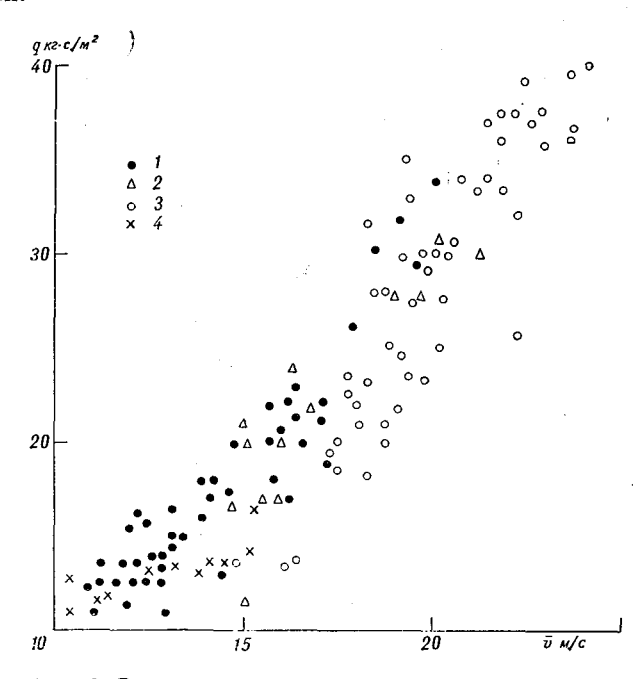


Рис. 2. Экспериментальные значения удельных ветровых нагрузок на провода разных диаметров по данным испытательной станции Орто-Ашу и опытного полигона в Ховасте:

1. 2— провода без гододела (I—Ховаст. 2—Орто-Ашу), 3.

1, 2 — провода без гололеда (1 — Ховаст, 2 — Орто-Ашу), 3, 4 — провода с гололедом (3 —  $d_{\rm cp}$  =45 мм, 4 —  $d_{\rm cp}$  75 мм).

Как видно, отклонения удельных нагрузок при разных диаметрах лежат в пределах точности оценки эквивалентного диаметра и в пределах разброса опытных точек. Близкое совпадение данных, полученных в совершенно разных географических районах, позволяет полагать, что в исследованном диапазоне чисел Рейнольдса до  $1,1\cdot10^5$ , характеризуемом произведением  $v_d=1300~{\rm M\cdot Mm/c}$ , величина аэродинамического коэффициента  $c_x$  мало зависит от степени обледенения проводов. Однако исследованный диапазон

чисел Рейнольдса не является предельным для отложений пло ной изморози, а известные закономерности обтекания тел с бол шим удлинением делают недопустимой экстраполяцию полученых результатов. Так, из классической кривой Везильсбергера [1 полученной для гладких цилиндров и приведенной на рис. 3, сл дует, что уже при числах Рейнольдса 1,7·10<sup>5</sup> можно ожидать умен шения нагрузок.

Переход от гладких цилиндров к изрезанной поверхности р альных проводов изменяет, как отмечено В. В. Бургсдорфом [1]

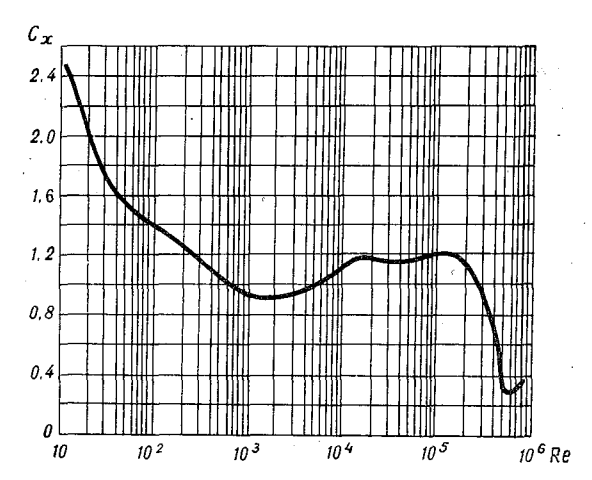


Рис. 3. Зависимость аэродинамического коэффициента  $c_x$  от числа Рейнольдса, полученная Везильсбергером для гладких цилиндров

граничные значения постоянства  $c_x$ . По-видимому, еще более резких отклонений количественной границы следует ожидать для про водов, покрытых изморозью, которые значительно отличаются о гладких цилиндров не только шероховатостью и изрезанностью, и формой поверхности.

Вполне реальные сочетания скоростей ветра и диаметра из морозевых отложений [5], дающие произведение vd порядка 2000-6000 м мм/с, могут лежать в зоне резкого снижения  $c_x$ . Не доучет этого возможного снижения может привести к значитель ному искажению расчетных нагрузок при высоких скоростях ветра и больших диаметрах гололедных отложений.

Точная количественная оценка аэродинамического коэффициен та обледенелых проводов может быть сделана только путем продувки форм реальных отложений в аэродинамической трубе. На сущная необходимость такого эксперимента очевидна. Однако та ких данных будет еще недостаточно для решения задачи, так как неравномерность форм, размеров гололедных отложений и их возможная беспорядочность вдоль пролета приведут к тому, что при

льших диаметрах отдельные участки провода в пролете будут

теть разные аэродинамические свойства.

Суммарная оценка величины  $c_x$  для пролета ЛЭП в целом моет быть произведена на опытных установках типа испытательих стендов Орто-Ашу по измеренным реальным нагрузкам на овол при условии надежной фиксации остальных величин, вхоиших в расчетную формулу.

Сопоставление данных продувок отдельных форм и их возможих сочетаний с суммарной оценкой  $c_{\infty}$  по пролету позволит опреелить закономерности изменения величины аэродинамического

рэффициента для обледенелых проводов.

Не менее серьезные замечания можно сделать и по поводу оцени скоростей ветра при гололедных расчетах, однако этот вопрос, виду его большой сложности, требует отдельного рассмотрения.

Затронутые вопросы наряду с всесторонним изучением явления арусности обледенелых проводов составляют перспективную прорамму дальнейшей работы гололедно-ветровой испытательной ганции ЛЭП на перевале Орто-Ашу. Ввиду сложности и большообъема исследований было бы желательно привлечение дополительных научных сил, в том числе и в других зонах Советского оюза.

#### ЛИТЕРАТУРА

Бургсдорф В. В., Махлин Б. Ю. Аэродинамическое сопротивление проводов и тросов воздушных линий электропередачи. — Информационные материалы ВНИИЭ, № 34. М., Госэнергоиздат, 1958. 20 с.

Бургсдорф В. В., Муретов Н. С. (ред.). Расчетные климатические условия для высоковольтных линий электропередачи. Т. 1. Гололедные нагрузки воздушных линий электропередачи в СССР. М., Госэнергоиздат, 1960. 208 с. (Труды ВНИИЭ. Вып. 10.)

Гарцман Л. Б., Холодов В. В. Уточнение ветровых нагрузок на провода ЛЭП по экспериментальным данным. — В кн.: Проектирование энергосистем и электрических сетей. Вып. 5. Ташкент, 1970, с. 40-52.

Никифоров Е. П. Влияние закручивания провода на вес отложения го-

лоледа.— «Труды ВНИИЭ», 1962, вып. 15, с. 121—133. Подрезов О. А., Першин И. И. Расчетные схемы для оценки ветровых и гололедных нагрузок воздушных линий электропередач Тянь-Шаня.— В кн.: Изучение и комплексное использование энергетических ресурсов Киргизии. Фрунзе, «Илим», 1971, с. 144—169. Холодов В. В. Тензометрические измерения ветровых нагрузок на провода

и опоры линий электропередачи.— В кн.: Проблемы общей энергетики и единой энергетической системы. Вып. 4. Алма-Ата, «Наука», 1969,

c. 136-144.

## РАСПРЕДЕЛЕНИЕ ОСОБО ОПАСНЫХ ОТЛОЖЕНИЙ АТМОСФЕРНОГО ЛЬДА И ГОЛОЛЕДНЫЕ НАГРУЗКИ В УКРАИНСКИХ КАРПАТАХ

Интенсивные отложения гололеда, изморози, смеси, мокрог снега ежегодно наносят огромный ущерб различным отраслям н родного хозяйства. Поэтому изучение пространственно-временног распределения этих отложений и особенностей синоптических пр цессов при их возникновении в конкретных физико-географически

районах весьма актуально.

В последние годы на кафедре общей и прикладной климато логии ОГМИ был выполнен ряд работ, в которых достаточно под робно рассмотрены закономерности пространственно-временног распределения гололедно-изморозевых явлений на территории У раины и Молдавии в зависимости от условий рельефа и характе ра атмосферных процессов [3, 5—10, 12]. Однако из-за отсутстви качественных наблюдений отложения мокрого снега изучению н подвергались, что является существенным недостатком этих ис следований.

При решении основной задачи, поставленной в работе, необхо димо было как можно подробнее изучить характер рельефа иссле территории — Украинских Карпат, характеризующейс значительной пересеченностью рельефа с перепадом высот от 10 до 2060 м (гора Говерла). Для этого использованы литературны источники, различные физико-географические карты и специаль ные описания метеорологических станций (ГМС). Для ознакомле ния с особенностями рельефа и гололедного обследования район Украинских Карпат кафедра климатологии ОГМИ провела шест экспедиций (1957 и 1966—1970 гг.), во время которых производи лись фотографирование местности, микроклиматические наблюде ния, собраны дополнительные сведения о гололедно-изморозевы отложениях. Все эти материалы оказались весьма полезными пр выполнении гололедного районирования территории и типизаци рельефа.

Анализ собранных материалов, показал, что в юго-западно и западной частях УССР встречаются все основные формы рель ефа — горы, перевалы, предгорья, глубокие речные долины и др Среди этого разнообразия типов рельефа выделяются благодар: сильной эрозии и расчлененности местности узкие долины рек окруженные значительными возвышенностями. Как правило, ГМ(

расположены в долинах таких рек.

Детальное изучение характера микро- и мезорельефа (в радиудо 20 км) с учетом повторяемости направлений ветра позвоило авторам ранее [5—7] разделить все ГМС Украины на семь сновных групп. Каждая из них в зависимости от особенностей естоположения — относительной высоты, крутизны и ориентирови склона, степени защищенности по отнощению к преобладаюим при гололеде ветрам (так называемый гололедонесущий поok) — была отнесена к одному из 7 типов рельефа, отличающихся нтенсивностью гололедообразования [8, 9]. В условиях резко пеесеченного рельефа абсолютная высота пункта не всегда характеизует степень его открытости по отношению к гололедонесущему отоку. Имея значительную высоту над уровнем моря, ГМС может аходиться в долине реки или котловине, где процесс гололедообазования, по сравнению с открытым возвышенным местом, бует ослаблен. Поэтому при анализе гололедных данных (и осадов тоже) необходимо принимать во внимание весь комплекс факоров рельефа, а не только абсолютную высоту [10].

Классификация типов рельефа дала возможность произвести бработку материалов наблюдений над обледенением проводов учетом влияния основных физико-географических факторов [8,

11].

Как показали дальнейшие исследования [13], установленые авторами типы рельефа могут быть выделены и в других финко-географических районах СССР. При этом в зависимости от собенностей региона следует несколько детализировать предлокенную классификацию, учитывая вертикальную зональность другие факторы.

Прежде всего по данным инструментальных наблюдений были первые проанализированы все случаи сильных (особо опасных) тложений гололеда (≥20 мм), изморози (≥50 мм), смеси и могрого снега (≥35 мм), наблюдавшихся на территории Украинских

(арпат в зимы с 1950 по 1969 г.

Всего за исследуемый период было отмечено 82 случая таких этложений, из них: гололеда — 17, изморози — 19, смеси—11 и мо-

грого снега —35 случаев.

Сильные гололеды и изморозь могут возникать с ноября по март, а мокрый снег — в течение всего холодного периода (окябрь — апрель). Однако самые интенсивные и, следовательно, наиболее опасные отложения всех видов атмосферного льда наблюдаются преимущественно в декабре, январе (особенно) и феврате (около 80% всех случаев).

Известно, что особо опасные явления погоды распределяются крайне неравномерно [3—5] и картографировать их весьма грудно. Поэтому их распределение представлено только в виде

габл. 1.

Чаще всего особо опасные отложения гололеда, изморози и смеси происходят в Предкарпатье (Черновцы, Долина и др.) в основном на открытых возвышенных местах (типы рельефа V—VП, по А. Н. Раевскому).

# Повторяемость особо опасных отложений атмосферного льда в Украинских Карпатах

Яворов	245 251	Тип релье- фа	n	ло- ед <i>b</i> мм	ро n	мо- зь <b>b</b> мм	n cm	есь <i>b</i> мм	C.F	срый ier	Общ числ		
Ямполь Львов, АМСГ Мостиска Самбор Тернополь Дрогобыч Стрый Бережаны Хмельницкий Долина Чортков Ивано-Франковск Новая Ушица Коломыя	245 251	1		!	n	<b>b</b> мм	n	<i>b</i> мм			Общ числ случ:		
Ямполь Львов, АМСГ Мостиска Самбор Тернополь Дрогобыч Стрый Бережаны Хмельницкий Долина Чортков Ивано-Франковск Новая Ушица Коломыя	245 251	1	пат	ье					b mm n b		1 -		
Ямполь Львов, АМСГ Мостиска Самбор Тернополь Дрогобыч Стрый Бережаны Хмельницкий Долина Чортков Ивано-Франковск Новая Ушица Коломыя	251	1 - 1											
Львов, АМСГ       3         Мостиска       2         Самбор       3         Тернополь       3         Дрогобыч       2         Стрый       2         Бережаны       3         Хмельницкий       2         Долина       4         Чортков       2         Ивано-Франковск       2         Новая Ушица       2         Коломыя       2	- 1								1	38	1		
Мостиска       2         Самбор       2         Тернополь       3         Дрогобыч       2         Стрый       2         Бережаны       3         Хмельницкий       2         Долина       4         Чортков       2         Ивано-Франковск       2         Новая Ушица       2         Коломыя       2	251 326	V	1	23					1	<b>3</b> 6	. 2		
Самбор       2         Тернополь       3         Дрогобыч       2         Стрый       2         Бережаны       3         Хмельницкий       2         Долина       4         Чортков       2         Ивано-Франковск       2         Новая Ушица       2         Коломыя       2	<i>1</i> 20	V	1	21							1		
Тернополь       3         Дрогобыч       2         Стрый       2         Бережаны       3         Хмельницкий       2         Долина       4         Чортков       2         Ивано-Франковск       2         Новая Ушица       2         Коломыя       2	232	II					1	39	1	143	2		
Дрогобыч       2         Стрый       2         Бережаны       3         Хмельницкий       2         Долина       4         Чортков       2         Ивано-Франковск       2         Новая Ушица       2         Коломыя       2	293	I			2	60	1	36	1	48	4		
Стрый       2         Бережаны       3         Хмельницкий       2         Долина       4         Чортков       2         Ивано-Франковск       2         Новая Ушица       2         Коломыя       2	334	VI	2	22	2	54	1	55			5		
Бережаны       3         Хмельницкий       2         Долина       4         Чортков       2         Ивано-Франковск       2         Новая Ушица       2         Коломыя       2	275	II	1	28	2	52			5	80	8		
Хмельницкий       2         Долина       4         Чортков       2         Ивано-Франковск       2         Новая Ушица       2         Коломыя       2	294	П							1	86	1		
Долина 4 Чортков 2 Ивано-Франковск 2 Новая Ушица 2 Коломыя 2	803	Ĭ	1	21		.			1	56	2		
Чортков       2         Ивано-Франковск       2         Новая Ушица       2         Коломыя       2	297	V	2	26	1	54	1	35			4		
Ивано-Франковск     2       Новая Ушица     2       Коломыя     2	170	V			6	86	3	86	2	41	11		
Новая Ушица     2       Коломыя     2	262	IV	2	32	1.	50					3		
Коломыя 2	270	V	2	22							2		
· · · · · · · · · · · · · · · · · · ·	276	V					1	58			1		
V По С	295	V			1	51	1	64			2		
Каменец-Подольск 2	224	224	224	V				.			2	45	2
Черновцы, АМСГ	239	VI	6	43	3	60	2	72	2	75	13		
Цент	раль	ная вь	ісок	огор	ная	обла	сть	' [					
Славское	592	ı							2	129	2		
Яремча	531	I	j	ĺ		. ]	× .		$_{2}$	115	2:		
Межгорье	456	I	.	ł		. [	- [	. [	4	57	4.		
- 1	429	VII			1	96	į				1		
l l	430	ı		Ī					5	51	5.		
	,	Закарп	атье	)	,	,	J	ı	•				
Великий Березный 2	08	ı							1	68	- 1		
	12	I							1	40	1		
•	64	1	1					}	12	93	12		

Отметим, что вообще сильные отложения гололеда и изморози условиях типов рельефа V—VII наблюдаются в 3—4 раза чаще, м при типах рельефа 1—II (защищенные возвышенностями

оные долины и котловины).

Обычно мокрый снег в Украинских Карпатах отмечается гоздо реже, чем гололед и изморозь. Однако сильные его отлония (>35 мм) в последние годы происходили довольно часто. ы этом суммарная их повторяемость оказалась в 2—2,5 раза льшей, чем гололеда и изморози (табл. 1).

Самые интенсивные отложения мокрого снега (>100 мм) наюдались в узких долинах горных рек, хорошо защищенных от трового потока (Хуст, Славско, Мостиска и др., типы рельефа

-II).

Таким образом, из-за несколько иных физико-метеорологичеих условий образования мокрого снега для его распределения сравнению с распределением гололеда и изморози, характерна ратная зависимость от типа рельефа [6]. Он может создавать аксимально возможные нагрузки на провода и сооружения в усвиях типов рельефа I—II при относительно небольшой высоте сположения пунктов и значительной их защищенности возвыенностями (горные котловины, узкие долины рек). Это обстояучитывать при определении расчетных необходимо айонов условиях резко пересеченной гололедности В ости.

Максимальный диаметр отложений гололеда достигал 43 мм Нерновцы, 29 XI 1954 г.), изморози — 96 мм (Пожижевская, 6 II 967 г.), смеси — 86 мм (Долина, 6 XII 1969 г.) и мокрого снега — 13 мм (Мостиска, 5 XII 1966 г.). Наибольший вес льда для слуаев особо опасных отложений гололеда не превышал 224 г/м, для отложений мокрого снега — 1248 г/м. Во всех рассмотреных случаях наблюдались повреждения воздушных линий и деевьев.

Благодаря накопленным данным инструментальных наблюдеий над отложениями мокрого снега появилась возможность согавить уточненные карты гололедного районирования. При этом существующую методику расчетов гололедных нагрузок авторы литают целесообразным внести некоторые коррективы.

Известно, что в соответствии с общепринятой методикой перенета [2, 13] толщина стенки атмосферного льда на высоте 10 м ринимается в 1,5 раза большей, чем на уровне 2 м (провода го-

оледного станка Гидрометслужбы).

Следовательно, при расчете гололедных нагрузок обычно беется средняя величина поправочного коэффициента К-1,5 (он читывает различия в отложении льда на проводах за счет измеения диаметра и высоты их подвеса).

Анализ повреждений на воздушных линиях и гололедных нарузок, возникающих на территории Украины в экстремальные зиты, показывает, что этот средний коэффициент не всегда оправывается. Для многих пунктов (расположенных в основном в защищенных местах) он близок к 1,5 или даже оказывается неско ко меньшим по величине. Но в ряде физико-географических ра нов с резко пересеченной местностью (открытые возвышенные ста, типы рельефа V—VII) в зависимости от характера атмосф ных процессов коэффициент K может в отдельные зимы суще венно отличаться от принятой величины (1,5).

На основании анализа экспериментальных данных сети голедных пунктов Сельэнерго, которые функционируют с 1963 г. [ авторы пришли к выводу, что в большинстве районов Украины правочный коэффициент должен быть увеличен до 2,0. Средн величина К может существенно изменяться не только по зим (в связи с особенностями атмосферных процессов), но и в заг симости от условий рельефа. Например, в западной части УСС на открытых местах Волыно-Подольской возвышенности (Калутип рельефа VI) поправочный коэффициент оказался наибольш (2,1), в северной части республики (Козелец, открытая равнит тип рельефа III) составил 2,0, а в сравнительно защищенной дол не Днепра (Павлыш, тип рельефа II) не превышал 1,2—1,5.

Сопоставление экспериментальных данных украинской се с уникальными наблюдениями на Новопятигорской опытной ге физической станции показывает, что и там величина коэффицие та К для гололеда, изморози и смеси в отдельные зимы сущее венно отличается от принятого значения—в среднем она изменется от 1,2 (зимы 1965-66 и 1967-68 гг.) до 2,1 и более (зим 1961-62 гг. и др.). При этом вес отложений льда увеличивает

с высотой в 4—6 раз.

По данным Г. Н. Леухиной [4], в горах Средней Азии толщ на стенки гололеда на высоте 10 м в отдельных случаях оказала

в 3—5 раз большей, чем на уровне 2 м.

Характерно, что наибольшие значения коэффициента K наблі дались в тех случаях, когда гололедообразование было вызва перемещением южных циклонов и теплых фронтов. В барическі седловинах и гребнях повышенного давления различия в разм рах отложений на уровне 2 и 10 м сравнительно малы (K=1,0)поскольку гололедообразование здесь обычно ослаблено. Сл дует подчеркнуть, что в те зимы, когда из-за особенностей разв: тия атмосферных процессов при гололеде коэффициент К преви шает общепринятую расчетную величину, часто наблюдаются с щественные повреждения линий связи и электропередачи, так ка именно в таких случаях расчетные гололедные нагрузки на соор жения оказываются меньше фактических. Особенно это характеры для возвышенных и открытых для гололедонесущего потока мей (типы рельефа V-VII), где обычно коэффициент K более измет чив. Примером может служить декабрь 1966 г., когда линиям элег тропередачи Львовской области были причинены огромные п вреждения [3].

В соответствии с общепринятой методикой расчетов [2], н с учетом нового поправочного коэффициента K=2,0 авторами были построены уточненные карты гололедного районирования Уг

аинских Карпат при различной вероятности расчетной стенки

ьла, ожидаемой один раз в 5, 10 и 15 дет.

На рис. 1 в качестве примера приведена одна из них, предтавляющая наибольший практический интерес (с вероятностью тенки один раз в 10 лет). При проектировании сооружений обычо пользуются картами, рекомендованными Госстроем СССР [14], оторые составлены с учетом среднего поправочного коэффициента (=1,5. Анализ этих карт кратко представлен в статье А. В. Руд-

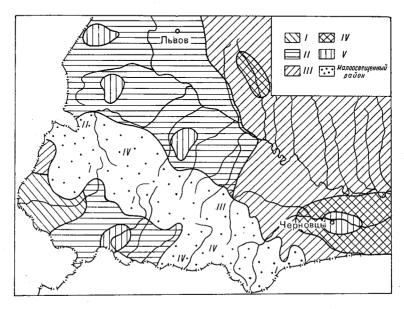


Рис. 1. Уточненная карта гололедного районирования Украинских Карпат (при величине расчетной стенки атмосферного льда, наблюдаемой один раз в 10 лет, и K=2,0).

невой и Т. А. Бассарской [13], где указано на некоторую их схематичность. Очевидно, эти карты следует рассматривать как фоновые, поскольку для региональных районов они нуждаются

з уточнении

При сравнении предложенной нами карты с соответствующей картой СНиП [13, 14] обнаруживаются заметные различия в пространственном распределении расчетных районов гололедности. Гак, изменилось их распределение в Закарпатье, где на фоне района гололедности II (рис. 1) появился самый гололедоопасный расчетный район V (Хуст, за счет интенсивных отложений мокрого снега).

Особенно большие изменения произошли в Предкарпатье, где согласно карте СНиП преобладают расчетные районы II—III. На этом общем фоне на уточненной карте (рис. !) отдельными пят-

нами выделяются районы гололедности IV—V (Долина, Черног

цы. Мостиска и др.).

Известно, что типы рельефа V—VII характеризуются комплен сом метеорологических элементов (сочетанием температуры, вет ра и гидрометеоров), благоприятствующим более длительны и интенсивным отложениям атмосферного льда [6, 8, 12]. Поэтом чаще всего наиболее гололедоопасные расчетные районы (IV—V приходятся на открытые возвышенные места и их наветренны склоны. Однако иногда, при интенсивных отложениях мокрого сне га, такие нагрузки возникают также и в защищенных долинах ре (типы рельефа I—II).

Таким образом, разработка уточненных региональных карт го лоледного районирования с учетом особенностей рельефа и неко торых других факторов представляет собой весьма актуальную

задачу.

В заключение отметим, что методика расчетов гололедных на грузок нуждается в существенной корректировке — общеприняты средний поправочный коэффициент K должен быть уточнен дл всех физико-географических районов СССР, причем нужна вероят ная оценка его изменчивости. А для этого крайне необходим организация экспериментальных наблюдений на действующей сет ЛЭП по заранее продуманному плану. В настоящее время таки наблюдения в основном носят эпизодический характер и произво дятся без должного учета рельефа местности.

До решения вопроса о разработке общепринятой методики рас четов гололедно-ветровых нагрузок при проектировании сооруже ний карты гололедного районирования целесообразно использо вать в комплексе (сочетании) с картами ветровых нагрузок. Кро ме того, необходимо больше внимания уделить учету особенностей рельефа и залесенности местности. Все это будет способствоват уменьшению числа аварий на воздушных линиях и повышеник

эффективности их эксплуатации.

#### ЛИТЕРАТУРА

1. Горштейн Ш. Д. К методике определения расчетных гололедных нагрузок воздушных линий электропередачи УССР.—В кн.: Метеорология, климато логия и гидрология. Вып. 2. Киев, 1966. с. 50-54.

2. Заварина М. В. К расчету гололедных нагрузок.—«Труды ГГО», 1970

вып. 265, с. 21—30. 3. Капралова В. П. Интенсивные отложения гололеда и мокрого снега на территории Львовской области в декабре 1966 г. — В кн.: Метеорология климатология и гидрология. Вып. 5. Киев, 1969, с. 251—256.

4. Леухина Г. Н. Опасные гололедообразования в условиях Средней Азии.— «Труды САРНИГМИ», 1968, вып. 41, с. 13—20.

Б. Раевский А. Н. К вопросу о повторяемости гололеда.—«Метерология и гидрология», 1953, № 1, с. 28—32.
Раевский А. Н. Влияние рельефа на распределение гололедно-изморозе

вых отложений.—«Труды ОГМИ», 1961, вып. 23, с. 3—11.

7. Раевский А. Н. Влияние особенностей рельефа на распределение гололедных отложений.—«Труды ГГО», 1961, вып. 122, с. 47—52.

Раевский А. Н. О распределении гололеда на территории Украины.— «Труды УкрНИГМИ», 1961, вып. 29, с. 50—62. Раевский А. Н. О распределении изморози на территории Украины.—

«Труды УкрНИГМИ», 1962, вып. 33, с. 64—72.

). Раевский А. Н., Переведенцева Н. И. К вопросу о влиянии характера рельефа на распределение отложений гололеда в Украинских Карпатах.— В кн.: Метеорология, климатология и гидрология. Вып. 3. Киев, 1967, с. 80—85.

1. Раевский А. Н. К вопросу о комплексных характеристиках погоды при образовании гололеда и изморози.—«Труды УкрНИГМИ», 1967, вып. 65,

c. 117—123.

2. Раевский А. Н., Вязовиченко Е. А. Синоптические условия образования значительного гололеда в Украинских Карпатах. В кн.: Метеорология, климатология и гидрология. Вып. 5. Киев, 1969, с. 64—71.

3. Руднева А. В., Бассарская Т. А. Учет рельефа местности при расчете гололедных нагрузок.—«Труды ГГО», 1967, вып. 210, с. 47—57.

4. Указания по определению гололедных нагрузок. СН 318-65. М., Госстрой-

choñ cas la caraga Rebangels el e . January 1995 a ron isan nan a and the Appenditus 07.00.00 unties, citiés : ... or a second of Chemical Comments

издат. 1966. 19 с.

# НЕКОТОРЫЕ РЕЗУЛЬТАТЫ ЭКСПЕРИМЕНТАЛЬНЫХ ИССЛЕДОВАНИЙ ОБЛЕДЕНЕНИЯ ПРОВОДОВ НА НОВОПЯТИГОРСКОЙ ГОЛОЛЕДНОЙ СТАНЦИИ

Систематические наблюдения над гололедом на Новопятигор ской опытной геофизической станции проводятся с 1936 г. Этт наблюдения включают измерение размеров и веса отложений на проводах разного диаметра, устанавливаемых на разных высотах и под различными углами к направлению влагонесущего потока эпизодические измерения водности облаков в периоды гололедо образования и т. п. Результаты этих экспериментальных исследований обобщены в [2, 3, 6].

В настоящей работе приведены данные о сравнительной интенсивности обледенения проводов, расположенных под разными углами к направлению ветра и об изменении плотности различных

видов отложений с увеличением диаметра провода.

Для анализа изменения интенсивности гололедообразования (веса и размеров отложения) в зависимости от направления влагонесущего потока были использованы данные наблюдений за 1938—1956 гг., когда проводились измерения веса (Р) и размеров (а и с) отложений на проводах, установленных под углами 0; 22,5; 45; 67,5 и 90° к направлению ветра.

Вес и размеры отложений на проводах, расположенных под углами 0; 22,5; 45 и 67,5° к направлению ветра, определяются в процентах по отношению к весу и размерам отложений на проводах, перпендикулярных к направлению влагонесущего потока

(100%).

Результаты расчетов средних отношений  $P_a/P_{90}$ ,  $a_a/a_{90}$  и  $c_a/c_{90}$  представлены в табл. 1.

Для сравнения в предпоследней строке таблицы приведено отчошение  $\frac{\sin\alpha}{\sin\theta\theta} \cdot 100 \%$ .

Из таблицы видно, что вес отложения на проводе, параллельном потоку, составляет по отношению к весу отложения на проводе, нормальном к потоку, 19% при гололеде, 23% при смеси и 36% при зернистой изморози. Для размеров отложений соответствующее отношение равно 30—50%.

При гололеде  $\frac{P_a}{P_{90}} \approx \frac{a}{a_{90}} \approx \frac{c_\alpha}{c_{90}} \approx \frac{\sin \alpha}{\sin 90}$  только для  $\alpha \gg 22,5^\circ$ , а при зернистой изморози и смеси для  $\alpha \gg 45^\circ$ . При меньших углах

Изменение (%) размеров и веса отложений на проводах в зависимости от направления ветра

		0°			22,5°			45°		67,5°			
ид отложений	$\frac{P_{\alpha}}{P_{90}}$	$\frac{a_{\alpha}}{a_{90}}$	$\frac{c_{\alpha}}{c_{90}}$	$\frac{P_{\alpha}}{P_{90}}$	$\frac{a_{\alpha}}{a_{90}}$	$\frac{c_{\alpha}}{c_{90}}$	$\frac{P_{\alpha}}{P_{90}}$	$\frac{a_{\alpha}}{a_{90}}$	$\frac{c_{\alpha}}{a_{90}}$	$\left  \frac{P_{\alpha}}{P_{90}} \right  \frac{a_{\alpha}}{a_{90}}$		$\frac{c_{\alpha}}{c_{90}}$	
лолед	19	32	37	38	42	45	70	70	71	89	87	92	
есь	23	43	47	53	64	66	73	80	79	92	94	96	
рнистая изморозь	36	52	49	68	65	61	82	76	75	93	92	90	
$\frac{\alpha}{90}$ · 100%	0	0	0	38	38	38	70	70	70	92	92	92	
сло случаев	102	108	108	21	39	39	59	73	73	21	38	38	

Примечание. P — вес отложения, a и c — большой и малый диаметры ложения с проводом, индексы "a" и "90"—угол, под которым провод распожен по отношению к направлению ветра.

ношения веса 
$$\frac{P_{\alpha}}{P_{90}}$$
 и размеров отложения  $\frac{a_{\alpha}}{a_{90}}$  и  $\frac{c_{\alpha}}{c_{90}}$  превышают личину  $\frac{\sin\alpha}{\sin90}$ .

Значительный интерес представляют данные об изменении потиости различных видов отложений с увеличением диаметра овода от 5 до 48 мм (табл. 2). Плотность отложений у рассчинавалась по формуле

$$\gamma = \frac{P}{0.78(ac-d^2)} \Gamma/CM^3, \qquad (1)$$

де P — вес отложения (r/m); a и c — большой и малый диаметры гложения с проводом (mm); d — диаметр провода (mm).

Из таблицы видно, что плотность всех рассматриваемых видов гложений, как правило, постепенно возрастает с увеличением иаметра провода, что справедливо для гололедно-изморозевых гложений самой различной плотности — от 0,07 до 0,70 г/см<sup>3</sup>.

Физический смысл этого явления совершенно очевиден и объясяется так называемыми критическими условиями инерционного 
саждения капель тумана на поверхности тела. Согласно законам 
нерционного осаждения частиц на препятствие [4, 5], существует 
ак называемый критический размер частиц  $r_{\rm kp}$ , т. е. тот минигальный размер частиц, начиная с которого они могут осаждаться 
а поверхности тела. Капли меньшего размера увлекаются потоом воздуха и обтекают тело, так как их инерция недостаточна 
ля преодоления аэродинамических сил, заставляющих каплю двиаться по линиям тока, т. е. по траекториям частиц воздуха.

Плотность гололеда, зернистой изморози и смеси на проводах разного диаметра  $(\Gamma/\text{см}^3)$ 

				Ди	аметр прово.	да, мм		
Вид отложений	5	10	15	20	25	30	34	48
Гололед	0,70	0,75	0,77	0,77	0,76	0,80	0,85	0,85
<b>,</b>	0,62	0,62	0,65	0,70	0,73	0,77	0,77	0,80
,,	0,55	0,59	0,59	0,60	0,60	0,65	0,70	0,80
	0,45	0,50	0,50	0,52	0,55	0,55	<b>0,</b> 60	0,60
	0,40	0,40	0,42	0,45	0,55	0,65	0,70	0,70
**	0,54	0,60	0,60	0,60	0,65	0,70	0,68	0,65
	0,62	_	0,70		0,75	0,75	0,80	0,75
. "	0,67	_	0,65		0,65	0,70	0,75	0,82
Смесь	0,10	0,16	0,18	0,20	0,25	0,30	0,34	0,34
. 33	0,08	_	0,10	_	0,13		0 1	
,,	0,25	0,30	0,32	0,32	0,40	0,43	0,45	0,45
ø	0,20	0,25	0,28	0,32	0,35	0,40	0,42	0,45
	0,16	_	0,20		0,25	0,27	0,30	0,30
<del>y</del>	0,30		0,32		0,34	0,38	0,40	0,40
15	0,23	0,25	0,27	0,30	0,35	0,32	0,30	0,28
*	0,15	0,20	0,22	0,24	0,24	0,28	0,32	0,35
99	0,20	0,22	0,24	0,30	0,30	0,30	0,35	0,35
99	0,07	0,09	0,11	0,12	0,14	0,14	0,16	0,15
	0,35	0,37	0,40	0,45	0,48	0,52	0,55	0,6 <b>0</b>
	0,29	_	0,33	_	0,42			_
Зернистая							_	
изморозь	0,07	-	<b>0</b> ,10		0,11	0,12	0,12	0,13
. 99	9,10	0,11	0,12	0,14	0,14	0,15	0,15	0,17
,	0,12	0,14	0,15	0,16	0,16	0,18	0,17	0,20
,,	0,09	0,09	0,10	0,11	0,13	0,13	0,14	0,15
"	0,15	0,17	0,20	0,22	0,24	0,25	0,27	0,30
,	0,14		0,16		0,18			_
"	0,18	0,20	0,22	0,24	0,26	0,27	0,29	0,32

Величина  $r_{\rm kp}$  зависит от плотности частиц, скорости потока размеров препятствия и вязкости воздуха.

Как показано в [1, 4], критический размер капель возрастает с уменьшением скорости ветра и увеличением размеров обтекае мого тела.

Поскольку при наблюдениях на Новопятигорской станции про вода разного диаметра были установлены на одном уровне, а из

ерение отложений происходило практически одновременно, ясно, то все исследуемые провода находились в одинаковых условиях. іледовательно, в данном случае величина  $r_{
m KD}$  зависит только от иаметра провода, с увеличением которого  $r_{\rm KD}$  возрастает.

Чем больше диаметр провода, тем более крупные капли осеают на нем, что и является решающим фактором увеличения

лотности отложений.

Таблица З Средние и экстремальные характеристики увеличения плотности отложений в зависимости от диаметра провода

Диаметр провода, мм	$\left(\frac{\gamma_d}{\gamma_5}\right)_{\text{max}}$	$\left(\frac{\gamma_d}{\gamma_5}\right)_{\min}$	$\left(\frac{\gamma_d}{\gamma_5}\right)_{\rm cp}$	Число случаев
10	1,25	0,96	1,13	21
15	2,00	1,05	1,20	48
20	1,50	1,00	1,31	13
25	2,29	1,08	1,35	42
30	2,17	1,06	1,42	24
34	2,40	1,00	1,55	26
48	2,75	1,00	1,60	22

Примечание.  $\gamma$ —плотность отложения, индексы "d" и "5" — диаметр» провода, мм.

Оценка изменения плотности зернистой изморози и смеси в зависимости от диаметра провода дана в табл. 3.

Плотность отложений на проводах разного диаметра определялась по отношению к плотности отложений на 5-миллиметровом

проводе.

Из таблицы видно, что, например, на 10-миллиметровом проводе плотность отложений зернистой изморози и смеси в среднем на 13%, а на 48-миллиметровом проводе на 60% выше, чем на 5-миллиметровом. Величины максимальных значений у показывают, что плотность отложений на 10-миллиметровом проводе может увеличиваться на 25%, а на 48-миллиметровом проводе — на 275% по сравнению с 5-миллиметровым проводом.

#### ЛИТЕРАТУРА

1. Глухов В. Г. Метеорологические условия образования гололеда на высотных сооружениях. Л., 1972. 98 с. (Труды ГГО. Вып. 311.)
2. Глухов В. Г. Об интенсивности обледенения проводов разного диаметра.— «Труды ГГО», 1972, вып. 303, с. 10—18.

Заварина М. В., Арнаутов П. К. Коэффициенты пересчета гололедных нагрузок.—«Труды ГГО», 1972, вып. 303, с. 24—26.
 Левин Л. М. Исследования по физике грубодисперсных аэрозолей. М. Изд-во АН СССР, 1961, 267 с.
 Фукс Н. А. Механика аэрозолей. М., Изд-во АН СССР, 1957. 352 с.
 Шкодин А. И. Некоторые сведения об условиях работы линий электропе

редачи и связи в гололедных районах.—«Электричество», 1953, № 10 c. 90—99.

# НЕКОТОРЫЕ ЗАКОНОМЕРНОСТИ ФОРМИРОВАНИЯ ГОЛОЛЕДНЫХ НАГРУЗОК НА ПРОВОДА ЛЭП И ЛС В ГОРНЫХ РАЙОНАХ

При расчете гололедных нагрузок на линии электропередачи 1ЭП) и связи (ЛС) исходным материалом являются данные гидметеорологических станций (ГМС), полученные по наблюдениям жесткозакрепленном отрезке провода диаметром 5 мм, подшенном на высоте 2 м над поверхностью земли. Нагрузки на овода линий определяются введением поправочных коэффициенв к данным наблюдений ГМС. Для обоснованного пересчета нных ГМС необходимо установить закономерности изменения лоледных отложений применительно к конструктивным параметм линий. Основными из них являются закономерности изменеия гололедных отложений в зависимости от диаметра и высоты провода, его закручивания при гололедообразовании электрического поля провода. Для распространения данных ГМС а тот или иной участок ЛЭП важно знать также влияние микроельефа и угла встречи потока с проводом на интенсивность горледообразования [2, 6, 7, 10].

Используемые в настоящее время поправочные коэффициенты ля учета влияния диаметра и высоты подвеса провода [12] поучены в основном по результатам измерений на равнинной територии Советского Союза и нуждаются в специальной проверке

ля горных районов.

Не менее важной задачей при изучении гололедных нагрузок ледует считать выявление механизма гололедообразования на снове микрофизических измерений, а также установление роли гдельных метеорологических факторов в процессе гололедообравания. Это позволит по данным массовых наблюдений на сети МС, прогнозировать некоторые закономерности формирования рлоледных нагрузок на конструктивные элементы проектируемых ЭП.

Для решения этих и ряда других задач в условиях горной мегности Таджикским научно-исследовательским отделом энергетии (ТаджНИОЭ) с 1967 г. организовывались специальные наблюения на экспериментальных базах, расположенных на пер. Чоразак (1700 м) и пер. Анзоб (3400 м) [3], а также на горе Санглок 2300 м) и в Варзобском ущелье (Гушары, 1400 м). При выоре пунктов наблюдений ставилась задача выявления особенностей обледенения проводов в сильногололедных районах ра

личных зон и форм горного рельефа.

В вышеуказанных пунктах проводились измерения отложен на проводах разного диаметра, различно ориентированных отн сительно гололедонесущего потока и расположенных на высота 2 до 35 м над поверхностью земли. В районе экспер ментальных баз гололедно-измерительные установки располаг лись в различных формах микрорельефа. Измерение размере и веса отложения производилось по методике Гидрометслужбі гололедографами конструкции Е. Π. Никифоров также Н. А. Мальцева и дистанционными тензометрическими гололед мерами конструкции ТаджНИОЭ. В период нарастания гололеды изморозевых отложений регистрировалась температура воздух на высоте 2 м, ежечасно измерялись направление и скорость ветр на высоте 10 м. На пер. Чормазак дистанционно измерялись та же температура на высоте 2 и 36 м, градиент скорости ветра (д 31 м анемометрами М-92 с обогревом) и градиент водности тум на (до 36 м прибором В. А. Зайцева), а также производилос микрофотографирование капель тумана.

Влияние диаметра провода на величину гололедно-измороз вых отложений изучалось во всех четырех пунктах. Наблюдени проводились на алюминиевых трубках диаметром от 5 до 50 мустановленных перпендикулярно к преобладающему направлени ветра при гололеде. Во время наблюдений производились измерения веса и геометрических размеров отложения, а также зарк

совывалась их форма.

Объем полученных материалов следующий. В Гушарах произведено 10 измерений отложений мокрого снега при весе на 5-миллиметровом проводе от 50 до 250 г/м и плотности от 0,1 д 0,49 г/см³. На ст. Чормазак сделано 15 измерений отложений зернистой изморози и смеси ее с гололедом при плотности от 0,1 до 0,65 г/см³. Диапазон измеренных значений веса от 10 до 1200 г/м. По Санглоку имеется 18 измерений зернистой изморози и смеси с весом отложений от 50 до 600 г/м и плотности о 0,14 до 0,78 г/см³. На ст. Анзоб сделано 44 измерения отложени зернистой изморози, смеси и гололеда с весом от 50 до 1100 г/м Плотность зернистой изморози от 0,1 до 0,62 г/см³, смеси от 0,2 до 0,83 г/см³, гололеда от 0,54 до 0,88 г/см³.

Изменение параметров отложения на проводах разного диа метра оценивалось относительно 5-миллиметрового провода. Иссле довались парные корреляционные зависимости между параметра ми отложений на проводе данного диаметра и их значениями н 5-миллиметровом проводе. При наличии значимой связи находи лись уравнения регрессии и доверительных границ, учитывающи отклонения индивидуальных значений от линии регрессии на уров не 95% вероятности. Затем по линиям регрессии и верхним до верительным границам находились отношения (средние и их воз можные превышения при принятой доверительной вероятности) па раметров отложения на проводах разных диаметров и 5-миллимет

вом проводе при фиксированных значениях их на последнем. настоящей статье приводятся результаты только для двух паметров отложения— веса *P* и толщины стенки гололеда *b*.

Зависимости этих параметров от диаметра провода характериют коэффициенты

$$K_{pd} = \frac{P_d}{P_5}$$
 и  $K_{bd} = \frac{b_d}{b_5}$ .

Коэффициенты  $K_{pd}$  и  $K_{bd}$ , найденные по уравнениям верхних оверительных границ, в дальнейшем названы максимальными отличие от средних, полученных по уравнениям регрессий.

Результаты вычислений для веса отложения представлены табл. 1, для толщины стенки гололеда— в табл. 2. В последней акже приведены поправочные коэффициенты, рекомендуемые Н 318-65 [12]. Максимальные значения  $K_{bd}$  во всех пунктах казались общими для всех фиксированных толщин стенок голоеда на 5-миллиметровом проводе и поэтому они приведены тольо в одной строке.

Приведенные в таблицах данные показывают, что с увеличеием диаметра провода вес отложений увеличивается, а толщина тенки гололеда уменьшается. С увеличением нагрузки, т. е. по ере развития гололедообразования, эти изменения становятся

се меньше, особенно на проводах большого диаметра.

Основными причинами различий в величине отложений на проодах разного диаметра, как следует из теоретического рассмотреня вопроса [1], являются различия в размерах капелек тумана скорости ветра. С укрупнением капель и увеличением скорости етра при гололеде (до определенного предела) коэффициент  $K_{pd}$  олжен увеличиваться. Известно также, что гололед образуется ри более крупных каплях, чем изморозь [8], капли в более выоких частях облака крупнее [13], скорость ветра с высотой над ровнем моря обычно возрастает. Отсюда можно было бы сделать ыводы о зависимости  $K_{pd}$  от вида отложения и высоты местноти. Однако детальный анализ материалов наших наблюдений показал следующее.

На пер. Анзоб коэффициенты  $K_{pd}$  для гололеда и изморози этличаются незначительно. В то же время для зернистой изморози

з разных пунктах они различаются существенно.

Коэффициенты  $K_{pd}$  на более высоко расположенном Санглоке меньше, чем на Чормазаке, за счет больших скоростей ветра на последнем.

Наиболее высокие значения коэффициентов  $K_{pd}$  на Анзобе по сравнению с Чормазаком обусловлены большими скоростями ветра при гололеде и, видимо, более крупными каплями в облаках, закрывающих перевал.

Коэффициенты для мокрого снега (единственного вида обледенения в Гушарах) наиболее высокие, но в сравнительный анализ они не входили, так как в других пунктах этот вид отложения

Поправочные коэффициенты  $K_{pd}$  для пересчета среднего и максимального (в скобках) веса отложения на проводах разных диаметров при фиксированных значениях его на 5-миллиметровом проводе  $(P_5)$ 

			Ди	аметр прово	ода, мм		
Р₅г/м	5	10	15	20	30	40	50
			Гу	шары			i
50—250	1	1,22	1,59	1,86	2,56	2,92	3,28
		(1,5)	(2,2)	(2,6)	(3,6)	(4,4)	(6,9)
			Чор	мазак			
100	1	1,16	1,31	1,43	1,61	1,74	1,82
		(1,33)	(1,82)	(2,1)	(2,58)	(3,0)	(3,42)
300	, 1	1,09	1,16	1,23	1,3	1,38	1,45
		(1,15)	(1,33)	(1,42)	(1,62)	(1,8)	(2,0)
600	1	1,08	<b>1</b> ,11	1,15	1,21	1,3	1,35
		(1,11)	(1,18)	(1,25)	(1,37)	(1,49)	(1,62)
1000	1	1,08	1,09	1,12	1,17	1,2	1,22
ļ		(1,09)	(1,14)	(1,19)	(1,27)	(1,32)	(1,38)
•		•	, C	і англок	•	'	1
100	1	1,06	1,1	1,14	1,22	1,3	1,36
		(1,3)	(1,33)	(1,37)	(1,44)	(1,48)	(1,31)
300	1	1,04	1,07	1,1	1,16	1,2	1,27
-		(1,16)	(1,2)	(1,22)	(1,29)	(1,35)	(1,41)
600	1	1,02	1,03	1,05	1,09	1,14	1,19
		(1,11)	(1,14)	(1,18)	(1,24)	(1,3)	(1,36)
			Ai	нз <b>о</b> б		•	•
100	1	1,25	1,4	1,56	1,85	2,1	2,3
1		(2,0)	(2,3)	(2,5)	(3,3)	(4,0)	(4,5)
300	1	1,2	1,32	1,6	1,74	1,99	2,22
1		(1,43)	(1,83)	(2,1)	(2,7)	(3,2)	(3,5)
600	1	1,16	1,26	1,39	1,62	1,85	2,05
j		(1,33)	(1,6)	(1,8)	(2, <b>2</b> )	(2,6)	(2,8)
1000	1	1,13	1,22	1,33	1,53	1,72	1,88
)		(1,25)	(1,4)	(1,58)	(1,93)	(2,15)	(2,4)

не наблюдался. Закономерности налипания мокрого снега на провода разного диаметра следует рассматривать особо, ибо физика этого процесса иная.

Таким образом, непосредственной существенной зависимости интенсивности нарастания на проводах различного диаметра от

Поправочные коэффициенты  $K_{bd}$  для пересчета средней и максимальной (в скобках) толщины стенки гололеда на провода разных диаметров при фиксированных значениях ее на 5-миллиметровом проводе  $(b_5)$ 

			Ди	аметр прово	да, мм			
<i>b</i> <sub>5</sub> мм	5	10	15	20	30	40	50	
			Гуп	ары				
2,5-7	1	0,82	0,77	0,73	0,65	0,59	0,52	
}		(0,96)	(0,92)	(0,9)	(0,84)	(0,82)	(0,82)	
			Чор	мазак				
4	1	0,79	0,67	0,59	0,45	0,4	0,31	
8	1	0,87	0,76	0,68	0,54	0,46	0,43	
12	1	0,88	0,78	0,71	0,59	0,51	. 0,47	
16	1	0,88	0,81	0,74	0,64	0,55	0,5	
		(0,94)	(0,86)	(0,79)	(0,7)	(0,67)	(0,65)	
			С	англок				
4 [	1	0,71	0,55	0,45	0,33	0,27	0,2	
8	1	0,81	0,7	0,57	0,45	0,37	0,34	
12	1	0,85	0,75	0,62	0,5	0,42	0,39	
		(0,9)	(0,8)	(0,7)	(0,6)	(0,5)	(0,45)	
			A	нзоб				
4	1	0,85	0,72	0,64	0,54	0,46	0,41	
8	1	0,91	0,81	0,75	0,64	0,59	0,54	
12	1	0,93	0,86	0,82	0,72	0,67	0,62	
16	1	0,94	0,88	0,86	0,78	0,71	0,65	
	,	(1,02)	(1,0)	(0,99)	(0,97)	(0,96)	(0,95)	
'			СН	318-65	•	•		
	1	0,92	0,86	0,81	0,73	0,67	0,64	

вида отложения в горах не установлено. Не обнаруживается также однозначной зависимости закономерностей изменения величины отложения с увеличением диаметра провода от высоты местности над уровнем моря.

При прогнозе зависимости веса отложения от диаметра провода, кроме высоты местности, косвенно характеризующей размеры капель, видимо, в большей мере следует учитывать особенности ветрового режима, тесно связанные в горах с микрорельефом.

Микрофизические условия обледенения проводов обусловлявают также форму отложения [5], которая может быть охаракт ризована соотношением большого a и малого c диаметров его c/a. Поэтому не исключена связь отношения c/a с коэффицие тами  $K_{pd}$ .

В исследованных пунктах согласие в ходе изменений коэфф циентов  $K_{pd}$  и c/a обнаруживается: c/a равно на Санглоке 0,5

Чормазаке 0,39, Анзобе 0,35.

При подтверждении такой связи в ряде других характерны районов и определении соответствующих количественных соотнешений можно прогнозировать зависимость веса отложения от диаметра провода  $K_{pd}$ , располагая только данными наблюдений  $\Gamma M$  на гололедном станке.

Из сравнения полученных по нашим измерениям поправочны коэффициентов для учета влияния диаметра провода на толщин стенки гололеда  $K_{bd}$  и принятых в CH 318-65 видно, что есл в некоторых пунктах (Санглок, Чормазак) даже максимальны их значения равны или ниже, чем в CH 318-65, то на Анзобе и Гушарах лишь средние значения  $K_{bd}$  находятся на уровне коэффициентов CH 318-65. Следовательно, для отдельных горных рай онов, где гололедно-изморозевые явления наблюдаются при доста точно сильном ветре или максимальные нагрузки создаются нали панием мокрого снега при слабом ветре, принятие коэффициенто  $K_{bd}$  по CH 318-65 не гарантирует надежности ЛЭП.

Влияние высоты подвеса провода на интенсивность гололедны

отложений изучалось в следующих формах рельефа:

— на дне Варзобского ущелья (Гушары) до высоты 8 м (уста новка 1);

- на гребне хребта с круто обрывающимися склонами в рай оне пер. Чормазак до высоты 36 м (установка 2);
- на пологом северном склоне хребта в районе пер. Чорма зак, с превышением гребня над основанием установки в 40 м, до высоты 19 м (установка  $\beta$ ), при этом установка различно затене на склоном относительно разных направлений ветра;
- на вершине одного из холмов горы Санглок до высоты 11 м (установка 4), при этом окружающие холмы ниже исследуемого на 50—100 м;
- на плоской седловине пер. Анзоб до высоты 11 м (уста новка 5);

— на крутом южном склоне пер. Анзоб, на 100—200 м ниже

гребня хребта, до высоты 16 м (установка 6).

Диаметр исследуемых отрезков проводов 5—8 мм. На разных установках проведено от 8 до 40 измерений при весе отложений на высоте 2 м до 800 г/м. Частично веса отложений измерялись непосредственно, другие же вычислялись по размерам осадка и плотности, полученной на высоте 2 м. Материалы наблюдений статистически обрабатывались так же, как при изучении влияния диаметра провода.

Изменение параметров отложения в зависимости от высоты двеса провода над поверхностью земли h оценивалось относильно их значений на высоте 2 м.

В данной статье приводятся результаты для веса P и большого заметра a отложения.

По схеме, описанной при исследовании влияния диаметра прорда, находились отношения

$$K_{ph} = \frac{P_h}{P_2}$$
 и  $K_{ha} = \frac{a_h}{a_2}$ .

Анализ результатов показал, что значения  $K_{ph}$  уменьшаются увеличением веса отложения, что также отмечено и теоретически босновано в работе [9].

Tаблица 3 Поправочные коэффициенты  $K_{ph}$  для пересчета среднего и максимального (в скобках) веса отложения на разных высотах над поверхностью земли

C	Уста-				Высота,	M			_
Станция	новка	2	4	8	12	16	20	25	35
ушары	1	1		0,98 (1,19)					4
			1,17	1,25	1,24	1,23	1,21	1,2	1,2
ормазак	2	1	(1,35)	(1,43)	(1,46)	(1,47)	(1,47)	(1,47)	(1,47)
			1,35	1,62	1,75	1,8			á
ормазак	3	1	(2,1)	(2,3)	(2,5)	(2,5)			
			1,2	1,3	1,33		]		
англок	4	1	(1,5)	(1,65)	(1,65)				
	5	١.	1,25	1,37	1,4				ļ
нз <b>о</b> б		] 1	(1,5)	(1,7)	(1,8)	}			
нзоб	6	1 .	1,1	1,2	1,27	1,33			
нзоо		1	(1,21)	(1,45)	(1,55)	(1,65)			
овопяти- горск, ВНИИЭ		1	1,2	1,6	2,0	2,4	2,7		3,1

В табл. 3 приведены значения  $K_{ph}$  для веса отложения на высоте 2 м, равного 500 г/м на установках 2—5 и 200 г/м на установках 1, 6.

Значения  $K_{ah}$  представлены в табл. 4 при  $a_2 = 50$  мм на всех установках.

Как видно из таблиц 3 и 4, отложения мокрого снега в Гушарах на высоте 2—8 м не увеличиваются, что подтверждает результаты измерений в Грузии [14]. Для остальных пунктов, где наблюдались зернистая изморозь, гололед и смесь, характерен довольно

быстрый рост отложений до высоты 8 м, затем его замедлен и с высоты 12—14 м прекращение. Верхняя граница этого сл практически неизменных отложений не обнаружена до 52 м, к показали дополнительно проведенные наблюдения на телевизио ной мачте пер. Чормазак.

Результаты измерений автора существенно отличаются от плученных на стенде ВНИИЭ в Новопятигорске [9]. Увеличен веса гололедных отложений с изменением высоты над повер ностью земли от 2 до 10 м, по данным автора, на 40% меньше выше 10 м разница еще больше увеличивается.

Tаблица Поправочные коэффициенты  $K_{ah}$  для пересчета относительных среднего и максимального (в скобках) больших диаметров отложения на разных высотах над поверхностью земли

	Уста-	ļ	Высота, м													
Станция	новка	2	4	8	12	16	20	25	35							
•						l 										
Гушары	1 . 1	1	[	0,94					-							
				(1,0)	,											
Чормазак	2	1	1,11	1,15	1,15	1,14	1,13	1,12	1,1							
			(1,3)	(1,38)	(1,45)	(1,5)	(1,5)	(1,5)	(1,5)							
Чормазак	3	1	1,3	1,5	1,54	1,54										
			(1,7)	(2,1)	(2,2)	(2,2)			1							
Санглок	4	1	1,16	1,18	1,17											
	ŧ		(1,32)	(1,45)	(1,45)											
Анзоб	5	1 1	1,17	1,32	1,32		* 1		1							
			(1,5)	(1,55)	(1,6)											
Анзоб	6	1	1,03	1,08	1,14	1,2										
	1		(1,1)	(1,18)	(1,26)	(1,32)			-							

Интенсивность нарастания отложения с увеличением высоти над поверхностью земли неодинакова в разных формах рельефа Наибольшей интенсивность нарастания оказалась на невысоког пологом склоне (установка 3), в остальных формах рельефа она значительно ниже и различия коэффициентов  $K_{ah}$  несущественны

Поскольку интенсивность нарастания гололедных отложений зависит от скорости ветра и водности тумана, изменение ее с вы сотой должно определяться вертикальным распределением этих элементов.

Градиентные измерения водности тумана на пер. Чормазак по казали, что она увеличивается от поверхности земли лишь до вы соты 4 м, далее до 36 м не изменяется.

Таким образом, есть основания предполагать, что выше 4 м офили гололедных отложений будут определяться вертикальным

спределением скорости ветра.

Действительно, градиенты измерения скоростей ветра в этих же нктах показали, что различия вертикальных профилей гололедих отложений находятся в качественном согласии с различиями офилей ветра. Так, на установке 3 оказалось наиболее сильное врастание скорости ветра с высотой, что связано с неравномерим затенением установки невысоким пологим склоном. Прекраение возрастания скорости ветра также обнаруживается с высо-

В горных районах, где гололедные отложения преимушественобразуются в закрывшем горы облаке, до высоты не менее 50 м новным фактором, формирующим их профили, является ветеротому приближенное представление о вертикальном профиле лоледа можно получить по градиентным измерениям скорости тра гололедонесущих направлений, которые можно провести

теплый период года.

Зависимость веса гололедных отложений от угла встречи прорда с потоком изучалась в основном на пер. Чормазак. Наблюделя проводились на проводах диаметром 5, 15 и 22 мм, установнных под различными углами к потоку через 22,5°. Для обеспения постоянства углов встречи в при меняющемся по направлено ветре установка с проводами соединена с флюгаркой. Взаимотенение проводов исключено разносом их на рядом стоящие тановки.

Наибольшее число измерений (27) проведено на проводах диаетром 5 мм при диапазоне веса отложений от 30 до 330 г/м. Вес гложения на различно ориентированных проводах  $P_{\beta}$  оценивался гносительно значения его на проводе, расположенном перпендиулярно потоку  $P_{90}$ . Значения  $K_{p\,\beta} = \frac{P_{\beta}}{P_{90}}$ , средние и максимальные, риведены в табл. 5 при значении  $P_{90} = 300$  г/м.

Таблица 5

Поправочные коэффициенты  $K_{p\beta}$  для пересчета относительных среднего и максимального (в скобках) веса отложения на проводах, различно ориентированных к потоку

β									90	67,5	45	22,5	0
$K_p$	β			٠.		•			1	0,93	0,88	0,76	0,42
_	٠.									(1,06)	(1,14)	(1,04)	(0,55)

Оценка по средним значениям  $K_{\rho\beta}$  показывает, что с уменьцением угла встречи вес отложения убывает. Однако максимальые значения  $K_{\rho\beta}$  на уровне 95% обеспеченности свидетельствуют существенном уменьшении веса отложений только на проводах, асположенных вдоль потока, что практически возможно лишь на тдельных участках узких ущелий [11]. На проводах других диаметров зависимости веса отложен от угла встречи с потоком получились аналогичными.

На пер. Анзоб и на горе Санглок влияние направления пото на вес отложения изучалось на жестко закрепленных провод установленных широтно, меридионально и под углом 45° к ни Из замеров по ним в каждом случае обледенения выбирались на большие и наименьшие значения. Отношения наименьших вес к наибольшим в среднем равны на Санглоке 0,78, на Анзобе 0,3 Наименьшие значения весов отложения на Санглоке чаще, а Анзобе всегда наблюдались на меридиональном проводе. Такі образом, существенное снижение веса отложения наблюдает только на пер. Анзоб с относительно устойчивым направления гололедонесущего потока в седловине хребта.

Анализировались также веса отложений на вертикально и горизонтальных (широтном и меридиональном) провода В каждом случае отложения вес на вертикальном проводе сранивался с наибольшим и наименьшим значениями его на горизо тальных. Значения средних отношений равны соответственно 1, и 1,64— по измерениям на Чормазаке, 1,0 и 1,48— на Сангло и 1,0 и 1,43— на Анзобе. Таким образом, максимальные веса отл жения на вертикальных и горизонтальных проводах почти не о личаются.

Этот вывод относится, конечно, к отложениям, которые обр зуются в тумане или облаках. В случае образования отложения переохлажденного дождя или мороси, а также налипания мокроснега соотношения будут другие.

Влияние микрорельефа на интенсивность гололедообразовани изучалось в районах перевалов Чормазак и частично Анзоб. Н пер. Чормазак наблюдения проводились в 9 пунктах на гололедны станках высотой 2 м. Пункты располагались по гребню и обои склонам (середина и подножье) отрога, ориентированного с ЗЮ на ВСВ. Местность по гребню повышается в востоко-северо-во точном направлении. Южный склон крутой с понижением от гребня до промежуточной террасы на 120 м, северный — пологий, пр понижении на 75 м также переходит в террасу.

При сравнении величин отложений за опорный выбран один и пунктов, расположенный на гребне. Остальные пункты удален

от опорного на 200-500 м, лишь один на 2,5 км.

Объем наблюдений в различных пунктах неодинаков и колеслется от 10 до 50 измерений. Диапазон охваченных измерениям размеров большого диаметра отложения от 20 до 120 мм в опогном пункте. Анализировались соотношения больших диаметро отложений в пунктах, поскольку вес измерялся примерно в половине случаев.

В среднем изменение размеров отложений по гребню несуще ственно, только с повышением на 65 м на удаленном пункте на блюдается увеличение на 20%. На обоих склонах, особенно н их середине, отложения меньше, чем на гребне, за исключение подножья южного склона, где они одинаковы с опорным пунктом

а северном склоне уменьшение величины отложений более значильное— на 50%, так как в районе исследований преобладают

го-восточные и юго-западные ветры при гололеде.

При детальном анализе отдельных случаев гололедообразоваия обнаружилось, что соотношения отложений в пунктах значильно отличаются в зависимости от направления гололедонесуего потока, ибо разные пункты оказываются неодинаково затеэнными. В некоторых случаях эти существенные отличия от редних соотношений размеров отложений в разных формах икрорельефа связаны с особенностями синоптических процессов 4]. Обычно увеличение отложений происходит в местах, где содаются локальные усиления ветра за счет микрорельефа (подожие южного склона пер. Чормазак).

Существенных изменений температуры воздуха и водности туана в пределах превышений порядка 100 м ожидать не следует,

собенно при закрытии гор мощным слоем облаков.

Сравнение соотношений гололедных отложений в пунктах налюдений при различных направлениях гололедонесущего потока соотношениями скоростей ветра этих же направлений показывает орошее их качественное согласие. Подтверждают сказанное и налюдения на пер. Анзоб. Они проводились в продуваемой седловие хребта и на такой же высоте в 500 м восточнее, где южные голедонесущие потоки экранируются высоким (100—200 м) круым склоном. Среднее отношение больших диаметров отложения а склоне и перевале получилось 0,5. Соотношение скоростей вета в этих же пунктах равно 0,7.

Таким образом, в связи с большим разнообразием форм микроельефа в горных условиях при оценке гололедоопасности района проектирования ЛЭП необходимо проводить анемометрические въемки, пока не будут выработаны оптимальные коэффициенты

іля учета рельефа местности.

### Заключение

Проведенные экспериментальные исследования свидетельствуот о необходимости уточнения некоторых рекомендаций СН 318-5 для горных районов Средней Азии. Особенно следует подперкнуть необходимость расширения подобных исследований в горной местности с тем, чтобы получить оптимальные критерии учеа влияния разнообразных форм микрорельефа при расчете голопедных нагрузок на провода и опоры ЛЭП.

#### ЛИТЕРАТУРА

І. Базилевич В. В. Влияние микроструктуры тумана на обледенение про-

водов.—«Труды ГГО», 1947, вып. 3(65), с. 34—41.
2. Бургсдорф В. В., Муретов Н. С. (ред.). Расчетные климатические условия высоковольтных линий электропередачи. Т. 1. Гололедные нагрузки воздушных линий электропередачи в СССР. М. Госэнергоиздат, 1960. 208 с. (Труды ВНИИЭ. Вып. 10.)

3. Волков А. С., Трестман А. Г. Экспериментальная база Зардолю.—«Тру

ды ТаджНИОЭ», 1971, вып. 3, с. 180—195. 4. Волков А. С., Савченко Л. А. Синоптические условия обледенения про водов по проектируемой трассе ЛЭП Нурек — Тапкент. — «Трулы Талж НИОЭ», 1971, вып. 3, с. 165—170.

5. Дмитриев А. А. К вопросу о форме поперечного сечения отложения и капельно-жидкого переохлажденного тумана.—«Труды ГГО». 1947. вып 3(65), c. 68—69.

6. Заварина М. В., Глухов В. Г. К определению максимальных гололед ных нагрузок на высотные сооружения. -«Метеорология и гидрология»

1970, № 7, с. 45—51. 7. Клинов Ф. Я. Изморозь и гололед в нижнем 300-метровом слое атмо сферы. Л., Гилрометеоиздат, 1970, 67 с.

8. Никифоров Е. П. Распределение веса гололедообразования на провода: различного диаметра.—«Труды ВНИИЭ», 1961, вып. 11, с. 274—288.

9. Никифоров Е. П. Влияние высоты подвеса провода на вес отложения го лоледа.—«Электрические станции», 1962, № 4, с. 62—66. 10. Руднева А. В., Бассарская Т. А. Учет рельефа местности при расче-

те гололедных нагрузок.—«Труды ГГО», 1967, вып. 210, с. 47—56.

11. Савченко Л. А. Зависимость интенсивности обледенения от угла встречи потока с проводом в горных условиях.—«Труды ТаджНИОЭ», 1971, вып. 3 c. 215—224.

12. Указания по определению гололедных нагрузок. СН 318-65. М., Госстрой-

издат, 1966. 19 с. 13. Хргиан А. Х. Некоторые данные о микроструктуре облаков.—«Труды ЦАО», 1952, вып. 7. с. 50—55.

14. Чиракадзе Г. И. Схема гололедного районирования Закавказья.— «Труды ТбилНИГМИ», 1959, вып. 4, с. 124—152.

### ІЛОТНОСТЬ ГОЛОЛЕДНО-ИЗМОРОЗЕВЫХ ОТЛОЖЕНИЙ НА ТЕРРИТОРИИ УКРАИНЫ

Для расчета гололедных нагрузок на провода воздушных лий и элементы сооружений необходимы сведения о плотности лоледно-изморозевых отложений (ү), так как размеры отложей всегда измеряются, а вес их не всегда измерялся.

При составлении карты гололедного районирования территои СССР для СНиП [3], расчет веса отложений производился

средней плотности (объемному весу).

Средние значения для различных видов отложений принимась одинаковыми для всей территории СССР: для гололеда— 75 г/см<sup>3</sup>, смеси и мокрого снега—0,2, зернистой изморози— 1, кристаллической изморози—0,05 г/см<sup>3</sup>.

В работах [1, 2, 4] показано, что плотность гололедно-изморовых отложений существенно изменяется в зависимости от физи-географических условий и местоположения гидрометеорологи-

ской станции (ГМС).

В данной работе устанавливается зависимость плотности голодно-изморозевых отложений (γ) от физико-географических услови. Для этой цели использованы материалы инструментальных аблюдений 178 ГМС, расположенных на территории Украины имеющих 25-летний ряд наблюдений над гололедно-измороземии явлениями.

Детальное изучение характера рельефа местности, произведенре ранее [6], позволяет выделить на территории Украины семь новных разновидностей или типов рельефа, отличающихся иннсивностью гололедообразования. Выделение этих типов рельеа производилось с учетом относительной высоты местности, стеени ее защищенности по отношению к преобладающим при отожении гололеда и изморози ветрам, а также экспозиции того икросклона, на котором находится данная ГМС.

Тип рельефа I. Узкие, большей частью меридионально ориентирванные долины рек, защищенные с запада и востока высокими разышенностями, превышающими высоту долины на 50—100 м более. ГМС расположена в долине реки и превышает ее уровень

е более чем на 10 м.

Тип рельефа II. Холмистая пересеченная местность. Сравниельно узкие, небольшие долины равнинных или горных рек, защищенные с запада и востока возвышенностями (или высокими бер

гами), превышающими уровень долины на 20-40 м.

Тип рельефа III. Равнина, степь или широкая долина реки бе заметного наклона и с довольно пологими берегами. Местопол жение ГМС не доминирует над окружающей местностью и прев шает ее уровень не более чем на 10 м.

Тип рельефа IV. Хорошо выраженные, открытые с востока юх ные или северные склоны возвышенностей и водораздельных пл то. Местоположение ГМС превышает уровень прилегающей долг ны на 10 м или более.

Тип рельефа V. Центральная часть небольших водораздельны плато, наветренные (восточные) довольно пологие склоны небол ших возвышенностей или речных долин, как правило, открыть с востока. Высота пункта превышает уровень прилегающей долг ны на 10—25 м.

Тип рельефа VI. Вершины холмов, центральные части водора дельных, довольно ровных плато, превышающие уровень прило гающих долин на 25-50 м.

Тип рельефа VII. Сильнопересеченная местность. ГМС распо ложены на вершинах холмов, горных перевалах, открытых с во тока и запада, превышающих окружающую местность на 50 и более.

Для каждого из этих типов подсчитаны плотности гололедно изморозевых отложений.

Расчеты у выполнялись с помощью номограммы, построенно М. В. Завариной [5] по формуле:

$$\gamma = \frac{P}{78(ac - d^2)} \Gamma/CM^3,$$

где P — вес гололедно-изморозевого отложения, a и c — его диа метры, d — диаметр провода гололедного станка.

 $\Pi$ о оси абсцисс этой номограммы отложены значения (ac $d^2$ ) (в см<sup>2</sup>), по оси ординат — значения веса отложения P, г (т и другие в логарифмической шкале). По наклонным линиям опре делялась плотность отложения.

Для того чтобы избежать ошибок при определении плотност отложений, связанных с неточностью определения их размеро и веса при длительных гололедных периодах, использовалис только синхронные измерения веса и диаметров отложения. Есл вес и размеры отложений на сменном проводе измерялись неодно кратно, а потом суммировались, то это приводило к неправильно оценке действительного отложения, наблюдавшегося на постоян ном (контрольном) проводе и к завышению плотности. Такие слу чаи из расчетов исключались.

В табл. 1 приведены средние и экстремальные значения плот ности гололедно-изморозевых отложений для различных типо рельефа на территории Украины. Из таблицы видно, что средни значения плотности гололеда составляют 0,65 г/см3. Наименьше

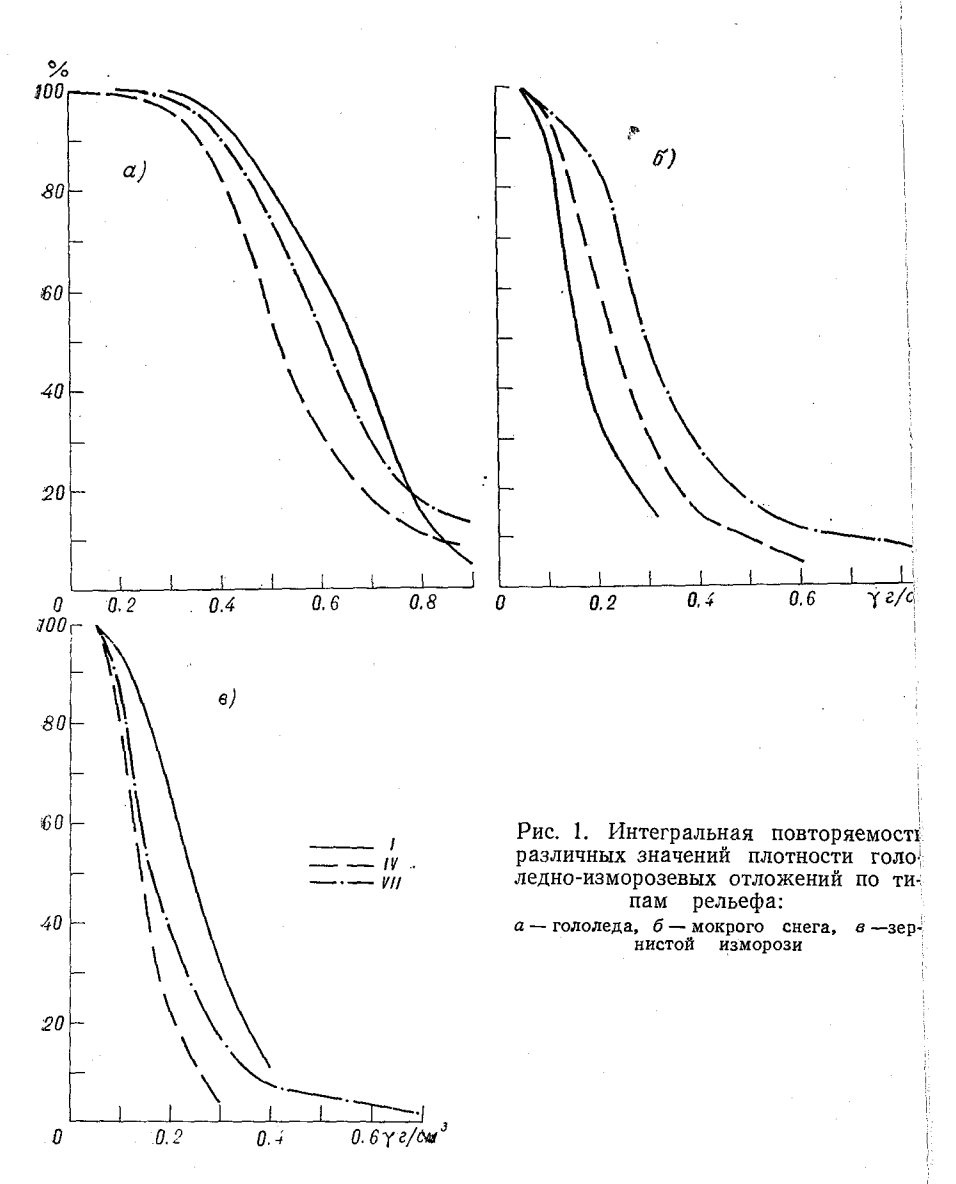
Плотноеть (г/см3) гололедно-изморозевых отложений в различных типах рельефа

горозь	u	20	52	20	40	9	41	50
та Кристаллическая изморозь	Ymin	0,02	0,02	0,05	0,02	0,02	0,02	90,0
талличе	Ymax	0,1	0,1	0,1	0,1	0,2	0,1	0,5
Kpuc	-	0,05	0,05	0,05	0,05	0,05	0,05	0,05
.   <sub>e</sub>	u .	81	48	20	2 +		33	27
Зернистая изморозь	Tmin	0,05	0,05	0,05	0,05	0,05	0,05	0,05
Вернистая изморозь Кри	T <sub>m2x</sub>	0,4	9,0	7'0	0,3	0,5	2,0	0,7
3ep	-	0,14	50 0,16	0,1	0,12	0,17	0,18	5 0,17
-	u	32	20	44	61	50 0,17	25	ى م
	7 m in	0,05	0,05	0,05	0,05	0,1	0,05	0,10
Мокрый снег	Ymax	0,3	8,0	2,0	9'0	8,0	6,0	0,5
	1-	0,14	0,25	6,0	0,23	0,25	6,0	e'0
	и	91	55	50	48	00	20	09
SCb SCb	Ymin	0,10	0,05	0,10	0,05	0,05	0,05	0,05
CMecb	Ymax	6'0	0,75	6'0	6,0	8,0	6'0	8,0
	-	0,25	0,24	0,24	0;0	0,28	0,29	0;30
	u	20	61	20	20	09	54	57
	Ymin	0,3	0,3	0,2	0,1	6,0	0,3	0,2
Гололед	Ттах	6,0	6'0	6'0	6,0	6,0	6'0	6'0
	1-	09'0	0,61	9,65	0,50	0,65	0,65	0,65
	Число стан- ций	22	32	37	15	42	17	13
	Тип релье- фа		Ξ.	Ш	2	>	ΛΙ	VII

значение  $\gamma = 0.5$  г/см<sup>3</sup> в типе рельефа IV (защищенные с запалюжные или северные склоны возвышенностей и водораздельне плато).

Типы рельефа V—VII характеризуются одинаковыми значниями  $\gamma$  гололедно-изморозевых отложений. Сюда включены ГМ которые по местоположению выше окружающей местности на 10 и более.

Плотность смеси в типах рельефа I—III равна 0,24—0,25, а



IV—VII—0,28—0,30 г/см3. Значения плотности мокрого снега изменяются от 0,14 г/см<sup>3</sup> в типе I до 0,3 в типах VI и VII. Плотность зернистой изморози в среднем составляет 1,5 г/см3.

Интересно отметить, что плотность кристаллической изморози остается неизменной по величине во всех типах рельефа и равна 0,05 г/см3. Это указывает на то, что на плотность кристаллической изморози формы рельефа влияния не оказывают.

Значения плотности отложений повышаются с увеличением типа рельефа (V-VII). Так как к этим типам отнесены ГМС, находяшиеся на возвышенных местах и открытые ветрам, преобладающим при гололедно-изморозевых отложениях, то, очевидно, это и способствует уплотнению отложений.

Кроме средних и экстремальных значений, рассчитаны интегральные повторяемости различных значений плотности. Оказалось, что интегральная повторяемость значений плотности смешанных отложений сходна с интегральной повторяемостью значений плотности мокрого снега, поэтому на рис. 1 приводится в качестве примера распределение плотности гололеда и изморози по трем наиболее характерным типам рельефа I, IV и VII, а плотности мокрого снега по типам рельефа I, ÎV и VI, так как в типе рельефа VII за 25 лет зарегистрировано всего 5 случаев отложений мокро-

Из рис. 1 видно, что распределение значений плотностей отложений изменяется в зависимости от типа рельефа. При расчетах веса отложений по размерам и плотности необходимо принимать во внимание не только средние значения плотности, но и участки интегральной кривой справа и слева от средней плот-

Полученные уточненные значения плотностей гололедно-изморозевых отложений должны учитываться при расчетах гололедных нагрузок.

#### ЛИТЕРАТУРА

1. Белоус И. М. О расчете максимальных стенок гололеда на проводах линий электропередач в горных районах Тянь-Шаня.— «Труды ГГО», 1969, вып. 246, с. 31-40.

2. Белоус И. М. Влияние физико-географических и метеорологических условий на плотность гололедно-изморозевых отложений. — «Труды ГГО», 1970,

вып. 265, с. 45—51. 3. Бургсдорф В. В., Муретов Н. С. (ред.). Расчетные климатические условия для высоковольтных линий электропередачи. Т. 1. Гололедные нагрузки воздушных линий электропередачи в СССР. М., Госэнергоиздат, 1960. 208 с. (Труды ВНИИЭ. Вып. 10.) 4. Заварина М. В. Удельный вес гололедно-изморозевых отложений.—«Труды

ГГО», 1970, вып. 265, с. 30—45. 5. Заварина М. В., Глухов В. Г. К методике расчета гололедных и гололедно-ветровых нагрузок на провода воздушных линий.— Инфор. письмо ГУГМС № 19. М., Гидрометеоиздат, 1972, с. 120—130.

6. Раевский А. Н. Влияние рельефа на распределение гололедно-изморозевых

отложений.—«Труды ОГМИ», 1961, вып. 23, с. 3—11.

# ЭКСПЕРИМЕНТАЛЬНОЕ ИССЛЕДОВАНИЕ ПУЛЬСАЦИЙ ГОРИЗОНТАЛЬНОЙ СОСТАВЛЯЮЩЕЙ СКОРОСТИ ВЕТРА В ПРИЗЕМНОМ СЛОЕ ВОЗДУХА

В настоящее время механический расчет проводов контактно сети и ЛЭП производится на действие статической ветровой на грузки, которая определяется исходя из максимальной скорости ветра возможной раз в 5 или 10 лет. Указанный метод расчета не учитывает действительной картины поведения проводов в турбу лентном воздушном потоке. Для перехода к динамическому рас чету проводов необходимо исследовать характер ветровой нагрузки на высоте 8—15 м от подстилающей поверхности как пространственно-временного процесса. Этому были посвящены эксперименты на полигоне контактной сети в районе г. Новороссийска. Место проведения экспериментов было определено тем, что в данном районе часто дуют сильные ветры северо-восточного направления.

В пролете длиной 80 м на высоте 10 м от земли через каждые 20 м были установлены пять датчиков анемографа М-27-С для регистрации горизонтальных пульсаций скорости ветра. Пролет был ориентирован перпендикулярно действию средней скорости ветра. Запись производилась непрерывно в течение 2 мин в вечерние часы. За время экспериментов зарегистрирован максимальный порыв ветра, равный 30 м/с. Полученные осциллограммы обрабатывались на графопреобразователе с дальнейшим обсчетом на ЭВМ БЭСМ-4.

Рассчитанные для каждой из пяти точек временные корреляционные функции пульсаций скорости ветра имеют аналогичный характер (рис. 1). Осредненные по нескольким реализациям они имеют вид плавно затухающей кривой. Значение нормированного на  $\sigma^2$  коэффициента корреляции при  $\tau=4,0$  с не превышает 0,1.

С достаточной точностью экспериментальные кривые аппроксимируются показательной функцией вида

$$R(\tau) = \sigma^2 e^{-\alpha|\tau|}.$$
 (1)

По данным экспериментов, значение показателя степени  $\alpha$  для различных точек пролета находится в пределах 0,6+0,7 при средней скорости ветра  $\overline{v}=12,2\,$  м/с и высоте над уровнем земли  $z=10\,$  м. Для технических приложений более удобна аппроксимация на основе теории изотропной турбулентности с переходом от структурных функций к корреляционным. В этом случае характер корреляционной функции может быть определен заданием физиче-

тх параметров подстилающей поверхности и воздушного потока, заданием таких величин, как шероховатость подстилающей поэхности  $z_0$ , высота над землей z и средняя скорость ветра  $\overline{v}$ . Тог-

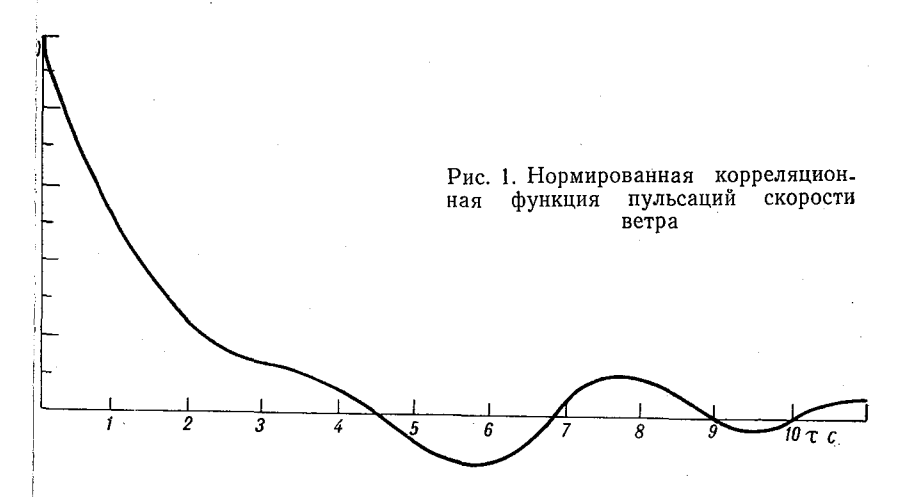
$$R(\tau) = \sigma^2 - \frac{1}{2} c_1 (\bar{\epsilon} \, \bar{v})^{2/3} \, \tau^{2/3}, \qquad (2)$$

ε — средняя скорость диссипации энергии, равная при безразной стратификации

$$\overline{\varepsilon} = \frac{\kappa^2 \sigma^3}{2},\tag{3}$$

и— постоянная Кармана, равная 0,4, σ— среднеквадратичное клонение пульсаций скорости ветра, равное

$$\sigma = \frac{\overline{v}}{\ln \frac{z}{z_0}}. (4)$$



С целью изучения пространственных характеристик статистикого поля пульсаций скорости ветра были рассчитаны взаиме корреляционные функции пульсаций в двух точках, располонных по горизонтали перпендикулярно к направлению среднего ения, для расстояний между точками  $\Delta r$ , равных 20, 40, 60 80 м (рис. 2). Указанные функции можно рассматривать как рстранственно-временные функции случайного процесса пульсай скорости ветра. При  $\tau$ =0 будем иметь значения пространстного коэффициента корреляции для различных  $\Delta r$ . Затухание остранственной корреляционной функции происходит также по поненте. При расстоянии между точками  $\Delta r$ , равном 20 м, значие пространственной корреляции незначительно. В то же время того же масштаба возмущений в продольном направлении

коэффициент корреляции равен 0,3. Эксперименты показыва что масштабы пульсаций в продольном направлении больше, в поперечном, т. е. турбулентные вихри в приземном слое им вытянутую вдоль средней скорости форму.

По экспериментальным записям пульсаций продольной сост ляющей скорости ветра были рассчитаны функции спектраль

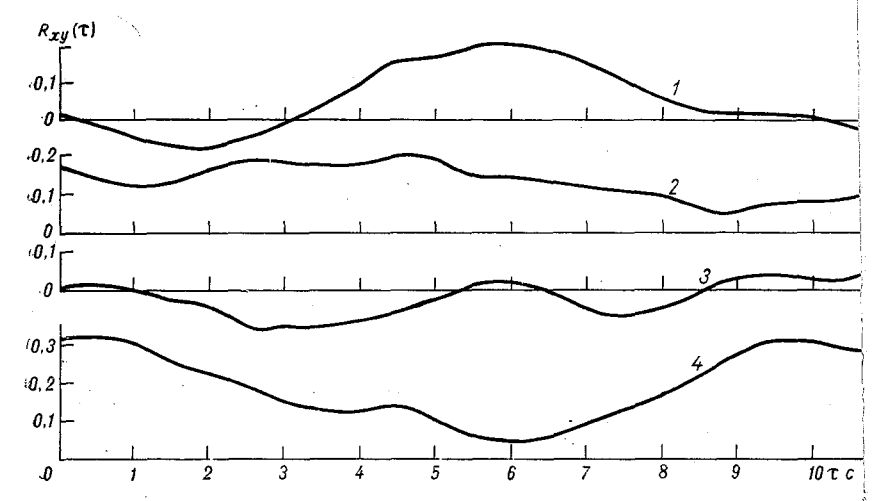


Рис. 2. Нормированные взаимные корреляционные функции для различ расстояний  $\Delta$  r 1 — для  $\Delta r$  = 20 м, 2 — для  $\Delta r$  = 40 м, 3 — для  $\Delta r$  = 60 м, 4 — для  $\Delta r$  = 80 м

плотности. Для всех точек пролета характер распределения эн

гии пульсаций по частотам одинаков (рис. 3).

Кривая спектра строилась в билоарифмических координат При таком изображении на участках, где  $S(\omega)$  пропорционалі степени  $\omega^{-5/3}$ , спектр изображается прямой, наклон которой оп деляет показатель степени. Кривая имеет два характерных уча ка. На частотах 0<ω<0,25 спектр пропорционален нулевой с пени частоты. Этот участок спектра образуют среднее течег и пульсации очень большого масштаба. При  $\omega > 0.25$  1/c спет может быть аппроксимирован выражением, пропорциональн  $\omega^{-5/3}$ , что, согласно теории изотропной турбулентности, соответ вует инерционному интервалу. Следовательно, можно считать, при v = 12.2 м/с и z = 10 м для круговых частот  $0.25 < \omega < 15.7$  т булентный поток воздуха изотропный и однородный.

При исследовании воздействия случайной ветровой нагруз на контактную подвеску важен вопрос соотношения характерн масштабов турбулентного потока и длин пролетов контактной се Для указанных выше значений средней скорости  $\overline{v}$  и частоты внешний масштаб турбулентности  $L_0$  (в м) равен

$$L_0 = \frac{2\pi \overline{v}}{\omega} = \frac{6.98 \cdot 12.2}{0.25} = 307 \text{ m.}$$

Масштаб  $L_0$  значительно больше расстояния до земли. Для услови нашего эксперимента  $L_0 \approx 30 z$ , где z— расстояние до подстиющей поверхности. Точно такое же соотношение получено Л. Зубковским [1] для высоты 4 м. Если воспользоваться отноением продольного и поперечного масштабов турбулентности,

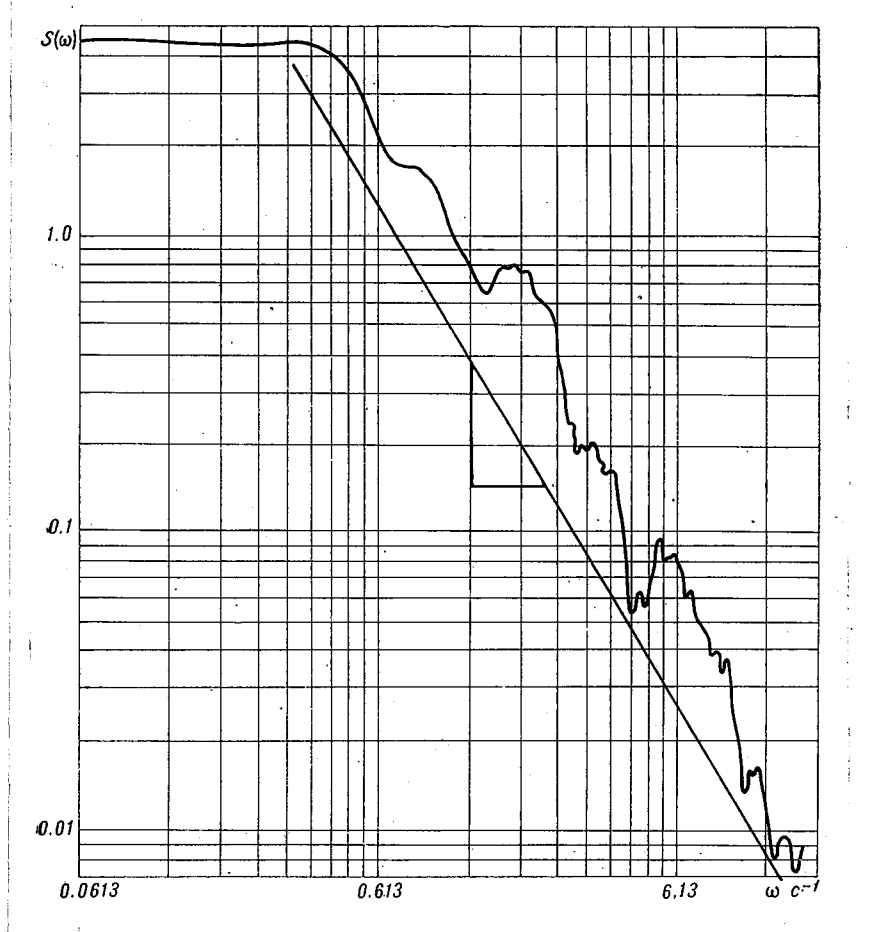


Рис. 3. Экспериментальная функция спектральной плотности пульсаций скорости ветра

авным  $2\pi$  [4], то получим для внешнего масштаба турбулентости в поперечном направлении, т. е. вдоль пролета контактной ети, величину равную, примерно, 50 м. Из этого следует, что проеты контактной сети находятся полностью в однородном и изоропном потоке воздуха.

Относительно границы инерционного интервала со стороны вязой подобласти можно лишь сказать, что она лежит на частотах,

больших чем 15.7 1/с, т. е. «закон—5/3» справедлив для маси бов пульсаций меньших, чем

$$L = \frac{6,28 \cdot 12,2}{15,7} = 5 \text{ M}.$$

Возмушения меньшего размера на провода контактной с существенного влияния не оказывают, так как они «отфильтро ваются» динамической системой.

Следовательно, при исследовании колебаний проводов в тур лентном воздушном потоке можно воспользоваться для аппрок мации спектральной функции пульсаций скорости ветра в сооте ствии с теорией изотропной турбулентности выражением

$$S(\omega) = c_1 (\bar{z} \bar{v})^{2/3} \omega^{-5/3},$$

где  $c_1$ — универсальная постоянная, равная по Колмогорову

$$c_1 = 1/4 \left( -\frac{4}{5S} \right)^{2/3} \approx 0.215 (-S)^{-2/3},$$

 $\overline{\varepsilon}$  — средняя скорость диссипации энергии, см²/с³, S — асимм рия распределения разности скоростей в близких точках,  $\overline{v}$  — среняя скорость потока, м/с.

Таблица 1

	Масштаб пульсаций, м								
Коэффициент	1,4	2,8	5,6	8,5	11,3				
асимметрии	0,59	0,33	0,41	0,37	0,33				
эксцесса	26	21,3	2,56	1,31	0,98				
корреляции (продольный)	0,93	0,88	0,76	0,66	0,58				

По результатам экспериментов были рассчитаны все входящ в (6) величины.

В табл. 1 приведены значения асимметрии для разности ск ростей ветра в двух точках, разнесенных по направлению сре него ветра на различные расстояния  $\Delta r$ . Результаты получег осреднением измерений в различных точках пролета, т. е. охват вают расстояние, равное 80 м по фронту турбулентного поток

Подсчитанное по этим данным среднее значение асимметри и его среднее квадратическое отклонение равно  $S_{\rm cp} = 0.401 \pm 0.0$  Подставив значение  $S_{\rm cp}$  в (2), можно найти универсальную п стоянную

$$c_1 = 1/4 \left( -\frac{4}{5.0 \cdot 401} \right)^{2/3} = 0.4.$$

В настоящее время наилучщей оценкой  $c_1$  является оценка  $-0.45 \div 0.50$ . Подобные значения  $c_1$  получены по измерениям мметрии в приземном слое атмосферы на высоте до 4 м [3]. я высоты 10 м над уровнем земли результаты измерения униросальной постоянной  $c_1$  приводятся, по-видимому, впервые. Слезательно, на высоте контактной подвески можно также считать ффициент  $c_1$  равным  $0.45 \div 0.50$ . Некоторое отличие приведено значения  $c_1$  объясняется большими расстояниями  $\Delta r$  при ределении асимметрии.

Для определения спектра пульсаций скорости в инерционном тервале (6) при известном значении  $c_1$  необходимо знать оредю диссипацию энергии  $\varepsilon$ . Ее значение может быть получено из авнения (6) для инерционного интервала осредненного спектра. ссчитанное по данным эксперимента значение  $\varepsilon$  равно  $-0.389 \text{ м}^2/\text{c}^3 = 3890 \text{ см}^2/\text{c}^3$ . Это значение хорошо совпадает с изстными [4].

Зная  $c_1$  и диссипацию  $\epsilon$ , можно найти ошибку аппроксимации пирического спектра в соответствии с теорией изотропной турлентности.

Известно, что площадь под кривой функции спектральной плотсти  $S(\omega)$  равна дисперсии. Рассчитанная по записи в одной из чек пролета дисперсия для нашего эксперимента равнялась  $12 \text{ см}^2/\text{c}^3$ . Подставив в (6) найденные значения средней скорости ссипации энергии  $\varepsilon$  универсальной постоянной  $c_1$  и проинтегривав его в границах инерционного интервала, получим

$$0.25 \cdot 4.4 + \int_{0.25}^{15.7} c_1(\bar{\epsilon} \, \bar{v})^{s/s} \, \omega^{-s/s} \, d \, \omega = 5.07.$$
 (8)

Следовательно, аппроксимация эмпирического спектра законом, ропорциональным  $\omega^{-5/3}$ , дает ошибку в 0,98%, что приемлемо для эхнических приложений.

Для более наглядного представления процесса распределения нергии пульсаций по частотам часто кривую функцию спектральой плотности строят в осях  $\omega S(\omega)$  и  $lg\omega$ . В таком виде спектр дает эможность наглядно оценить вклад различных частот в общий оток количества движения. Максимум энергии пульсаций прихочится на диапазон частот  $0.25 < \omega < 4.0$  с пиком на частоте =0.49 1/c (l=157 м). Эти частоты соответствуют низкочастотной бласти инерционного интервала. Подтверждается положение том, что низкочастотные пульсации несут основную часть энергии урбулентного потока. По измерениям С. Л. Зубковского [1], для ысоты 4 м при безразличной стратификации размер вихрей, неущих основную часть энергии, равен l=160 м.

Легко подсчитать долю энергии, приходящуюся на инерционый интервал спектра  $(0.25 \leqslant \omega \leqslant 15.7)$ . Это можно сделать как поривой спектра, построенной в осях  $\omega S(\omega)$  и  $lg\omega$ , так и интегриованием выражения (6) в пределах инерционного интервала. Оба

способа показывают, что на инерционный интервал приходит

78% энергии пульсаций скорости ветра.

Турбулентное движение характеризуется наличием беспорядс ных пульсаций поля скорости. Для описания свойств случайно поля необходимо задание распределения вероятностей для знач ний скорости в различных точках пространства — времени. Одн ко определение распределения вероятностей по эмпирическим да ным является задачей трудоемкой и обычно ограничивается и следованием простейших характеристик, из которых самыми важ ными являются моменты. Для случайного поля, подчиняющего нормальному закону распределения, можно ограничиться тольк двумя первыми моментами. Поэтому эта модель атмосферной ту булентности особенно предпочтительна, и она принята больши ством авторов. Имеется и экспериментальное подтверждение этс модели, выполненное в аэродинамической трубе Стюартом и Гу вичем на высоте 1,8 м в атмосфере. Из этих работ следует, чт распределение вероятностей пульсаций скорости турбулентной потока, между которыми слаба корреляция, в фиксированной то ке близко к нормальному.

Аналогично опытам Стюарта и Гурвича были рассчитаны ко эффициенты асимметрии (S) и эксцесса (E) для разности ско ростей ветра в двух точках, разнесенных вдоль среднего потока и расстояние  $\Delta r$  (см. табл. 1). С увеличением  $\Delta r$  и соответственнуменьшением коэффициента корреляции коэффициенты асимметрии и эксцесса эмпирического распределения уменьшаются.

Более подробный анализ был сделан для мгновенных значени пульсаций в одной из точек пролета. Эмпирическое распределени мгновенных значений пульсаций скорости ветра выравнивалос с помощью нормального, логарифмически нормального распределений и распределения Релея. Степень случайного расхождени оценивалась по критериям согласия Пирсона  $[(P(\chi^2))]$ и Колмого рова  $[1-K(\lambda)]$ . Исследовались пульсации различного масштаба о 1 до 12 м. Эти масштабы относятся к крайней правой части инер ционного интервала, прилегающего к интервалу диссипации.

Из спектра пульсаций следует, что на масштабы  $1 \div 12$  м  $(6,4<\omega<15,7)$  приходится примерно 5% энергии. Основная часті энергии сосредоточена на частотах  $0,25<\omega<4,0$  (307 м< l<25 м) Поэтому было исследовано влияние на характер распределения масштаба пульсаций при его изменении от 1 до 12 м и экстраполи рована эта зависимость на большие масштабы. Кроме того, была проанализирована зависимость критерия согласия от объема ряда.

Полученные статистические характеристики (табл. 2) свиде тельствуют, что для нормального закона распределения с увеличением масштаба пульсаций расхождение между теоретическим и эмпирическим рядами уменьшается. Два других исследуемых теоретических распределения были отвергнуты, так как большие значения  $\chi^2$  при соответствующих степенях свободы означают, что наблюденные данные противоречат заданным моделям.

Інтересна зависимость значения  $\chi^2$  от объема статистического а пульсаций скорости ветра. Мера расхождения  $\chi^2$  вычисляется вормуле

$$\chi^2 = \sum_{i=1}^k \frac{(m_i - np_i)^2}{np_i},\tag{9}$$

 $m_i$  — число значений в i-том интервале, n — число элементов а,  $p_i$  — вероятность попадания в i-тый интервал, k — числорвалов.

Таблица 2

- 5 са- м	Объем выбор- ки	Статистический показатель										
		$\bar{x}\pm\sigma_{x}$	σ <u>+</u> σ <sub>σ</sub>	S±σ <sub>S</sub>	E±o <sub>E</sub>	Ρ(χ²)	Число степе- нейсво- боды	1-Κ(λ).				
5	1100	12,2±0,18	3,20±0,13	0,11 <u>+</u> 0,07	_0,37±0,15	0	16	0				
ļ	550	12,2±0,25	3,15±0,18	0,12 <u>+</u> 0,11	$-0,36 \pm 0,21$	0,01	13	0,002:				
3	275	$12,2\pm0,35$	3,10±0,25	<b>0,17±</b> 0,15	$-0,38\pm0,30$	0,20	13	0,14				
2	183	$12,2\pm0,42$	$3,00 \pm 0,35$	0,19 <u>±</u> 0,18	$-0,33\pm0,36$	0,35	11	0,11				
3	137	12,2±0,46	2,90±0,42	$0,23 \pm 0,21$	$-0.33\pm0,42$	0,60	11	0,864				
į	110	$12,2\pm0,51$	2,80 <u>+</u> 0,46	0,29±0,23	$-0,32\pm0,47$	0,62	10	0,985,				
}			l	Į.	Į į		l	ļ				

Значение  $\chi^2$  зависит только от числа степеней свободы k. Общее ло элементов ряда n на распределение  $\chi^2$  не должно влиять. итается, что с ростом числа наблюдений n пропорционально  $\sqrt{n}$ личивается разность в числителе уравнения (9) и  $\chi^2$  остается ізменным. Это справедливо для наблюденных рядов распределея максимально приближающихся к нормальному при увеличеи п. Статистический ряд микропульсаций скорости ветра протиречит этому условию. В самой его структуре заложено противоне с центральной предельной теоремой о независимости и лийной связанности факторов, образующих ряд. Поэтому по достинии некоторого уровня дальнейшее сглаживание наблюденного да мелкомасшта $\tilde{\mathsf{o}}$ ных пульсаций с ростом n не происходит и знание  $P(\gamma^2)$  с увеличением объема выборки уменьшается. Для льсаций масштаба l = 1,2 м была рассчитана мера расхождения при объемах выборки, равных 1 100 и 110 элементам. Значения  $\chi^2$ ) получились равными соответственно 0,0011 и 0,0076. В то же емя для масштаба 12 м при n=110 и том же количестве интерлов значение  $P(\chi^2)$  равно 0,62. Зависимость от n распределения льсаций большого масштаба несущественна.

Следовательно, исследование распределения вероятностей пульций различного масштаба показало, что гипотеза выравнивания пирического ряда пульсаций нормальным законом может быть инята для масштабов более 10 м с большой вероятностью.

Итак, экспериментальное исследование характера ветровой грузки, действующей на провода контактной сети, позволяет лать следующие выводы.

1. Ветровая нагрузка должна рассматриваться как прострав

венно-временной случайный процесс.

2. Значение универсальной постоянной  $c_1$  на высоте 10 м мох быть принято равным  $0.45 \div 0.50$ , т. е. величине, определен для высоты до 4 м.

- 3. Для аппроксимации корреляционной функции и спектра ной плотности пульсаций скорости ветра могут быть использова уравнения теории изотропной турбулентности, т. е. указанная т рия подтверждается и на высоте 10 м над подстилающей пове ностью.
- 4. Пульсации скорости ветра масштабом более 10 м подчи ются нормальному закону распределения.

### ЛИТЕРАТУРА

1. Зубковский С. Л. Частотные спектры пульсаций горизонтальной ком ненты скорости ветра в приземном слое воздуха.—«Изв. АН СССР. О геофиз.», 1962, № 10, с. 1425—1433. 2. Иванов В. И. Диссипация турбулентной энергии в атмосфере.—«У

АН СССР, сер. геофиз.», 1962, № 9, с. 1261—1268.

3. Монин А. С., Яглом А. М. Статистическая гидромеханика. Ч. 2. М., «К

ука», 1967. 4. Шурыгин В. П. Статистический метод расчета конструкций контакт сети на действие случайных ветровых нагрузок.—«Труды ЦНИИС», 19 вып. 38, с. 4-16.

# ИМАТОЛОГИЧЕСКАЯ ОЦЕНКА ТОЧНОСТИ ИЗМЕРЕНИЯ БОЛЬШИХ СКОРОСТЕЙ ВЕТРА

В течение многих лет на метеорологических станциях (ГМС) ветского Союза скорость ветра определялась по флюгеру Виль-

Этот прибор технически прост, удобен в эксплуатации и позвот определять скорость ветра с точностью, удовлетворяющей эгих потребителей. Результаты наблюдений, проведенных с поцью этого прибора, использованы для многочисленных метеоогических исследований и климатологических обобщений. Одназа последние годы требования к точности наблюдений над скотью ветра значительно повысились и при решении ряда ктических вопросов точность определения скорости помощью флюгера Вильда оказывается уже недостаточной. Одним из таких вопросов, чрезвычайно важных для строителей. іяется расчет ветровых нагрузок на сооружения. Действительно, ровая нагрузка пропорциональна квадрату скорости ветра, іля ее определения используются большие, редко наблюдаемые ісчетные) скорости и максимальные порывы ветра. Следоваьно, для этой цели требуется возможно более точное определескоростей сильных ветров, осредненных по определенному инвалу времени, а также порывов при больших скоростях ветра. Именно для определения больших скоростей ветра, в дополнек флюгеру с легкой доской, на ГМС СССР в 30-х годах были тавлены флюгеры с тяжелой доской. С этой же целью и в связи втоматизацией наблюдений на ГМС за последние 10—15 лет дан ряд дистанционных и автоматических ветроизмерительных иборов (М-12, М-27, М-48, М-63, АРМЭ и др.).

Несмотря на то, что некоторые типы этих приборов изготовлены большими опытными партиями, они работали на ГМС, а отъные сохранившиеся экземпляры их используются и в настоя-

е время.

Прибор М-63 был подвергнут модернизации и в настоящее время ряду с М-12 является основным сетевым прибором. Он устанаввается на ГМС взамен флюгеров. Поэтому оценка точности приборов, как и флюгера, представляет практический инрес.

В период внедрения приборов М-63 и М-12 выполнен ряд спеальных исследований с целью определения их точности. Многи-

ми ГМС проводились одновременные измерения ветра по этим і борам и по флюгеру. Полученные материалы были обработ С. А. Смирновым [8, 9], который пришел к выводу, что сред сезонные характеристики ветра, полученные в результате обраки наблюдений, проведенных указанными приборами и по ф геру, не отличаются друг от друга.

Однако в работах [8, 9] рассматривались средние климато гические характеристики ветрового режима, величина котор в основном, определяется часто наблюдаемыми, но сравнител небольшими скоростями ветра. В [1—3, 5] показано, что вс приборами скорости ветра до 12—13 м/с измеряются, пример с одинаковой точностью и поэтому полученные по ним климато гические средние не должны существенно отличаться друг от др

В этих же работах [1—3, 5] обращалось внимание на то, при сильных ветрах скорости ветра, измеренные по флюгеру, правило, больше скоростей, измеренных другими приборами. подтверждается, правда, весьма ограниченными данными, при денными и в работе [8]. Например, за весь период сравнитель наблюдений, проведенных на островной ст. Вильсанди (Эстони скорости более 15 м/с анемографом М-12 отмечены 30 раз, а флюгеру —46, на ст. Ристна 0 и 14 раз соответственно.

Следовательно, климатические характеристики сильных ветр полученные по наблюдениям разными приборами, отличаю

друг от друга довольно существенно.

Если в рассматриваемом пункте скорости ветра более 15 наблюдаются часто, то и средние скорости ветра, полученные р личными способами за месяцы преобладания сильных ветр также будут отличаться друг от друга. С учетом этих обст тельств в данной статье более тщательно проанализированы д

ные сравнительных наблюдений при сильных ветрах.

По материалам наблюдений, проводившихся параллельно р ными приборами в нескольких ГМО УГМС, авторами были числены повторяемости различных отклонений между скоростя ветра, измеренными по флюгеру и другими приборами для с чаев, когда скорости ветра по флюгеру были более 14 и 16 в В качестве примера на рис. 1 приводятся кривые распределенатих повторяемостей, рассчитанные по наблюдениям эстонсі станций: Ристна, Тарту, Хельтермая, Вяйке-Маарья, Тийрик На этих станциях при скорости ветра от 14 до 28 м/с было про дено 375 наблюдений, при скорости от 16 до 28 м/с — 131 набление.

Если в первом интервале скоростей максимальная повтор мость оказалась при отклонениях  $\Delta v = 1$  м/с, то при втором г  $\Delta v = 2$  м/с и ее среднее значение несколько больше 2 м/с.

По наблюдениям в Кихну максимум повторяемости при и других скоростях пришелся так же на  $\Delta v = 2$  м/с, в Вильсанди на  $\Delta v = 1$  м/с. Во всех пунктах Эстонии отмечены случаи, ко при сильном ветре скорость ветра по флюгеру превосходила с рость ветра по M-12 на 8-9 м/с, в Вильсанди даже на 10 м/с

По материалам Алма-Атинской ГМО, обработанным ст. техним Н. П. Пустоваловой, представленным директором Е. Г. Палаюк, среднее отклонение скоростей ветра по флюгеру от скороей ветра по М-12 (рассчитанных по 464 случаям при v > 15 м/с) ставляет 2,2 м/с, а при скоростях ветра по флюгеру, равных м/с, на ст. Жангиз-Тобе прибор М-12 отмечал скорости на 10—м/с меньше, чем по флюгеру.

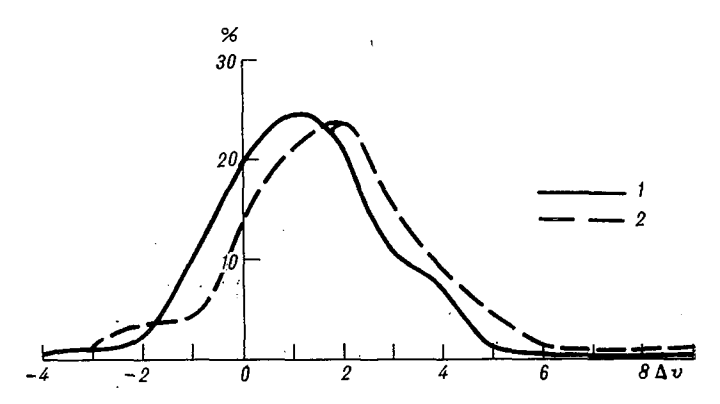


Рис. 1. Повторяемость различных отклонений между скоростями ветра, измеренными M-12 и по флюгеру. I — при скоростях более 14 м/с. 2 — при скоростях более 16 м/с.

Большой интерес представляют данные сравнительных наблюений по M-12 и по флюгеру, представленные начальником отдеа климата Ростовской ГМС Т. Е. Иванченко. По ее данным, макимальная скорость ветра за сутки по флюгеру, например в Ростое-на-Дону, в 1,5 раза больше, чем по M-12, на горе Ачишхо средее отношение этих скоростей составляет 2,2. Повторяемость преышений скорости ветра по флюгеру по сравнению со скоростями етра по M-12 в Ростове составляет 96%. Эти повторяемости меньте только на станциях, где выбранные скорости ветра незначиельно превышали 15 м/с.

Белорусским территориальным гидрометеорологическим центом (БТГМЦ) сравнительные наблюдения проводились по флюеру, М-12, М-63 и УАТГМС. Обобщение данных, произведенное В. Волобуевой, выполнено для скоростей ветра v > 10 м/с. Выод оказался такой же, как и по материалам других наблюдений. Сли при скоростях, не превосходящих 12—13 м/с, результаты налюдений всех приборов совпадают, то при скорости более 13 м/с, корости полученные по флюгеру, как правило, превосходят скоости ветра по другим приборам.

Представляют интерес данные БТГМЦ о числе сильных ветров более 15 м/с), рассчитанные по пятилетним периодам (табл. 1).

На других станциях Белоруссии, где наблюдения над ветром елись одним и тем же прибором, такого различия в числе силь-

ных ветров по пятилетиям не обнаружено. Следовательно, разичия в характеристике сильных ветров (табл. I) объясняются ричиями в методах наблюдений. Почти во всех случаях скорос измеряемые УАТГМС и М-12, при сильных ветрах также окались меньше, чем по флюгеру.

На основании вышеприведенных данных, а также опублиг ванных другими авторами [1—3, 5, 10], можно заключить, что п сильных ветрах по флюгеру отмечались скорости ветра больша чем приборами М-12, М-63, УАТГМС, контактным анемометр НИИГМП и анемометром Фусса. Поскольку каждый из этих пр

Таблица Среднее за год число дней со скоростью ветра более 15 м/с

Период	Прибор	Витебск	Лида	Гродно	Могилев	Пинск
1961—1965 1966—19 <b>70</b>	Флюгер М-63	7	<b>4</b> 0	<b>5</b> 2	4	5 2

боров имеет свои погрешности, то неясно, какой прибор дает ск рости, наиболее близкие к истинным. Обычно утверждает [1—3, 5], что по флюгеру скорости ветра при сильных ветрах з вышены в силу того, что наблюдатель отмечает средние из макс мальных порывов ветра, а не среднюю скорость за 2 мин. Пр ведем результаты сравнения наблюдений по флюгеру с наблюд ниями по М-12 и М-27, который принято считать [10—12] безыне ционным. Такие наблюдения проводились через каждые три час зимой 1968 г. на Мархотском перевале (представлены климатол гом Ростовской ГМО Ф. П. Царевой). По наблюдениям с помощь М-12 были получены скорости, осредненные за 10-минутные и тервалы времени. По прибору М-27 фиксировались минимальны и максимальные значения скорости за 6 и 10 мин. Средняя ск рость ветра определена как полусумма экстремумов.

При сравнении данных наблюдений по флюгеру с данным наблюдений по M-12 здесь в 70% случаев первые скорости был выше вторых. В отдельных случаях превышение достигало 12 м/

Сравнение со скоростями, определенными по М-27, дало служищие результаты.

В 16 случаях из 35 скорость по М-27 была выше, чем по флюгору, в 9 случаях они были одинаковыми и в 9— меньше, чем п флюгеру.

Максимальная скорость ветра за сутки, определяемая в течение 20 суток по тому и другому прибору, оказалась по флюгер в 10 случаях меньше, чем по M-27 и в двух других случаях максимумы совпали.

На основании этих данных легко прийти к прямо противопо ложному выводу, что флюгер не завышает большие скорости ветра

сравнению с действительными скоростями, а возможно, даже их нижает.

Занижение больших скоростей ветра при измерении их прибоми с вращающимися приемниками подтверждается тщательным ализом принципов действия этих приборов, который выполнен торами работ [7, 10—12].

В обычных анемометрах всегда присутствует сила трения, вечина которой зависит от режима работы анемометра. При измении скорости ламинарного потока сила трения не влияет на зультат, так как она учитывается при градуировке прибора.

При измерении скорости возмущенного потока, каким являетреальный ветер, происходит занижение действительной скости вследствии того, что возрастает интенсивность торможения. Таким образом, всем приборам с вращающимися ветроприемками свойственно занижение больших скоростей порывистого тра.

В работах [10, 12] приведен экспериментальный материал, дтверждающий этот вывод. Поэтому на основании сравнения нных наблюдений по прирам М-12, М-63, УАТГМС нельзя утверждать, что флюгер завы-

ает большие скорости ветра.

Величина случайных ошибок, связанных с особенностями конрукции флюгера, достаточно хорошо известна. Штифты, на корые ориентируется наблюдатель при определении скорости вета, расположены на флюгере так, что с увеличением скорости точость отсчета уменьшается. Если при малых скоростях ошибка определении скорости составляет менее 1 м/с, то при больших эжет превосходить ±3 м/с. Возможно, на некоторых ГМС вносидсь систематическая ошибка, приводящая к завышению больших соростей ветра, если наблюдатель определял их по отдельным выросам доски флюгера, происходящим под действием порывов этра.

Однако даже при строгом выполнении правил наставления [6] ри визуальных наблюдениях по флюгеру вносится некоторая сигематическая погрещность, приводящая к завышению скоростей этра по сравнению с действительной осредненной скоростью возушного потока. Эта погрешность обусловлена тем, что при опреслении скоростей ветра по флюгеру делается допущение, что шкаа скоростей флюгера линейна. На самом же деле, как видно из ис. 2, она отличается от линейной.

Нелинейность шкалы флюгера была учтена при обработке даных электрического датчика, передающего отклонения доски флюера [11], но этим пренебрегают при визуальных отсчетах по люгеру.

На рис. 2, согласно [4, 13], показаны кривые отклонения егкой и тяжелой досок флюгера при различных скоростях вета. На одной из осей ординат указаны номера штифтов, на друой — углы отклонения доски флюгера. По кривым рис. 2 видно, то шкалу флюгера можно считать прямолинейной только между

штифтами 1—5, где справедлива линейная интерполяция скорост ветра. На остальном же участке кривых при определении скорос ветра путем линейной интерполяции допускаются ошибки.

Величина этих ошибок при различных скоростях ветра мож быть определена по табл. 2, в которой указаны градации скорос для каждого штифта, для положения доски флюгера между шти тами и соответствующие скорости, снятые с графиков рис. 2 ( криволинейной шкале).

В графе «отсчет» приводятся скорости, которые записыва наблюдатель.

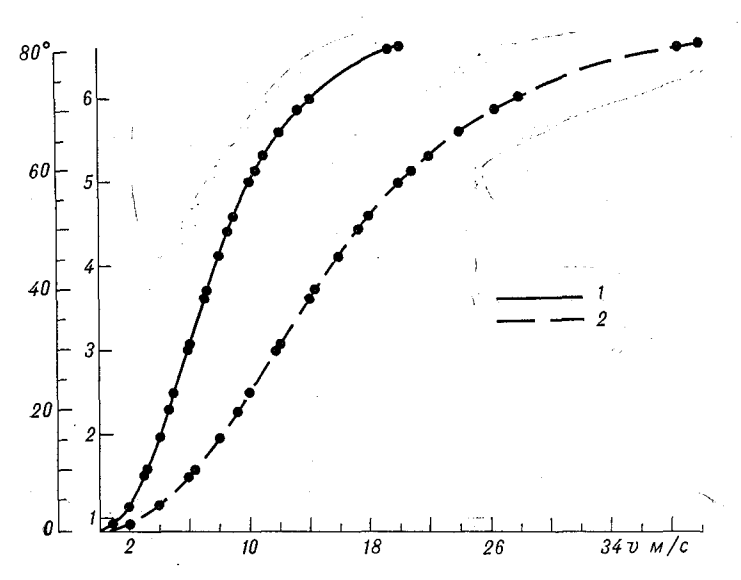


Рис. 2. Зависимость угла наклона доски флюгера от скорости ветра:

1 — флюгер с легкой доской, 2— флюгер с тяжелой доской.

Из таблицы видно, что при принятом способе отсчета по флюгеру с легкой доской ошибка за счет нелинейности шкалы при скорости 17 м/с достигает 1 м/с. При наблюдениях по флюгеру с тяжелой доской при скоростях более 28 м/с скорость ветра завы шается на 2-3 м/с.

По сравнительным наблюдениям, выполненным в ряде УГМС авторами рассчитаны средние скорости ветра, определяемые с по мощью М-12 и М-63 при заданных скоростях ветра, отсчитанных по флюгеру.

В табл. 3 приводятся эти данные, а также средние скорости ветра, полученные с помощью разных приборов другими авторами. при сравнении их с теми же скоростями ветра по флюгеру. В этой таблице через v обозначены скорости ветра по флюгеру,  $v_{\rm M}$  — те же скорости, но исправленные на нелинейность шкалы, Ак означает наблюдателем

17 X	Флюгер с	легкой доск	ой	Флюгер с тяжелой доской				
<b>Ц</b> тифт	градация	$\overline{v}$	отсчет	градация	$\overline{v}$	отсчет		
0	0-1	0,5	0	0-2	1,0	0		
0-1	1-1,8	1,4	1	2-3,5	2,7	2		
1	1,8-2,6	2,2	2	3,5—5,3	4,4	4		
1-2	2,6-3,6	3,1	3	5,3—7,2	6,2	6		
2	3,6—4,6	4,1	4	7,2—9,0	8,1	8		
2-3	4,6-5,5	5,0	5	9,0—11,1	10,0	10		
3	5,5-6,5	6,0	6	11,1—13,1	12,1	12		
3-4	6,5—7,5	7,0	7	13,1—15,0	14,0	14		
4	7,5—8,4	8,0	8	15,0—16,8	15,9	16		
4—5	8,4-9,4	8,9	9	16,8—18,8	17,8	18		
5	9,4-10,8	10,0	10	18,8—21,6	20,0	20		
56	10,8—12,7	11,7	12	21,6—25,4	23,5	24		
6	12,7—14,9	13,6	14	25,4-29,7	27,2	28		
6-7	14,9—17,5	15,9	17	29,7—34,6	31,4	34		

емометр контрактный конструкции НИИГМП,  $A_{\Phi}$  — анемометр усса (ручной). Индексы «2» и «10» означают соответствующие пеоды (2 и 10 мин.), за которые осреднялись скорости ветра. При блюдениях по  $APMЭ_2$  и  $M-63_2$  осреднение за 2 мин. произведено датчику мгновенной скорости.

Скорости по М-27, приведенные в последнем столбце табл. 3, лучены по материалам сравнительных наблюдений на Мархотом перевале. При этих наблюдениях не были зафиксированы орости, осредненные по интервалу времени, а отмечались лишь максимумы и минимумы за 6 и 10 мин. Поэтому средние скости в последнем столбце определены как полусумма экстремурв за указанные интервалы времени.

Для того чтобы исключить влияние гололеда на показания приров, табл. З в основном составлена по материалам наблюдений теплое время года. При каждой скорости ветра по флюгеру толбец 1) было использовано число сравнительных наблюдений прибору М-12: при скоростях до 24 м/с— не менее 100, при коростях более 24 м/с— не менее 30; по прибору М-63 каждая редняя скорость до 12 м/с определялась из 50 измерений, при 4—16 м/с— из 25 и при 18—20 м/с— из 10 измерений.

В результате анализа данных, приведенных в табл. 3, можно делать следующие выводы.

1. Средние скорости ветра, полученные по числу оборотов ветоприемника, т. е. приборами М-12, М-63<sub>10</sub>,  $A_{\kappa}$ ,  $A_{\tilde{\phi}}$ , близки меж-

Сред ние скорости ветра, определенные по параллельным наблюдениям с помощью флюгера и других приборов

Флюгер		По Га	рцману	По Икон- никовой	По Керимову и Исраимову		По Торочкову и Суражскому		<b>УГМ С</b>			
ับ	$v_{_{ m H}}$	M-12	АРМЭ	AK	A <sub>K</sub>	Аф	M-27	M-12	M-12	M-63 <sub>10</sub>	M-63 <sub>2</sub>	
0	0,5					_				0,8	0,6	Ī
1	1,4	1,12	1,0	1,0		_				1,4	1,6	
2	2,2		1,9	2,0		_	•			2,2	2,5	
3	3,1	_	2,8	3,0		<b> </b>				2,9	3,4	
4	4,1		3,8	3,9	_	_	Ì			3,7	4,4	li
5	5,0	5,0	4,8	4,9	-		4,2	5,2		4,5	5,0	
6	6,0	_	5,7	5,8	6,0	5,5				5,9	6,2	
7	7,0	6,9	6,7	6,8	-	-	Į			6,4	7,0	
8	8,0	_	7,6	7,7	7,5	7,0				7,7	7,9	
9	8,9	_	8,6	8,7	_	_				8,4	9,1	
10	10,0		9,5	9,7	9,0	8,5	10,5	10,0		9,5	9,6	
12	12,1		11,4	11,2	11,6	10,2	12,7	11,6		10,7	11,3	1:
14	14,0	12,2	13,3	12,6	12,0	12,0	14,7	13,4	12,9	13,0	13,4	1
16	15,9	13,5	15,2	14,2	13,8	14,0	16,8	14,9	14,3	14,3	15,7	1
18	17,8	15,0		15,8	15,0	15,8	18,7	16,4	16,3	16,1	17,7	18
20	20,0	16,3		17,5	16,0	17,0	20,4	17,6	17,9	16,7	19,9	20
24	23,5	18,9		20,0	18,5		23,5	19,9	20,1		ı	23
28	27,2	21,1		22,7	21,0	-	27,4	22,9	23,3			26
34	31,4	24,1		26,0	22,5		32,1	26.7	26,0			31
	, ,			1	,	1	i	Ĭ	j	i	,	1

ду собой и при скоростях, не превосходящих 12 м/с, практичеся совпадают со скоростями, определенными с помощью флюгера.

При больших скоростях расхождения в показаниях этих пр боров незначительны, однако средние скорости, вычисленные п показаниям этих приборов, меньше средних скоростей, полученых по флюгеру. С увеличением скорости это расхождение возрастает.

2. Средние скорости, вычисленные из показаний приборс APMЭ, M-63<sub>2</sub> и M-27, также близки друг к другу. Вместе с те они меньше отличаются от показаний флюгера. Исправленные и нелинейность шкалы средние скорости по флюгеру хорошо согла суются со средними скоростями по показаниям этих приборов.

3. Скорости ветра, полученные по флюгеру, M-27, APM и M-63<sub>2</sub>, существенно выше скоростей, полученных по M-12, M-63<sub>1</sub>,  $A_{\kappa}$  и  $A_{\phi}$ . Разница между ними возрастает с увеличением скорост ветра. При скоростях 30—35 м/с она достигает 5—6 м/с.

Проведенные исследования приводят к заключению, что при пределении редко наблюдаемых больших скоростей ветра (назыаемых расчетными), по которым рассчитываются ветровые нарузки, необходимо принимать во внимание методы измерения ольших скоростей. Если в рассматриваемый период наблюдения роводились разными приборами, то следует выполнить приведеие результатов измерений к одному и тому же прибору путем ввеения соответствующих поправок. Поправки на результаты измеений по приборам с вращающимися приемниками положительны по величине больше, чем отрипательные поправки к данным, поученным по флюгеру.

При наличии дифференциальных повторяемостей скоростей вета, измеренных по флюгеру, эти поправки могут быть введены прп остроении интегральных кривых путем уточнения градаций ско-

остей, для которых рассчитаны повторяемости.

В районах с очень сильными ветрами расчетные скорости вета, возможные раз в 5 лет, снятые с исправленных интегральных ривых, несколько понизятся по сравнению с расчетными скоротями, указанными в справочнике по климату СССР.

#### ЛИТЕРАТУРА

Гарцман Л. Б. Исследование ветровых нагрузок на линии электропередач. Ташкент, Изд-во «ФАН», 1967. 158 с.

. Гоптарев Н. П. Некоторые результаты градиентных исследований в районе нефтяных камней.—«Труды ГОИН», 1957, вып. 36, с. 128—202.

. Иконникова Л. Н. К вопросам об измерении скорости ветра флюгером.—

«Метеорология и гидрология», 1960, № 4, с. 48—50. . Кедроливанский В. Н., Стернзат М. С. Метеорологические приборы.

Л., Гидрометеоиздат, 1953. 544 с.

 Керимов А. А., Исраимов А. А. Сравнение результатов измерений скорости ветра, осуществленных различными приборами.—«Метеорология и гидрология», 1970, № 11, с. 102—104.

 Наставление гидрометеорологическим станциям и постам, Вып. 3. ч. 1. Л... Гидрометеоиздат, 1969. 306 с. 7. Протопопов Н. Г. Некоторые вопросы теории и расчета винтовых ветро-

- чувствительных элементов.—«Труды ГГО», 1966, вып. 199, с. 3—31.
- 3. С м и р н о в С. А. Сравнительные характеристики скорости ветра, определенные приборами с различными интервалами осреднения.—«Труды ГГО», 1965, вып. 174, с. 135—148.

9. Смирнов С. А. Некоторые результаты сравнительных наблюдений по анеморумбометру М-63 и флюгеру.—«Труды ГГО», 1965, вып. 214, с. 31—33.

- 10. Торочков В. Ю., Суражский Д. Я., Сыйко А. А. Частотный анализ работы приемников ветроизмерительных приборов. М., Гидрометеоиздат,
- 11. Торочков В. Ю., Суражский Д. Я. Об измерении средней скорости ветра.—«Труды НИИГМП», 1967, вып. 17, с. 15—32. 12. Торочков В. Д., Суражский Д. Я. Ветроизмерительные приборы. Л.,
- Гидрометеоиздат, 1970, 103 с.
- 13. Kleinschmidt E. Handbuch der meteorologischen Instrumente und ihrer Auswertung. Verlag von Julius Springer. 1935, 733 S.

## СОДЕРЖАНИЕ

М. В. Заварина. Оценка методов расчета гололедных и гололедно-	- [
ветровых нагрузок и перспективы их совершенствования	ŀ
Е. П. Никифоров. Влияние конструкции воздушных линий электро-	ŀ
передачи на интенсивность гололедных отложений	1
Ф. Я. Клинов, В. П. Бойков. О гололедно-изморозевых отложениях	
в нижнем 500-метровом слое атмосферы по наблюдениям с телевизионной	ا
башни в Останкино	2
В. Г. Глухов. К расчету гололедных нагрузок на высотные сооруже-	أم
ния по аэроклиматическим характеристикам низкой облачности	3
Л. Г. Гончар, Н. М. Ланда, Д. В. Холмский. К расчету норма-	
тивной скорости ветра при гололеде	3
О. А. Подрезов, С. А. Федорова. Опыт использования системы	أد
кривых Пирсона для оценки вероятных величин гололедных отложений	4
Л. Е. Ломилина. Учет влияния рельефа местности при районирова-	-
нии территории по гололедным нагрузкам	5
при определении гололедно-ветровых нагрузок на воздушные линии электро-	
	6
м. В. Заварина, В. Г. Глухов. О приведении данных гололед-	U
ного станка к рабочим уровням линий электропередачи	6
В. В. Холодов, И. М. Гуляев, Ф. С. Ромазан. Первый год ра-	Ŭ
боты высокогорной испытательной станции ЛЭП на перевале Орто-Ашу.	7
А. Н. Раевский, В. П. Капралова. Распределение особо опас-	
ных отложений атмосферного льда и гололедные нагрузки в Украинских	
	8:
В. Г. Глухов, М. А. Войтик. Некоторые результаты эксперимен-	
тальных исследований обледенения проводов на Новопятигорской гололед-	
ной станции	90
Л. А. Савченко. Некоторые закономерности формирования голо-	
ледных нагрузок на провода ЛЭП и ЛС в горных районах	98
Н. А. Олейникова. Плотность гололедно-изморозевых отложений	
на территории Украины	103
А. П. Чучев. Экспериментальное исследование пульсаций горизон-	
тальной составляющей скорости ветра в приземном слое воздуха	112
Р. П. Бернгардт, М. В. Заварина. Климатологическая оценка	4.0
точности измерения больших скоростей ветра	12

#### ТРУДЫ ГГО, вып. 333

# Метеорологические нагрузки на сооружения

Редактор Л. В. Ковель Технический редактор М. С. Костакова Корректоры: Г. Н. Римант, А. В. Хюркес.

Сдано в набор 26/Х 1973 г. Подписано к печати 12/VIII 1974 г. М-06411.Формат 60×90<sup>1</sup>/<sub>16</sub>, бумага тип. № 1. Печ. л. 8,5. Уч.-изд. л. 9,19. Тираж 1000 экз. Индекс МЛ-94. Заказ № 77. Цена 64 коп. Гидрометеоиздат. 199053. Ленинград, 2-я линия, д. 23.

Сортавальская книжная типография Управления по делам издательств, полиграфии и книжной торговли Совета Министров Карельской АССР. Сортавала, Карельская, 42.